

ระดับโครงการ



รายงานโครงการวิจัย

ชื่อเรื่องภาษาไทย: การพัฒนาเทคนิค Multiplex Real-time PCR สำหรับตรวจคัดกรองและจำแนกยีนพืชดัดแปลงพันธุกรรมเชิงคุณภาพในพืชนำเข้า (ข้าว ข้าวสาลี ถั่วเหลือง และ ข้าวโพด)

ชื่อเรื่องภาษาอังกฤษ: The development of Multiplex Real-time PCR techniques for qualitative and identification screening of GM crops in imported crops (Rice, Wheat, Soybeans and, Maize)

หัวหน้าโครงการวิจัย

นางปิยรัตน์ ธรรมกิจวัฒน์
Ms. Piyarat Thammakijjawat

ปี 2564

คำ prerrogative

กลุ่มวิจัยพัฒนาการตรวจสอบพีชและจุลินทรีย์ดัดแปลงพันธุกรรม สำนักวิจัยพัฒนาเทคโนโลยีชีวภาพ กรมวิชาการเกษตร เป็นหน่วยงานที่มีภารกิจหลักด้านการศึกษา ค้นคว้า วิจัยและพัฒนา ระบบการตรวจสอบ จำแนกพิสูจน์พีช และจุลินทรีย์ดัดแปลงพันธุกรรม เพื่อควบคุมการระบาดและเฝ้าระวังพีชและจุลินทรีย์ดัดแปลง พันธุกรรม ตามพระราชบัญญัติกักษ์พีช ดังนั้นคณะผู้วิจัยจึงได้มีการพัฒนาเทคนิค Multiplex real-time PCR ในการตรวจคัดกรองและจำแนกยืนพีชดัดแปลงพันธุกรรม 4 ชนิด ได้แก่ ข้าว ข้าวสาลี ถั่วเหลือง และข้าวโพด ให้สามารถตรวจจำแนกยืนดัดแปลงพันธุกรรมได้อย่างมีประสิทธิภาพ มีความรวดเร็ว แม่นยำ ประหยัดเวลา และงบประมาณ

โดยจะมีการขยายผลเพื่อของการรับรองวิธีการทดสอบ ขั้นตอนการปฏิบัติงานตามระบบคุณภาพ และนำไปใช้เป็นวิธีตรวจวิเคราะห์ตัวอย่างในห้องปฏิบัติการตรวจวิเคราะห์พีชและสินค้าพีชดัดแปลงพันธุกรรม กรมวิชาการเกษตร ตามมาตรฐาน ISO/IEC 17025: 2017 เพื่อแก้ปัญหาและรองรับการตรวจวิเคราะห์พีช ดัดแปลงพันธุกรรมที่มีการนำเข้า และเพื่อควบคุมกำกับดูแลตามประกาศกระทรวงสาธารณสุข เรื่องอาหารที่ได้จากสิ่งมีชีวิตดัดแปลงพันธุกรรม

คณะผู้วิจัย
ปิยรัตน์ ธรรมกิจวัฒน์
ปิยนุช ศรชัย
ธิติรัตน์ อัศวมงคลศิริ
วีระศักดิ์ พิทักษ์ศุน्धิ
มกราคม 2565

กิจกรรมประจำ

โครงการวิจัยการพัฒนาเทคนิค Multiplex Real-time PCR สำหรับตรวจคัดกรองและจำแนกยีนพีช ดัดแปลงพันธุกรรมเชิงคุณภาพในพีชนำเข้า (ข้าว ข้าวสาลี ถั่วเหลือง และ ข้าวโพด) ได้รับทุนสนับสนุนงานวิจัย จากสำนักงานคณะกรรมการส่งเสริมวิทยาศาสตร์ วิจัยและนวัตกรรม (สกสว.) ระยะเวลาดำเนินการวิจัย 2 ปี เริ่มต้น 1 ตุลาคม 2563 สิ้นสุด 31 ธันวาคม 2564 คณะผู้วิจัยได้ดำเนินงานวิจัยตามระบบคุณภาพ และได้รับ ความอนุเคราะห์ตัวอย่างทดสอบจากห้องปฏิบัติการตรวจสอบพีชและสินค้าพีชดัดแปลงพันธุกรรม กลุ่มวิจัย พัฒนาการตรวจสอบพีชและจุลินทรีย์ดัดแปลงพันธุกรรม สำนักวิจัยพัฒนาเทคโนโลยีชีวภาพ กรมวิชาการเกษตร ซึ่งห้องปฏิบัติการฯ ได้รับการรับรองความสามารถห้องปฏิบัติการทดสอบ ตามมาตรฐาน ISO/IEC 17025 : 2017 จากสำนักมาตรฐานห้องปฏิบัติการ กรมวิทยาศาสตร์การแพทย์

การศึกษานี้ได้รับทุนสนับสนุนงานวิจัยจากสำนักงานคณะกรรมการส่งเสริมวิทยาศาสตร์ วิจัยและ นวัตกรรม (สกสว.) ระยะเวลาดำเนินการวิจัย 1 ตุลาคม 2563 – 31 ธันวาคม 2564 การดำเนินงานวิจัยใน โครงการฯ สำเร็จลุล่วงได้ด้วยดี คณะผู้วิจัยขอขอบคุณ ทีมผู้ช่วยวิจัยในโครงการฯ คณะกรรมการวิจัยและพัฒนา สำนักวิจัยพัฒนาเทคโนโลยีชีวภาพ คณะกรรมการที่ปรึกษางานวิจัย กรมวิชาการเกษตร ตลอดจนบุคลากรใน สังกัดกลุ่มวิจัยพัฒนาการตรวจสอบพีชและจุลินทรีย์ดัดแปลงพันธุกรรม สำนักวิจัยพัฒนาเทคโนโลยีชีวภาพ กรม วิชาการเกษตร ที่อุ่นวยความสะดวกในการดำเนินงาน

มกราคม 2565

ผู้วิจัย
(คณะผู้วิจัย)

- หัวหน้าโครงการ : นางปิยรัตน์ ธรรมกิจวัฒน์ (Piyarat Thammakijjawat)
ตำแหน่ง ผู้อำนวยการสำนักวิจัยพัฒนาเทคโนโลยีชีวภาพ
สำนักวิจัยพัฒนาเทคโนโลยีชีวภาพ กรมวิชาการเกษตร กระทรวงเกษตรและสหกรณ์
โทรศัพท์: 0-2579-1535, 08-1847-9789 โทรสาร: 0-2579-1533
e-mail: pthammakijjawat@gmail.com
- นักวิจัย 1) นางสาวปิyanuch ศรษัย (Piyanuch Sornchai)
ตำแหน่ง นักวิชาการเกษตรชำนาญการ
กลุ่มวิจัยพัฒนาการตรวจสอบพืชและจุลินทรีย์ดัดแปลงพันธุกรรม
สำนักวิจัยพัฒนาเทคโนโลยีชีวภาพ กรมวิชาการเกษตร กระทรวงเกษตรและสหกรณ์
โทรศัพท์: 0-2579-1533-5, 061-641-9591 โทรสาร: 0-2579-1533
e-mail: butakurogo@hotmail.com
- นักวิจัย 2) นางสาวธิติรัตน์ อัศวมงคลศิริ (Thitirut Assawamongkholsiri)
ตำแหน่ง นักวิชาการเกษตรชำนาญการ
กลุ่มวิจัยพัฒนาการตรวจสอบพืชและจุลินทรีย์ดัดแปลงพันธุกรรม
สำนักวิจัยพัฒนาเทคโนโลยีชีวภาพ กรมวิชาการเกษตร กระทรวงเกษตรและสหกรณ์
โทรศัพท์: 0-2579-1533-5, 086-260-4449 โทรสาร: 0-2579-1533
e-mail: thitirut.assawamongkholsiri@gmail.com
- นักวิจัย 3) นายวีระศักดิ์ พิทักษ์ศูงคาน (Weerasak Pitaksaringkarn)
ตำแหน่ง นักวิชาการเกษตรชำนาญการ
กลุ่มวิจัยพัฒนาการตรวจสอบพืชและจุลินทรีย์ดัดแปลงพันธุกรรม
สำนักวิจัยพัฒนาเทคโนโลยีชีวภาพ กรมวิชาการเกษตร กระทรวงเกษตรและสหกรณ์
โทรศัพท์: 0-2579-1535, โทรสาร: 0-2579-1533
e-mail: weraouddy@hotmail.com

บทคัดย่อ

ห้องปฏิบัติการตรวจวิเคราะห์พืชและสินค้าพืชดัดแปลงพันธุกรรม ภายใต้การดำเนินงานของกลุ่มวิจัย พัฒนาการตรวจสอบพืชและจุลินทรีย์ดัดแปลงพันธุกรรม สำนักวิจัยพัฒนาเทคโนโลยีชีวภาพ กรมวิชาการเกษตร ได้รับการรับรองห้องปฏิบัติการตามมาตรฐานสากล ISO/IEC 17025 โดยในปัจจุบันมีการตรวจคัดกรองยืน CaMV35S Promoter, Nos terminator และ ยีนอ้างอิงพืช ซึ่งเป็นการตรวจคัดกรองเชิงคุณภาพ เพื่อบ่งชี้ถึงการ ปะปนพืชดัดแปลงพันธุกรรมในตัวอย่างทดสอบ การพัฒนาการตรวจวิเคราะห์พืชหรือสินค้าพืชดัดแปลงพันธุกรรม ในข้าว ข้าวสาลี ถั่วเหลือง และข้าวโพด พบร่วมกับการสกัดดีเอ็นเอด้วยวิธี Genescan Lysis ได้ค่าปริมาณและ บริสุทธิ์ของดีเอ็นเอเพียงพอสำหรับการตรวจวิเคราะห์ด้วยเทคนิค Multiplex Real-time PCR ซึ่งสามารถตรวจ คัดกรองและจำแนกแยกข้าวดัดแปลงพันธุกรรมได้ 3 สายพันธุ์ ได้แก่ Bt63, LL601 และ LL62 โดยใช้ชุดไพรเมอร์ 2 ชุด ได้แก่ 1) CaMV35S Promoter, Nos terminator และ PLD 2) P35S::Bar, Cry1Ab/Ac, LL62 และ LL601 ในข้าวสาลีสามารถจำแนกได้ 2 สายพันธุ์ ได้แก่ MON71800 และ MON71200 และจำแนกการปะปนพืช ดัดแปลงพันธุกรรมอื่น ได้แก่ ถั่วเหลือง ข้าวโพด และ คานาโนลา โดยใช้ชุดไพรเมอร์ 2 ชุด ได้แก่ 1) CaMV35S Promoter, Nos terminator, Acc-1 และ MON71800 2) Lectin, HMG, CruA และ MON71200 ในถั่วเหลือง สามารถจำแนกได้ 6 สายพันธุ์ ได้แก่ events A2704-12, MON87701, MON87705, MON87769, MON89788 และ GTS 40-3-2 โดยใช้ชุดไพรเมอร์ 2 ชุด ได้แก่ 1) CaMV35S Promoter, Nos terminator, Cy1Ac และ Lectin 2) rbcS-E9, Mon 87705, Mon 89788 และ Lectin สำหรับข้าวโพดสามารถจำแนกได้ 14 สายพันธุ์ ได้แก่ Bt11, GA21, TC1507, DAS59122-7, T25, MIR604, Mon810, Mon88017, Mon89034, NK603, MIR162, Mon87460, Mon87427, และ DAS40278-9 โดยใช้ชุดไพรเมอร์เพียง 1 ชุด ได้แก่ P35S, Nos, Pat, FMV และ Ubiquitin พบร่วมชุดไพรเมอร์ที่ออกแบบและติดฉลากสีมีความจำเพาะกับยีนที่ใช้ตรวจคัดกรองในแต่ละ ชนิดพืช โดยเมื่อเปรียบเทียบกับการตรวจคัดกรองแบบยืนเดียว พบร่วมสามารถลดเวลาการตรวจคัดกรอง โดยใช้ ต้นทุนสารเคมีลดลง และจากการทดสอบความใช้ได้เปรียบเทียบระหว่างการตรวจคัดกรองแบบยืนเดียว กับเทคนิค Multiplex Real-time PCR พบร่วม เทคนิคที่พัฒนาขึ้น ค่าความถูกต้องของผลการทดสอบ 100 เปอร์เซ็นต์ มีค่า ขีดจำกัดของตรวจพบ (LOD) ไม่แตกต่างกันกับการตรวจแบบยืนเดียว นอกจากนั้นยังมีการพัฒนาวัสดุอ้างอิงพ ลางสมิດของข้าวสาลีดัดแปลงพันธุกรรมสายพันธุ์ MON71800 ขึ้น เพื่อใช้ทดสอบการนำเข้าของวัสดุอ้างอิงทดสอบ จากต่างประเทศ

Abstract

Genetically modified plant and plant's product detection laboratory under Genetically modified plant and microbe research and development group, Biotechnology Research and Development Office, Department of Agriculture has been accredited for ISO/IEC 17025 laboratory. In present, CaMV35S Promoter, NOS terminator and plant's endogenous gene have been used for screening in qualitative detection for determination of GM plant in submitted sample. Development of detection of GM plant and its product in rice, wheat, soybean and corn found that Genescan Lysis method is appropriate method for DNA extraction by performing high quantity and quality of extracted DNA for using in Multiplex Real-time PCR which is able to classify 3 events of GM rice, Bt63, LL601 and LL62 by employing 2 set of primers and probes 1) CaMV35S Promoter, Nos terminator and PLD 2) P35S::Bar, CryIAb/Ac, LL62 and LL601. In wheat is able to classify 2 events, MON71800 and MON71200 and also separate from another GM species, soybean, corn and canola by employing 2 set of primers and probes 1) CaMV35S Promoter, Nos terminator, Acc-1 and MON71800 2) Lectin, HMG, CruA and MON71200. In soybean is able to classify 6 events of soybean GM, A2704-12, MON87701, MON87705, MON87769, MON89788 and GTS 40-3-2 by employing 2 set of primers and probes 1) CaMV35S Promoter, Nos terminator, Cy1Ac and Lectin 2) rbcS-E9, Mon 87705, Mon 89788 and Lectin. In corn is able to classify 14 events of GM corn, Bt11, GA21, TC1507, DAS59122-7, T25, MIR604, Mon810, Mon88017, Mon89034, NK603, MIR162, Mon87460, Mon87427 and DAS40278-9 by employing 1 set of primers and probes P35S, Nos, Pat, FMV and Ubiquitin. The designed primers and probe are specific and efficiency for detection target genes in each plant. Comparing to Simplex Real-time PCR, Multiplex Real-time PCR perform faster working time and lower chemical cost. The method validation of Multiplex Real-time PCR compares to Simplex Real-time PCR showed 100% accuracy and same LOD. Moreover, MON71800 in-house reference plasmid was developed for using as positive control instead of importation from foreign country.

สารบัญ

เรื่อง	หน้า
คำบรรยาย	๑
กิตติกรรมประกาศ	๒
ผู้วิจัย (คณะผู้วิจัย)	๓
บทคัดย่อ	๔
Abstract	๕
สารบัญ	๖
สารบัญภาพ	๗
สารบัญตาราง	๘
บทที่ 1 บทนำ	๑
บทที่ 2 ระเบียบวิธีการวิจัย	๕
บทที่ 3 ผลการศึกษาและอภิปรายผล	๒๘
บทที่ 4 สรุปผลการวิจัย และข้อเสนอแนะ	๖๓
บรรณานุกรม	๖๘

สารบัญภาพ

เรื่อง

หน้า

บทที่ 2 ระเบียบวิธีการวิจัย

การทดลองที่ 1 พัฒนาวิธี Multiplex Real-time PCR เพื่อตรวจคัดกรองและจำแนกยืน

ข้าวดัดแปลงพันธุกรรม

Figure 2.1-1 Condition of Multiplex Real-time PCR

7

การทดลองที่ 2 พัฒนาวิธี Multiplex Real-time PCR เพื่อตรวจวิเคราะห์ข้าวสาลีดัดแปลงพันธุกรรม

Figure 2.2-1 The schematic diagrams of the designed in-house pUC57-MON71800

which consist of *CaMV35S* promoter, *ACC-1*, *MON71800* event specific element, NOS terminator, ampicillin resistant gene and restriction recognize region between each gene.

11

Figure 2.2-2 The fragment sequence of designed insertion genes. The red letter

indicates position of forward primer, reverse primer and probe of each gene.

The green letter indicates position of restriction enzyme sites.

12

สารบัญตาราง

เรื่อง	หน้า
บทที่ 2 ระเบียบวิธีการวิจัย การทดลองที่ 1 พัฒนาวิธี Multiplex Real-time PCR เพื่อตรวจคัดกรองและจำแนกยืน ชี้ว่าดัดแปลงพันธุกรรม	
Table 2.1-1 Primers and probes sequence	5
Table 2.1-2 The structure of designed 2 sets of screening and detection of GM wheat and other GM contamination	6
Table 2.1-3 The mixture chemical use in Triplex and Tetraplex Real-time PCR	8
การทดลองที่ 2 พัฒนาวิธี Multiplex Real-time PCR เพื่อตรวจวิเคราะห์ข่าวสารลีดดดแปลงพันธุกรรม	
Table 2.2-1 The sequences of oligonucleotide of primers and probes for detection of <i>CaMV35S</i> promoter, <i>NOS</i> terminator, <i>MON71800</i> event specific element and <i>ACC-1</i> genes for first set and <i>HMG</i> , <i>Lectin</i> , <i>MON71200</i> event specific and <i>CruA</i> for second set	13
Table 2.2-2 The structure of designed 2 sets of screening and detection of GM wheat and other GM contamination	14
Table 2.2-3 Reagents for detection of <i>CaMV35S</i> promoter, <i>NOS</i> terminator, <i>MON71800</i> event specific element and <i>ACC-1</i> for first set of primers and probes and <i>HMG</i> , <i>Lectin</i> , <i>MON71200</i> event specific and <i>CruA</i> for second set of primers and probes by Real-Time PCR (Simplex and Tetraplex)	15
การทดลองที่ 3 พัฒนาวิธี Multiplex real-time PCR ในการตรวจจำแนกยืนถ้วนเหลืองดัดแปลงพันธุกรรม events A2704-12 Mon87701 Mon87705 Mon87769 Mon89788 และ GTS 40-3-2	
Table 2.3-1 Oligonucleotide sequences of primer and probe for detection 7 genes of genetically modified soybean	19
Table 2.3-2 The detection of soybean gene structure by Tetraplex Real-time for experiment A and experiment B	20

สารบัญตาราง (ต่อ)

เรื่อง	หน้า
--------	------

Table 2.3-3 Reagents used for detection of soybean GM by Simplex and Tetraplex Real-time for experiment A	21
Table 2.3-4 Reagents used for detection of soybean GM by Simplex and Tetraplex Real-time for experiment B	22
การทดลองที่ 4 พัฒนาวิธี Multiplex real-time PCR ในการตรวจคัดกรองและจำแนกยืน ข้าวโพดดัดแปลงพันธุกรรม 14 events	
Table 2.4-1 The GM certified reference materials information in this study	25

บทที่ 3 ผลการศึกษาและอภิปรายผล

การทดลองที่ 1 พัฒนาวิธี Multiplex Real-time PCR เพื่อตรวจคัดกรองและจำแนกยืน ข้าวดัดแปลงพันธุกรรม	
Table 3.1-1 Rice and its product DNA extraction and inhibition test	28
Table 3.1-2 Specific test of primers and probes of CaMV35S Promoter, NOS terminator, <i>PLD</i> , <i>CryIAb/Ac</i> , event specific <i>LL62</i> , event specific <i>LL601</i> and <i>Bar</i>	29
Table 3.1-3 Amplification factor, PCR efficiency, slope, linearity and intercept of CaMV35S promoter, NOS terminator, PLD CryIAb/Ac, event specific LL62, event specific LL601 and Bar genes detection using Triplex and Tetraplex Real-time PCR	30
Table 3.1-4 Precision accuracy and repeatability of Multiplex real-time PCR	31
Table 3.1-5 Limit of detection of CaMV35S Promoter, NOS terminator, PLD, CryIAb/Ac, event specific LL62, event specific LL601 and Bar in Multiplex Real-time PCR reaction	32
Table 3.1-6 Testing of 50 rice and its product samples from ISO/IEC17025 laboratory in 2 sets of primers and probe	33
Table 3.1-7 Testing of spike samples into non-GM rice in 2 sets of primers and probes	34

สารบัญตาราง (ต่อ)

เรื่อง	หน้า
การทดลองที่ 2 พัฒนาวิธี Multiplex Real-time PCR เพื่อตรวจวิเคราะห์ข้าวสาลีดัดแปลงพันธุกรรม	
Table 3.2-1 Concentration, ratio of A260/280 and inhibition test of extracted DNA from wheat and wheat's products	34
Table 3.2-2 Specific test of primers and probes of <i>CaMV35S</i> Promoter, <i>NOS</i> terminator, <i>ACC-1</i> <i>MON71800</i> , <i>Lectin</i> , <i>HMG</i> , <i>CruA</i> and <i>MON71200</i> in Simplex Real-time PCR	35
Table 3.2-3 Crossing point (CP) of <i>CaMV35S</i> promoter, <i>NOS</i> terminator, <i>MON71800</i> event specific element and <i>ACC-1</i> by using of PUC57-MON71800 plasmid (1 pg) as a template in Simplex and Tetraplex Real-Time PCR reaction * $P < 0.05$ (t-test) (n=3).	36
Table 3.2-4 Crossing point (CP) of <i>HMG</i> , <i>Lectin</i> , <i>CruA</i> and <i>MON71200</i> event specific element by using wheat spiked corn, soybean, canola DNA at 0.05% and MON71200 (Wako) plasmid DNA at 0.1% as a template in Simplex and Tetraplex Real-Time PCR reaction * $P < 0.05$ (t-test) (n=3).	36
Table 3.2-5 Amplification factor, PCR efficiency, slope, linearity and intercept of <i>CaMV35S</i> promoter, <i>NOS</i> terminator, <i>MON71800</i> , <i>ACC-1</i> , <i>HMG</i> , <i>Lectin</i> , <i>CruA</i> and <i>MON71200</i> genes detection using Tatraplex Real-time PCR	37
Table 3.2-6 Precision accuracy and repeatability of Tetraplex real-time PCR	38
Table 3.2-7 Limit of detection (LOD) of PUC57-MON71800 plasmid for detection of <i>CaMV35S</i> promoter, <i>NOS</i> terminator, <i>MON71800</i> event specific element and <i>ACC-1</i> in Tetraplex Real-Time PCR reaction. (n=10)	39
Table 3.2-8 Limit of detection (LOD) of <i>HMG</i> , <i>Lectin</i> , <i>CruA</i> and <i>MON71200</i> event specific element in Tetraplex Real-Time PCR reaction. (n=10)	39
Table 3.2-9 Testing of 30 wheat samples from ISO/IEC17025 laboratory in 2 sets of primers and probe (n=2)	40
Table 3.2-10 Blind test of spiked different kinds of GM samples in non-GM wheat DNA for testing on designed 2 sets of primers and probes (n=3)	42

สารบัญตาราง (ต่อ)

เรื่อง	หน้า
การทดลองที่ 3 พัฒนาวิธี Multiplex real-time PCR ในการตรวจจำแนกยีนถั่วเหลืองด้ัดแปลงพันธุกรรม events A2704-12 Mon87701 Mon87705 Mon87769 Mon89788 และ GTS 40-3-2	
Table 3.3-1 the DNA concentration and DNA Ratio of DNA extraction	43
Table 3.3-2 The C _t of specific test on soybean GM by Simplex and Tetraplex Real-time	45
Table 3.3-3 The C _t results of various primer-probe concentrations for detection genetically modified soybean by Tetraplex Real-time	47
Table 3.3-4 The results of C _t , PCR efficiency, and slope on LOD testing for genetically modified soybean by Tetraplex Real-time	49
Table 3.3-5 The results of C _t on various DNA template concentrations for genetically modified soybean detection by Tetraplex Real-time	50
Table 3.3-6 Soybean food and seed, PT samples, and plant samples screened by Tetraplex Real-time compared with Triplex Real-time PCR assay which analyzing by Research and Development of GM Plant & Microbe Detection Lab	53
การทดลองที่ 4 พัฒนาวิธี Multiplex real-time PCR ในการตรวจคัดกรองและจำแนกยีนข้าวโพเดด้ัดแปลงพันธุกรรม 14 events	
Table 3.4-1 Quality, concentration, and Inhibition test results of 14 genetically modified after DNA extraction	55
Table 3.4-2 The construct gene information of 14 genetically modified maize	57
Table 3.4-3 Oligonucleotide sequences of primer and probe of construct gene for event gene detection in 14 genetically modified maize	58
Table 3.4-4 The Ct Mean results of primers and probes specificity for 35SCaMV promoter, NOS terminator, FMV promoter, <i>PAT</i> and <i>Ubi-1</i> gene using Simplex and Multiplex Real-time PCR techniques.	60

สารบัญตาราง (ต่อ)

เรื่อง	หน้า
--------	------

Table 3.4-5 PCR efficiency, slope, linearity and intercept of 35SCaMV promoter,
Nos terminator, *Ubi-1*, FMV and *Pat* gene detection using Multiplex
Real-time PCR

61

Table 3.4-6 The repeatability and reproducibility of 35SCaMV promoter, Nos terminator,
Ubi-1, FMV and *Pat* gene that were detected by using multiplex
real-time PCR in 0.1% contaminated GM Maize

62

บทที่ 1 บทนำ

1.1 ความสำคัญและที่มาของโครงการวิจัย

เทคโนโลยีชีวภาพสมัยใหม่มีความก้าวหน้าอย่างรวดเร็วและมีศักยภาพสูงในการสร้างประโยชน์อย่างกว้างขวางในด้านต่างๆ เช่น ด้านการแพทย์ ด้านอุตสาหกรรม และด้านการเกษตร โดยเฉพาะอย่างยิ่งการปรับปรุงพันธุ์พืชโดยอาศัยหลักของพันธุวิศวกรรม ซึ่งวัตถุประสงค์ของการพัฒนาอาจแตกต่างกัน เช่น การสร้างพืชใหม่คุณลักษณะทางพันธุ์ต่อสภาพแวดล้อมที่ไม่เหมาะสม พืชทนแล้ง พืชทนเค็ม การปรับปรุงพันธุ์พืชทางสารกำจัดวัชพืช ด้านทานโรคที่เกิดจากไวรัส แบคทีเรีย และแมลงศัตรูพืช การเพิ่มคุณค่าทางโภชนาการ การปรับปรุงให้พืชมีอายุการเก็บรักษานานขึ้น รวมถึงสร้างพืชที่ให้สีสันแปลกใหม่ตามความต้องการของตลาด เป็นต้น โดยพืชดัดแปลงพันธุกรรมมีการปลูกและใช้ประโยชน์เชิงการค้าตั้งแต่ปี 2539 จนถึงปัจจุบันปี 2560 มีรายงานปลูกใน 26 ประเทศทั่วโลกพื้นที่ 1,186.25 ล้านไร่ ประเทศไทยลักษณะพืชที่ปลูกมากที่สุดคือสหัสโซเมริกา บรากิล และอาร์เจนตินา คุณลักษณะการดัดแปลงพันธุกรรมที่ผ่านการอนุญาตใช้มีมากกว่า 404 สายพันธุ์ (events) เป็นพืชไร่เศรษฐกิจ 356 สายพันธุ์ ไม้ผล 22 สายพันธุ์ ไม้ยืนต้น 23 สายพันธุ์ และไม้ดอกไม้มีระดับ 3 สายพันธุ์ ชนิดพืชที่ผ่านการอนุมัติใช้ประโยชน์อาทิ ข้าวโพด (231 สายพันธุ์) ฝ้าย (60 สายพันธุ์) มันฝรั่ง (48 สายพันธุ์) คานอล่า (41 สายพันธุ์) และถั่วเหลือง (40 สายพันธุ์) โดยประเทศไทยเป็นประเทศที่ปลูกพืชดัดแปลงพันธุกรรม ได้แก่ อินเดีย (ฝ้าย) จีน (ฝ้าย มะละกอ poplar มะเขือเทศ sweet pepper) ปากีสถาน (ฝ้าย) พิลิปปินส์ (ข้าวโพด) เมียนมาร์ (ฝ้าย) อินโดนีเซีย (อ้อย) และเวียดนาม (ข้าวโพด) (ISAAA, 2560)

จากข้อมูลการพัฒนาและอนุญาตปลูกพืชดัดแปลงพันธุกรรมนั้น ยังมีกลุ่มประเทศที่ไม่อนุญาตปลูกแต่ให้นำเข้าเพื่อใช้ประโยชน์ในอุตสาหกรรมอีกกว่า 31 ประเทศ รวมถึงประเทศไทยที่ไม่อนุญาตให้ปลูก แต่อนุญาตให้นำเข้าถั่วเหลืองและข้าวโพดดัดแปลงพันธุกรรมเพื่ออุตสาหกรรมอาหารมนุษย์และอาหารสัตว์ จากประเด็นความปลอดภัยทางชีวภาพ ทำให้หลายประเทศใช้การตรวจการประปนพืชดัดแปลงพันธุกรรมเป็นมาตรการกีดกันทางการค้า ส่งผลกระทบต่อภาคเกษตร อุตสาหกรรม และการส่งออก ตัวอย่างเช่นประเทศไทยในกลุ่มสหภาพยุโรป ญี่ปุ่น เกาหลี และประเทศไทย ไม่อนุญาตให้นำเข้าพืชดัดแปลงพันธุกรรม สหภาพยุโรปมีระบบแจ้งเตือนเรื่องตรวจพบการประปนพืชดัดแปลงพันธุกรรมในสินค้าส่งออก ซึ่งรายงานในปี พ.ศ. 2557-2560 ตรวจพบการประปนพืชดัดแปลงพันธุกรรม (ที่ไม่ได้รับอนุญาต) จากประเทศไทย รวม 21 ครั้ง (RASFF Food and Feed safety alerts; EU commission) ทำให้ผู้ประกอบการส่งออกสินค้าทางการเกษตร ต้องสูญเสียอย่างสิ้นค้าส่งห้องปฏิบัติการเพื่อตรวจวิเคราะห์ปลอดภัยของพืชดัดแปลงพันธุกรรมซึ่งสามารถส่องออกได้

ประเทศไทยมีการประเมินความปลอดภัยทางชีวภาพด้านอาหารของสิ่งมีชีวิตดัดแปลงพันธุกรรมรับผิดชอบโดยคณะกรรมการเทคนิคด้านความปลอดภัยทางชีวภาพ (ศช.) ร่วมกับสำนักงานคณะกรรมการอาหารและยา (อย.) ประเมินแล้วเสร็จจำนวน 29 โครงการ เป็นข้าวโพด 19 โครงการ ถั่วเหลือง 6 โครงการ อาหารที่ผลิตจากจุลทรรศ์ดัดแปลงพันธุกรรม 4 โครงการ โดยมีโครงการที่อยู่ระหว่างการประเมินอีก 12 โครงการ ทั้งนี้มีพืชดัดแปลงพันธุกรรมอีกหลายชนิดและหลายสายพันธุ์ ที่ยังไม่ผ่านการประเมิน อาทิ ข้าว ข้าวสาลี ข้าวโนร์น ข้าวบาร์เลย์ คานอล่า ชูการ์บีท และพืชตระกูลถั่วอีนๆ เป็นต้น ทำให้อาจมีโอกาสหลุดรอด逃避มาในภาคอุตสาหกรรมของไทย ซึ่งนำเข้าวัตถุดิบมาใช้ในอุตสาหกรรม (นคร สอนสมบูรณ์ และคณะ, 2559) นับแต่ปี 2559 กรมวิชาการเกษตรรับภารกิจถ่ายทอดการตรวจสอบการประปนพืชดัดแปลงพันธุกรรมในสินค้าวัตถุดิบนำเข้าจากกระทรวงสาธารณสุข ในพิกัด ถั่วเหลือง ข้าว ข้าวสาลี ข้าวโพด ข้าวโนร์น ข้าวบาร์เลย์ โดยตรวจคัดกรองยืน

35S Promoter และ Nos terminator ด้วย Real-time PCR ผลการตรวจตัวอย่าง พบถ้าเหลืองดัดแปลงพันธุกรรม และข้าวสาลี ปะปนยืนคาน่าในล่าดัดแปลงพันธุกรรม ซึ่งคาดว่าเกิดจากกระบวนการขันส่ง ทั้งนี้พืชดัดแปลงพันธุกรรมที่อนุญาตใช้ในเชิงพาณิชย์มีมากกว่า 350 สายพันธุ์ โดยแต่ละประเทศจะมีระบบการประเมินความปลอดภัยอนุญาตใช้เฉพาะกรณี ทำให้วิธีการตรวจคัดกรองยืน 35S Promoter และ Nos terminator ที่ใช้ในห้องปฏิบัติการ ไม่เพียงพอในการกำกับดูแลอีกต่อไป (Park et al, 2015)

ห้องปฏิบัติการตรวจวิเคราะห์พืชและสินค้าพืชดัดแปลงพันธุกรรม ภายใต้การดำเนินงานของกลุ่มวิจัยพัฒนาการตรวจสอบพืชและจุลินทรีย์ดัดแปลงพันธุกรรม สำนักวิจัยพัฒนาเทคโนโลยีชีวภาพ กรมวิชาการเกษตรได้รับการรับรองห้องปฏิบัติการตามมาตรฐานสากล ISO/IEC 17025 ซึ่งเป็นการรับรองในขอบข่ายการตรวจวิเคราะห์ข้าวโพดและผลิตภัณฑ์ ถ้าเหลืองและผลิตภัณฑ์ และมะลิกอก โดยการตรวจคัดกรองยืน CaMV35S Promoter และ Nos terminator ซึ่งเป็นยืนที่พบได้ในพืชที่ได้รับการตัดต่อสารพันธุกรรม เชิงคุณภาพโดยวิธี Real-time PCR ทำปฏิกริยาที่เล็กซีเพเมอร์-โพร์ (single plex) 1 ตัวอย่างจะต้องตรวจ 3 ยืน คือ 1) การตรวจคัดกรองยืน CaMV35S Promoter 2) การตรวจคัดกรองยืน Nos terminator และ 3) การตรวจยืนอ้างอิงพืช (Endogenous gene) นอกจากนี้กรณีที่ต้องตรวจจำแนกชนิดยืนที่มีการตัดต่อพันธุกรรมครั้งละเอยน ส่งผลให้มีค่าใช้จ่ายของสารเคมี วัสดุอุปกรณ์ ตลอดจนสิ้นเปลืองทรัพยากรในการตรวจวิเคราะห์ และใช้ระยะเวลาในตรวจวิเคราะห์นาน เจ้าหน้าที่ทดสอบต้องทำงานนอกเวลาทำการ เพื่อให้สามารถขอรายงานผลการทดสอบได้ทันกำหนดเวลา ตามพระราชบัญญัติอำนวยความสะดวกประชาชน ซึ่งสายพันธุ์ของพืชดัดแปลงพันธุกรรมที่ได้รับการอนุญาตให้จำหน่ายเชิงการค้ามีจำนวนมาก หากไม่มีผลการตรวจวิเคราะห์อาจส่งผลกระทบต่อการนำเข้า-ส่งออก การพัฒนาเทคนิคตรวจวิเคราะห์ที่ไม่ครอบคลุม จะทำให้ผลการตรวจอิเล็กทรอนิกส์ไม่สอดคล้องกับประเทศปลายทาง ทำให้เกิดความไม่น่าเชื่อถือทางการค้า ประกอบกับการควบคุมกำกับดูแลของประเทศไทยจำเป็นต้องมีข้อมูลประกอบเรื่องสายพันธุ์พืชดัดแปลงพันธุกรรม ที่มีการนำเข้ามาใช้ในกระบวนการผลิต เพื่อป้องกันปัญหาการปฏิเสธการนำเข้า-ส่งออกสินค้า ดังนั้นกรมวิชาการเกษตรจึงมีความจำเป็นในการพัฒนาวิธีการตรวจวิเคราะห์ และจัดทำฐานข้อมูลการประเมินวัตถุดิบนำเข้า เพื่อการรับมือทางด้านการค้ากับสถานการณ์ที่จะเปลี่ยนแปลงในอนาคต โดยเฉพาะอย่างยิ่งในหน่วยราชการซึ่งมีภารกิจ บทบาทหน้าที่ในการควบคุมกำกับดูแลโดยตรง จะต้องมีการวิจัยพัฒนาให้ได้ผลการตรวจวิเคราะห์ที่ครอบคลุม ถูกต้อง น่าเชื่อถือ เพื่อรักษาผลประโยชน์ของประเทศในกรณีกรณีข้อพิพาท เป็นการสร้างบุคลากรที่มีความสามารถในการตรวจวิเคราะห์ ตลอดจนกำกับดูแลห้องปฏิบัติการตรวจวิเคราะห์ตามระบบคุณภาพสากล ISO/IEC17025 และอำนวยความสะดวกให้แก่ประชาชนที่มาใช้บริการ

โครงการวิจัยนี้จึงมุ่งพัฒนาการตรวจวิเคราะห์เชิงคุณภาพทั้งการตรวจคัดกรองและจำแนกยืน หลายชนิด ในปฏิกริยาเดียวกัน (Multiplex Real-time PCR) มุ่งเน้นการตรวจวิเคราะห์ในพืชนำเข้าที่ยังไม่มีกฎหมายกำกับดูแล ได้แก่ ข้าว ข้าวสาลี การตรวจวิเคราะห์พืชนำเข้าที่มีความเสี่ยงที่จะหลุดลอดไปในประเทศไทย เนื่องจากมีการปลูกเชิงการค้าและมีจำนวนสายพันธุ์ดัดแปลงพันธุกรรมมาก ได้แก่ ข้าวโพด และถ้าเหลือง การวิจัยจะทำการตรวจวิเคราะห์อย่างเป็นระบบของแต่ละพืช ตรวจยืนจำเพาะและยืนคัดกรองเพิ่มเติมจากยืน 35S Promoter และ Nos terminator ทำให้ได้ผลการตรวจวิเคราะห์ที่ครอบคลุมชนิดของยืนดัดแปลงพันธุกรรม ผลการวิเคราะห์มีความถูกต้องแม่นยำ ลดระยะเวลาการตรวจ ประหยัดต้นทุน เตรียมพร้อมรองรับการตรวจวิเคราะห์ และควบคุมกำกับดูแลในประเทศตามประกาศกระทรวงสาธารณสุข เรื่องอาหารที่ได้จากการที่ได้จำกัดดัดแปลงพันธุกรรม ซึ่งอยู่ระหว่างดำเนินการปรับปรุงสำหรับการควบคุมการนำเข้าพืชดัดแปลงพันธุกรรมทุกชนิด โดยจะอนุญาตนำเข้าและใช้เฉพาะที่ผ่านการประเมินความปลอดภัยทางชีวภาพในประเทศแล้วเท่านั้น ได้ข้อมูล

ประกอบการจัดทำมาตรฐานหรือกฎหมายในการกำกับดูแลสินค้าพืชดัดแปลงพันธุกรรม และรวบรวมข้อมูลสำหรับการเปิดตลาดการค้ากับต่างประเทศในอนาคต

1.2 วัตถุประสงค์

เพื่อพัฒนาเทคนิค Multiplex real-time PCR ที่มีความรวดเร็ว แม่นยำ ประหยัดเวลาและงบประมาณในการตรวจคัดกรองและจำแนกยืนพืชดัดแปลงพันธุกรรม 4 ชนิด ได้แก่ ข้าว ข้าวสาลี ถั่วเหลือง และข้าวโพด และจัดทำเอกสารวิธีทดสอบขั้นตอนการปฏิบัติงานสำหรับห้องปฏิบัติการ ขอรับรองมาตรฐาน ISO/IEC17025 โดยมีวัตถุประสงค์อย่างสำหรับแต่ละการทดลอง ดังนี้

1. เพื่อพัฒนาวิธีตรวจจำแนกยืนข้าวดัดแปลงพันธุกรรมสายพันธุ์ Bt63, LL62, LL601
2. เพื่อพัฒนาวิธีตรวจจำแนกยืนข้าวสาลีดัดแปลงพันธุกรรมสายพันธุ์ Mon71800 และตรวจสอบการปนเปื้อนพืชดัดแปลงพันธุกรรมจากการขันส่ง ตามแนวปฏิบัติในการตรวจวิเคราะห์ของสหภาพยุโรป
3. เพื่อพัฒนาวิธีตรวจจำแนกยืนถั่วเหลืองดัดแปลงพันธุกรรมสายพันธุ์ A2704-12 MON87701 Mon87705 Mon87769 Mon89788 และ GTS 40-3-2
4. เพื่อพัฒนาวิธีตรวจจำแนกยืนข้าวโพดดัดแปลงพันธุกรรมสายพันธุ์ Bt11 GA21 TC1507 DAS59122-7 T25 MIR604 Mon810 Mon88017 Mon 89034 NK603 MIR162 Mon87460 Mon87427 และ DAS40278-9.

1.3 ขอบเขตการศึกษา

พัฒนาวิธีทดสอบเพื่อใช้เป็นระบบการตรวจวิเคราะห์ตัวอย่างสินค้าและผลิตภัณฑ์ 4 พืช ได้แก่ ข้าว ข้าวสาลี ถั่วเหลือง และข้าวโพด โดยพัฒนาจากวิธีการตรวจวิเคราะห์มาตรฐานสากลในการตรวจคัดกรองและตรวจจำแนกยืนที่ดัดแปลงพันธุกรรมของพืช สืบคันข้อมูลวิธีการตรวจวิเคราะห์ของสหภาพยุโรปในการตรวจวิเคราะห์ด้วย Real-time PCR วิเคราะห์โครงสร้างของยืนที่มีการดัดแปลงพันธุกรรมของแต่ละกรณี วางแผนการทดสอบของปฏิกิริยา Multiplex real-time PCR โดยใช้เครื่องเพิ่มปริมาณสารพันธุกรรม LightCycler 480 (Roche) ของห้องปฏิบัติการที่สามารถรองรับสีฟลูออเรสเซนต์ในการทดสอบได้ 3-4 สีในปฏิกิริยาเดียวกัน จัดซื้อวัสดุอ้างอิงมาตรฐาน (Certified reference material; CRM) หรือวัสดุอ้างอิงของสิ่งทดลองใน Matrix ต่างๆ ได้แก่ ข้าวดัดแปลงพันธุกรรม ข้าวสาลีดัดแปลงพันธุกรรม ถั่วเหลืองดัดแปลงพันธุกรรม และข้าวโพดดัดแปลงพันธุกรรม ทดสอบปฏิกิริยา Multiplex real-time PCR ในการตรวจคัดกรองและตรวจยืนจำเพาะพืช ทดสอบวิธีตรวจจำแนกยืนจำเพาะที่ได้รับการตัดต่อเข้าไปในพืชโดยวิธี Singleplex และ Multiplex Real-time PCR ทดสอบพารามิเตอร์ต่างๆ ของการตรวจสอบความใช้ได้ของวิธี ได้แก่ ความจำเพาะของไพรเมอร์และไพร์บ ความแม่น ความเที่ยง ความทนทานซ้ำได้ ความเข้มข้นที่น้อยที่สุดที่สามารถตรวจพบได้อย่างน่าเชื่อถือ จากนั้นทำการทดสอบวิธีการตรวจวิเคราะห์ในตัวอย่างสินค้าพืชในห้องปฏิบัติการ รวบรวมข้อมูล วิเคราะห์ผล และข้อมูลผลการทดสอบ เพื่อเป็นวิธีสำหรับใช้ตรวจวิเคราะห์ในห้องปฏิบัติการ เป็นข้อมูลเพื่อรองรับการออกกฎหมายควบคุมกำกับดูแล และการขอรับรองมาตรฐาน ISO/IEC 17025 ของห้องปฏิบัติการ

บทที่ 2 ระเบียบวิธีการวิจัย

การทดลองที่ 1 พัฒนาวิธี Multiplex Real-time PCR เพื่อตรวจสอบคัดกรองและจำแนกยืนช้าวดัดแปลงพันธุกรรม

2.1.1 วัสดุอ้างอิง

วัสดุอ้างอิงสำหรับการทดลองนี้ คือ พลasmid ที่มีชื่อดีเอ็นเอของข้าวสายพันธุ์ LL601 (pGSE220, Eurofins) และ Bt63 (pGSE28, Eurofins) และจีโนมิกส์ดีเอ็นเอของข้าวดัดแปลงพันธุกรรมสายพันธุ์ LL62 (Eurofins)

Table 2.1-1 Primers and probes sequence

Target	Name	Sequence (5'-3')	Length	Reference
CaMV35S Promoter	35S-F	GCCTCTGCCGACAGTGGT	18	ISO21569:2005/ FDAM1:2012
	35S-R	AAGACGTGGTTGGAACGTCTTC	22	
	35S-P	FAM-CAAAGATGGACCCCCACCCACG-BHQ1	22	
NOS terminator	NOS-F	CATGTAATGCATGACGTTATTATG	25	(E), Waiblinger et al. (2008)
	NOS-R	TTGTTTTCTATCGCGTATTAAATGT	25	
	NOS-P	HEX-ATGGGTTTTATGATTAGAGTCCCGCAA-BHQ1	28	
PLD	KVM159	TGGTGAGCGTTTGCAGTCT	20	Bayer CropScience
	KVM160	CTGATCCACTAGCAGGAGGTCC	22	
	TM013	Cy5-TGTTGTGCTGCCAATGTGGCCTG-BHQ3	23	
Bar	MDB498	TATCCTTCGCAAGACCCTTCC	21	CropScience (2006)
	DPA143	ATGTCGGCCGGCGTCGTTCTG	22	
	TM099	TXRed-TCTATATAAGGAAGTTCATTTCATT-BHQ2	25	
CryIAb/Ac (Bt63 rice)	T51F (Cry1A(b/c)-93F	GACTGCTGGAGTGATTATCGACAGA	25	Made et al. 2006, 2008/289/EC
	T51R (Cry1A(b/c)-93R	AGCTCGGTACCTCGACTTATTCA	24	
	T51P (Cry1A(b/c)-93P	FAM-TCGAGTTCATTCCAGTTACTGCAACACTCGAG-BHQ1	32	
LL62	MDB616-f	AGCTGGCGTAATAGCGAAGAGG	22	EU-JRC
	MDB694-r	TGCTAACGGGTGCATCGTCTA	21	
	TM019-P	HEX-CGCACCGATTATTATACTTTAGTCCACCT-BHQ1	31	
LL601	SHA040	TCTAGGATCCGAAGCAGATCGT	22	USDA GRAIN INSPECTION
	SHA041	GGAGGGCGGGAGTGT	16	
	TM098	Cy5-CCACCTCCAACAAATAAAAGCGCCTG-BHQ3	26	

2.1.2 ไพรเมอร์และprobe

ไพรเมอร์และprobe ที่ใช้สำหรับงานวิจัยนี้ อ้างอิงตามวิธีทดสอบมาตรฐาน งานวิจัยที่มีการเผยแพร่ และรายงานจากวิธีการทดสอบ (ISO21569:2005/FDAM1:2012 (E), Waiblinger et al. (2008), Bayer CropScience (2006), Made et al. 2006, 2008/289/EC, USDA GRAIN INSPECTION) โดยแบ่งชุดไพรเมอร์ probe ออกเป็น 2 ชุด โดยชุดที่ 1 ประกอบด้วยยีน CaMV35S promoter, NOS terminator และ PLD ติดฉลากสีฟลูออเรสเซนต์ (Fluorescence dry) ที่ probe เป็น FAM/BHQ1, Hex/BHQ1 และ Cy5/BHQ3 ตามลำดับเพื่อใช้สำหรับตรวจสอบคัดกรองข้าวดัดแปลงพันธุกรรม ชุดที่ 2 ประกอบด้วยยีน CryIAb/Ac, event specific LL62, event specific LL601 และ Bar ที่ ติดฉลากสีฟลูออเรสเซนต์ (Fluorescence dry) ที่ probe เป็น FAM/BHQ1,

Hex/BHQ1, Cy5/BHQ3 และ TxD/BHQ2 ตามลำดับ เพื่อสำหรับใช้ตรวจจำแนกสายพันธุ์ข้าวตัดแปลงพันธุกรรม ดังแสดงใน Table 2.1-1

2.1.3 ออกแบบการตรวจคัดกรองและจำแนกข้าวสาลีตัดแปลงพันธุกรรมด้วยวิธี Multiplex Real-time PCR

เนื่องจากข้าวตัดแปลงพันธุกรรมที่ได้จากการสืบค้นบนฐานข้อมูล GM approval database ของ ISAAA พบ 7 สายพันธุ์ แต่ที่สามารถจัดหาวัสดุอ้างอิงทดสอบได้มี 3 สายพันธุ์ ได้แก่ LL601 LL62 และ Bt63 โดยแต่ละสายพันธุ์มีองค์ประกอบของยีนแตกต่างกัน จึงทำการออกแบบชุดยืนที่ทำการตรวจคัดกรองในชุดที่ 1 ได้แก่ยีน CaMV35S promoter, NOS terminator และ PLD ซึ่งสามารถบ่งชี้ได้ว่าตัวอย่างข้าวที่ทดสอบเป็นข้าวตัดแปลงพันธุกรรมหรือไม่ และพอที่จะระบุความเป็นไปได้ของสายพันธุ์ สำหรับชุดยืนที่ 2 ประกอบด้วย Cry1Ab/Ac, event specific LL62, event specific LL601 และ Bar ซึ่งจะสามารถระบุสายพันธุ์ของข้าวตัดแปลงพันธุกรรมได้ว่าคือสายพันธุ์ใด ดังแสดงใน Table 2.1-2

Table 2.1-2 The structure of designed 2 sets of screening and detection of GM wheat and other GM contamination

GM-event	Genetic elements			Pattern of Detection
	P-35S	T-nos	PLD	
Bt 63 Rice	-	+	+	1
LL 601 Rice	+	+	+	2
LL 62 Rice	+	-	+	3
Non-GM Rice	-	-	+	4
Negative	-	-	-	5

GM-event	Specific gene				Pattern of Detection
	Cry1Ab/Ac	Bar	LL601	LL62	
Bt Shanyou 63	+	+	-	-	1
LL Rice 601	-	+	+	-	2
LL Rice 62	-	+	-	+	3
Non-GM	-	-	-	-	4
Negative	-	-	-	-	4

+ means detected and – means not-detected

2.1.4 การสกัดตีอีนเอ และทดสอบสารยับยั้งปฏิกิริยา

ข้าวและผลิตภัณฑ์ข้าวสาลีที่ผ่านการบดอย่างละเอียดแล้วจะถูกนำมาสกัดตีอีนเอด้วยวิธีการ Lysis buffer (Rogers and Bendich, 1985) ที่มีการประยุกต์ใช้ filter column เพื่อจับกับ resin ที่เกาะกับโมเลกุลตีอีนเอ นำตัวอย่างน้ำหนัก 0.2 กรัม เติม Lysis buffer (Eurofin) ปริมาตร 1 ไมโครลิตร จากนั้นเติม Proteinase K ความเข้มข้น 20 มิลลิกรัมต่อมิลลิลิตร ปริมาตร 10 ไมโครลิตร บ่มที่อุณหภูมิ 60 องศาเซลเซียส เป็นเวลา 1

ชั่วโมงกลับหลอดไปมาทุกๆ 15 นาที ปั่นตกรตะกอนที่ 12000 รอบต่อนาที เป็นเวลา 15 นาที ดูดส่วนไขสีส่องหลอดใหม่ ตกตะกอนโปรตีนและแยกสารไม่เลเกลให้ญี่อื่นออกໄไป โดยเติม Chloroform :Isoamyl alcohol (24:1) จำนวน 2 รอบ นำส่วนไขสามาเติม resin (Promega) และ ผ่านฟิลเตอร์ Wizard™ minicolumn (Promega) และ ล้างฟิลเตอร์ด้วยเอทานอล 70 เปอร์เซ็นต์ นำฟิลเตอร์คอลัมน์ประกบเข้ากับหลอด 1.5 มิลลิลิตร ปั่นตกรตะกอนที่ 12000 รอบต่อนาที เติมน้ำอุ่นปริมาตร 50 ไมโครลิตร ตรวจด้วยเครื่องสเปกโทรโฟโตเมตอร์

นำตัวอย่างดีเอ็นเอที่สกัดได้มารับความเข้มข้นเป็น 20 นาโนกรัมต่อไมโครลิตร ทำการเจือจางเป็นลำดับขั้นที่ 1:4 1:16 1:64 และ 1:256 จากนั้นนำมาตรวจวิเคราะห์ด้วย Real-time PCR เพื่อตรวจยืนยัน ACC-1 จำนวน 3 ชี้ นำค่า Cp (Crossing point) ที่ได้มารวบรวมแล้ว คำนวณค่าความสัมพันธ์เชิงเส้น บันทึกค่าความสัมพันธ์เชิงเส้น (R^2) ค่า slope ของสมการ และค่า ΔCt (extrapolated) = Extrapol Ct - Mean Ct (Charles et al., 2008)

2.1.5 สภาวะของปฏิกิริยา

ปรับความเข้มข้นของไพรเมอร์และเพروبในระดับต่างๆ ให้เหมาะสมในปฏิกิริยาแบบ Triplex และ Tetraplex Real-time PCR ทั้ง 2 ชุดของไพรเมอร์และเพروب โดยทดสอบเบรียบเทียบกับปฏิกิริยาแบบ Simplex Real-time PCR เพื่อให้ได้ค่า Cp ที่ไม่มีความแตกต่างกัน โดยปฏิกิริยารวมปริมาตร 20 ไมโครลิตร และสภาวะที่ใช้ในปฏิกิริยาลูกโซ่ เริ่มต้นด้วย อุณหภูมิ Initial Denaturation ที่ 95 องศาเซลเซียส เป็นเวลา 10 นาที อุณหภูมิ Denaturation ที่ 95 องศาเซลเซียส เป็นเวลา 15 วินาที อุณหภูมิ Annealing และ Extension ที่อุณหภูมิ 60 องศาเซลเซียส เวลา 1 นาที จำนวน 40 รอบ และลดอุณหภูมิลงที่ 4 องศาเซลเซียส (Waiblinger et al., 2008) ดังแสดงใน

Figure 2.1-1 และ Table 2.1-3

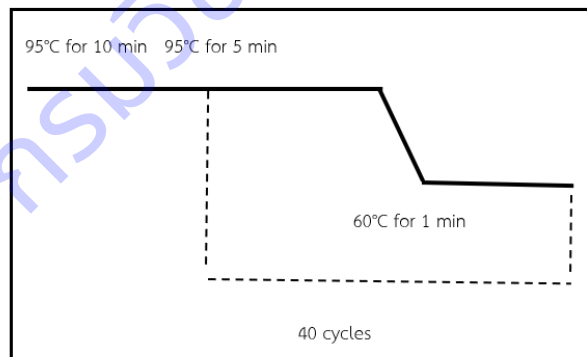


Figure 2.1-1 Condition of Multiplex Real-time PCR

Table 2.1-3 The mixture chemical use in Triplex and Tetraplex Real-time PCR

Reagent (First set)	Final concentration/reaction (μM)	Reagent (second set)	Final concentration/reaction (μM)
2xLightCycler Probe master mix	1x	2xLightCycler Probe master mix	1x
35S-F	0.1	T51F (Cry1A(b/c)-93F	0.1
35S-R	0.1	T51R (Cry1A(b/c)-93R	0.1
35S-P	0.1	T51P (Cry1A(b/c)-93P	0.1
NOS-F	1.0	MDB616-f	1.0
NOS-R	1.0	MDB694-r	1.0
NOS-P	0.2	TM019-P	0.2
KMV159	0.05	MDB498	0.1
KMV160	0.05	DPA143	0.1
TM099	0.025	TM099	0.1
DNA template (ng)	50-200	SHA040	0.05
Total reaction volume	20	SHA041	0.05
		TM098	0.025
		DNA template (ng)	50-200
		Total reaction volume	20

2.1.6 การทดสอบความจำเพาะของไพรเมอร์และโพรบ

นำไพรเมอร์และโพรบที่ออกแบบทั้ง 2 ชุด มาทดสอบความจำเพาะกับตัวอย่างพลาสมิด ดีเอ็นเอข้าว ดัดแปลงพันธุกรรม pGSE28 (Bt63 Rice) และ pGSE220 (LL601) และ ข้าวไม่ดัดแปลงพันธุกรรมที่มีการเติม (spike) pGSE28 (Bt63 Rice) และ pGSE220 (LL601) และจีโนมิกซ์ดีเอ็นเอของข้าวดัดแปลงพันธุกรรม LL62 ในปฏิกิริยาแบบ Simplex Real-time PCR ตัวอย่างละ 3 ช้ำ เปรียบเทียบผลที่ได้กับโครงสร้างองค์ประกอบยีนของตัวอย่างพืชนั้นๆ เพื่อหาค่า False negative rate และ False positive rate จากวิธีของ Broeder et al. (2014)

2.1.7 การทดสอบประสิทธิภาพการเกิดปฏิกิริยา Multiplex real-time PCR

นำตัวอย่างจีโนมิกซ์ดีเอ็นเอของข้าวดัดแปลงพันธุกรรม LL62 พลาสมิดดีเอ็นเอข้าวดัดแปลงพันธุกรรม pGSE28 (Bt63 Rice) และ pGSE220 (LL601) มาเจือจางเป็นลำดับขั้นที่ 1:4 1:16 1:64 และ 1:256 จากนั้น นำมาตรวจวิเคราะห์ด้วย Triplex Real-time PCR ของชุดยีนที่ 1 โดยใช้ตัวอย่างจีโนมิกซ์ดีเอ็นเอของข้าว ดัดแปลงพันธุกรรม LL62 เป็นดีเอ็นเอต้นแบบ สำหรับเพิ่มจำนวนยีน CaMV35S Promoter, NOS terminator และ PLD และ เพิ่มเติมใช้ตัวอย่างพลาสมิดดีเอ็นเอข้าวดัดแปลงพันธุกรรม pGSE28 (Bt63 Rice) และ pGSE220

(LL601) เป็นดีเอ็นเอตันแบบ นำมารวจวิเคราะห์ด้วย Tetraplex Real-time PCR ของชุดยืนที่ 2 สำหรับเพิ่มจำนวนยืน CryIAb/Ac, event specific LL62, event specific LL601 และ Bar นำผลของค่า Cp ที่ได้ในแต่ละยืนมาสร้างสมการส์เรนต์ร์ความเข้มข้นมาตรฐานและคำนวนหาค่า Linearity (R^2) และค่า Slope และคำไปใช้คำนวนหา ค่า PCR efficiency จากสูตร $e = 10^{-1/\text{slope}}$ ตามวิธีของ Broeder et al. (2014)

2.1.8 การทดสอบความเที่ยง (precision) และความแม่นยำ (accuracy) ความสามารถในการทวนซ้ำ (repeatability) ปฏิกิริยา Multiplex real-time PCR ใน การตรวจวิเคราะห์ข้าวตัดแปลงพันธุกรรม LL601 LL62 และ Bt63 ด้วย 2 ชุดไพรเมอร์และprobe

ทำการทดสอบความเที่ยงและความแม่นของการตรวจวิเคราะห์ยืนชุดที่ 1 CaMV35S Promoter, NOS terminator และ PLD และชุดยืนที่ 2 CryIAb/Ac, event specific LL62, event specific LL601 และ Bar ด้วย จีโนมิกซ์ดีเอ็นเอของข้าวตัดแปลงพันธุกรรม LL62 พลasmidดีเอ็นเอข้าวตัดแปลงพันธุกรรม pGSE28 (Bt63 Rice) และ pGSE220 (LL601) ในปฏิกิริยาTriplex และ Tetraplex real-time PCR ตามลำดับ ตัวอย่างยืนเป้าหมาย ละ 10 ชั้้า จำนวน 3 รอบการทดสอบเพื่อหาความสามารถในการทวนซ้ำ (repeatability) เปรียบเทียบค่าที่ได้จาก การทำซ้ำแต่ละรอบ นำค่าเฉลี่ยมาคำนวนร้อยละส่วนเบี่ยงเบนมาตรฐานสัมพath์ของแต่ละยืน (%RSD) โดย คำนวนจากสูตร $\%RSD = (\text{ส่วนเบี่ยงเบนมาตรฐาน}/\text{ค่าเฉลี่ย}) \times 100$ โดยค่าที่ยอมรับได้คือ %RSD ที่น้อยกว่า 25% (Broeders et al. 2014)

2.1.9 ค่าขีดจำกัดของการตรวจวิเคราะห์

ทดสอบค่าขีดจำกัดของการตรวจวิเคราะห์โดยนำตัวอย่าง จีโนมิกซ์ดีเอ็นเอของข้าวตัดแปลงพันธุกรรม LL62 พลasmidดีเอ็นเอข้าวตัดแปลงพันธุกรรม pGSE28 (Bt63 Rice) และ pGSE220 (LL601) มาเจอจานในระดับต่างๆ 10, 5 และ 1 copies ทำการตรวจวิเคราะห์ยืน ชุดที่ 1 CaMV35S Promoter, NOS terminator และ PLD และชุดยืนที่ 2 CryIAb/Ac, event specific LL62, event specific LL601 และ Bar ตัวอย่างละ 10 ชั้้า เปรียบเทียบอัตราส่วนระหว่าง Detect : Not-detect โดยค่าที่ยอมรับได้ต้องมากกว่า 90% ความเข้มข้นต่ำสุดที่มีการตรวจสอบได้มากกว่า 90% ถือเป็นค่า LOD (Limit of detection) ของชุดยืนนั้นๆ (Broeders et al. 2014)

2.1.10 การขยายผลการตรวจวิเคราะห์ตัวอย่างทดสอบด้วยวิธี Multiplex Real-time PCR

ขยายผลทดสอบชุดไพรเมอร์probeทั้ง 2 ชุดกับตัวอย่างข้าวที่มีการส่งตรวจกับห้องปฏิบัติการกลุ่มวิจัย พัฒนาการตรวจสอบพืชและจุลินทรีย์ตัดแปลงพันธุกรรมด้วยวิธี Multiplex Real-time PCR ซึ่งผ่านการรับรองจาก มาตรฐานสากล ISO/IEC 17025:2017 จำนวน 50 ตัวอย่าง นอกจากนั้นยังทดสอบ Blind test กับตัวอย่างข้าวที่ มีการ spike พลasmidดีเอ็นเอข้าวตัดแปลงพันธุกรรม pGSE28 (Bt63 Rice) และ pGSE220 (LL601) เพื่อยืนยัน ประสิทธิภาพและความถูกต้องของผลการทดสอบ

2.1.11 การวิเคราะห์ข้อมูล

วิเคราะห์ข้อมูลทางสถิติของกลุ่มตัวอย่างทดสอบโดยวิเคราะห์ความแปรปรวน (Analysis of variance) และเปรียบเทียบความแตกต่างของค่าเฉลี่ยด้วยวิธี Duncan's multiple range test (DMRT) ที่ระดับความเชื่อมั่น 95% โดยใช้โปรแกรม IBM SPSS Statistics 23.0

2.1.12 เวลาและสถานที่

ระยะเวลาดำเนินการวิจัย 1 ตุลาคม 2563 – 31 ธันวาคม 2564 ดำเนินการวิจัย ณ ห้องปฏิบัติการกลุ่มวิจัยพัฒนาการตรวจสอบพืชและจุลินทรีด้ดแดร์พันธุกรรม สำนักวิจัยพัฒนาเทคโนโลยีชีวภาพ กรมวิชาการเกษตร กระทรวงเกษตรและสหกรณ์

กนบวชการเกษตร

การทดลองที่ 2 พัฒนาวิธี Multiplex Real-time PCR เพื่อตรวจเคราะห์ข้าวสาลีดัดแปลงพันธุกรรม

2.2.1 วัสดุอ้างอิง

วัสดุอ้างอิงสำหรับการทดลองนี้ คือ พลasmidดีเอ็นเอ pUC57-MON71800 ซึ่งภายในประกอบด้วยชิ้นยืนที่ได้จากการสังเคราะห์ยืน CaMV35S promoter, MON71800 event specific element, ACC-1 และNOS terminator ตามลำดับ ดังแสดงใน Figure 2.2-1 โดยมีความยาว 3650 bp มีการตรวจสอบความถูกต้องของลำดับเบสด้วยเครื่อง ABI PRISM 3700 DNA analyzer (PerkinElmer, Boston, MA, USA)

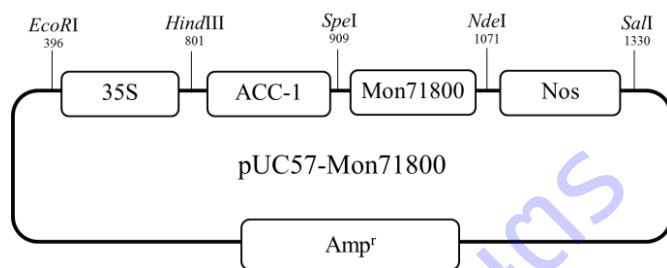


Figure 2.2-1 The schematic diagrams of the designed in-house pUC57-MON71800 which consist of CaMV35S promoter, ACC-1, MON71800 event specific element, NOS terminator, ampicillin resistant gene and restriction recognize region between each gene.

โดยภายพลาสมิดระหว่างชิ้นยืนแต่ละชิ้นจะมีการใส่จุดตัดเอนไซม์จำเพาะ (restriction enzyme site) เพื่อใช้สำหรับกรณีต้องการตัดให้พลาสมิดเป็นดีเอ็นเอสายตรง นอกจากนั้นมีการระบุตำแหน่งที่ไพรเมอร์และโพรบที่ออกแบบไว้เข้าจับในปฏิกิริยาลูกโซ่เพื่อเพิ่มจำนวนยืนเป้าหมาย ดังแสดงใน Figure 2.2-2



Figure 2.2-2 The fragment sequence of designed insertion genes. The red letter indicates position of forward primer, reverse primer and probe of each gene. The green letter indicates position of restriction enzyme sites.

2.2.2 ไพรเมอร์และโพรบ

ไพรเมอร์และโพรบที่ใช้สำหรับงานวิจัยนี้อ้างอิงตามวิธีทดสอบมาตรฐาน งานวิจัยที่มีการเผยแพร่ และรายงานจากวิธีการทดสอบ Kim et al., 2015, Pauli et al., 2001 และ JRC-EURL-GMFF- ENGL (2011, 2016 and 2018) โดยแบ่งออกเป็น 2 ชุด โดยชุดที่ 1 ประกอบด้วยไพรเมอร์และโพรบของยีนเป้าหมาย *CaMV35S* promoter, *NOS* terminator, *MON71800* และ *ACC-1* ที่ติดฉลากสีฟลูออเรสเซนต์ (Fluorescence dry) ที่โพรบเป็น FAM/BHQ1, Hex/BHQ1, Cy5/BHQ3 และ TxRd/BHQ2 ตามลำดับ เพื่อใช้ในการตรวจคัดกรองและจำแนกข้าวสาลีดัดแปลงพันธุกรรม *MON71800* และ ชุดที่ 2 ประกอบด้วยไพรเมอร์และโพรบของยีนเป้าหมาย *HMG*, *Lectin*, *MON71200* และ *CruA* ติดฉลากสีฟลูออเรสเซนต์ที่โพรบเป็น FAM/BHQ1, Hex/BHQ1, Cy5/BHQ3 และ TxRd/BHQ2 ตามลำดับเช่นกัน เพื่อใช้สำหรับการตรวจเคราะห์การบ่งชี้การปะปนของพืชดัดแปลงพันธุกรรมอื่นและจำแนกข้าวสาลีดัดแปลงพันธุกรรม *MON71200* ดังที่แสดงใน Table 2.2-1

Table 2.2-1 The sequences of oligonucleotide of primers and probes for detection of *CaMV35S* promoter, *NOS* terminator, *MON71800* event specific element and *ACC-1* genes for first set and *HMG*, *Lectin*, *MON71200* event specific and *CruA* for second set

Target	Name	Sequence (5'-3')	Reference
<i>CaMV35S</i> promoter	35S-F	GCCTCTGCCGACAGTGGT	JRC-EURL GMFF-
	35S-R	AAGACGTGGTTGGAACGTCTTC	ENGL. 2011
	35S-P	FAM-CAAAGATGGACCCCCACCCACG-BHQ1	QT-ELE-00-004
<i>NOS</i> terminator	NOS-F	CATGTAATGCATGACGTTATTATG	JRC-EURL GMFF-
	NOS-R	TTGTTTCTATCGCGTATTAAATGT	ENGL. 2011
	NOS-P	HEX-ATGGGTTTTATGATTAGAGTCCCGCAA-BHQ1	QL-ELE-00-011
<i>MON71800</i>	MON71800-F	CTTCTCTCTTGAATCTCAATAC	
	MON71800-R	CCATTGGACGTGAATGTAGACAC	Kim et al., 2015
	MON71800-P	TxRd-CCCTCTTAATCGGAAATC-BHQ2	
<i>ACC-1</i>	ACC1-F	GCTTCGCTGTCTAACGGTTGT	
	ACC1-R	CTGCTGCCATTCCATTGTTTC	Kim et al., 2015
	ACC1-P	Cy5-CGGCAAAACACCAATTACACA-BHQ3	
<i>HMG</i>	HMG-F	TTGGACTAGAAATCTCGTGTGA	JRC-EURL-GMFF-
	HMG-R	GCTACATAGGGAGCCTTGTCTT	ENGL (2011)
	HMG-P	FAM- CAATCCACACAAACGCACCGCGTA -BHQ1	
<i>Lectin</i>	Lectin-F	TCCACCCCCATCCACATTT	
	Lectin-R	GGCATAGAAGGTGAAGTTGAAGGGA	Pauli et al., 2001
	Lectin-P	HEX- AACCGGTAGCGTTGCCAGCTTCG -BHQ1	
<i>MON71200</i>	MON71200-F	CACGACGGTCATCGAGC	JRC-EURL-GMFF-
	MON71200-R	CCGTTCGTCATTGACTGTT	ENGL (2018)
	MON71200-P	TxRd-CATACGGAAAAGATGCTGCAGGAAATATATTGAAC-BHQ2	
<i>CruA</i>	CruA-F	GGCCAGGGTTCCGTGAT	JRC-EURL-GMFF-
	CruA-R	CCGTCGTTGTAGAACCATTTGG	
	CruA-P	Cy5-AGTCCTTATGTGCTCCACTTCTGGTGCA-BHQ3	ENGL (2016)

2.2.3 ออกแบบการตรวจคัดกรองและจำแนกข้าวสาลีดัดแปลงพันธุกรรมด้วยวิธี Tetraplex Real-time PCR

เนื่องจากข้าวสาลีดัดแปลงพันธุกรรมที่ได้จากการสืบคันบนฐานข้อมูล GM approval database ของ ISAAA พบเพียง 1 event คือ MON71800 โดยมีองค์ประกอบยืน *CaMV35S* promoter, *NOS* terminator และ event specific *MON71800* แต่จากการสืบคันรายงานของ EU-JRC พบรายงานการตรวจวิเคราะห์ข้าวสาลี *MON71200* อีกสายพันธุ์หนึ่ง นอกจากนั้นยังพบว่ามีการประเมินของพีซีโกลคัมท์ชนิดอื่นระหว่างการขนส่งได้แก่ ข้าวโพด ถั่วเหลือง และคาดโนลา ดังนั้นจึงมีการออกแบบการทดลองออกเป็น 2 ชุด โดยชุดที่ 1 เพื่อใช้ตรวจคัดกรองข้าวสาลีดัดแปลงพันธุกรรมและจำแนกสายพันธุ์ *MON71800* และชุดที่ 2 เพื่อใช้สำหรับบ่งชี้การประเมินพีซีดัดแปลงพันธุกรรมอื่นและจำแนกสายพันธุ์ *MON71200* ดังที่แสดงใน Table 2.2-2

Table 2.2-2 The structure of designed 2 sets of screening and detection of GM wheat and other GM contamination

GM-event	Genetic elements first set				Result	Process
	35S	NOS	MON71800	ACC-1		
MON71800	+	+	+	+	+,+,-,+	GM wheat
Other GM	+	+	-	+	+,+,-,+	Second set test
Other GM	+	-	-	+	+,-,-,+	Second set test
Other GM	-	+	-	+	-,+,-,+	Second set test
Negative	-	-	-	+	-,-,-,+	Non-GM wheat

GM-event	Genetic elements second set				Result	Process
	HMG	Lectin	CruA	MON71200		
Contamination	+	-	-	-	+,-,-,-	GM corn
Contamination	-	+	-	-	-,+,-,-	GM soybean
Contamination	-	-	+	-	-,-,+,-	GM canola
MON71200	-	-	-	+	-,-,-,+	GM wheat
Negative	-	-	-	-	-,-,-,-	Other GM

+ means detected and – means not-detected

2.2.4 การสกัดดีเอ็นเอ และทดสอบสารยับยั้งปฏิกิริยา

ข้าวสาลีและผลิตภัณฑ์ข้าวสาลีที่ผ่านการบดอย่างละเอียดแล้วจะถูกนำมาสกัดดีเอ็นเอด้วยวิธีการ Lysis buffer (Rogers and Bendich, 1985) ที่มีการประยุกต์ใช้ filter column เพื่อจับกับ resin ที่เกาะกับโมเลกุลดีเอ็นเอ นำตัวอย่างน้ำหนัก 0.2 กรัม เติม Lysis buffer (Eurofin) ปริมาตร 1 ไมโครลิตร จากนั้นเติม Proteinase K ความเข้มข้น 20 มิลลิกรัมต่อมิลลิลิตร ปริมาตร 10 ไมโครลิตร บ่มที่อุณหภูมิ 60 องศาเซลเซียส เป็นเวลา 1 ชั่วโมงกลับหลังไปมาทุกๆ 15 นาที ปั่นตกรตะกอนที่ 12000 รอบต่อนาที เป็นเวลา 15 นาที คุณส่วนใส่สไลด์ใหม่ ตกตะกอนโปรตีนและแยกสารโมเลกุลใหญ่อื่นออกไป โดยเติม Chloroform :Isoamyl alcohol (24:1) จำนวน 2 รอบ นำส่วนใส่มาเติม resin (Promega) และ ผ่านฟิลเตอร์ Wizard™ minicolumn (Promega) และล้างฟิลเตอร์ด้วยเอทานอล 70 เปอร์เซ็นต์ นำฟิลเตอร์คลุมน้ำประตอนเข้ากับหลอด 1.5 มิลลิลิตร ปั่นตกรตะกอนที่ 12000 รอบต่อนาที เติมน้ำอุ่นปริมาตร 50 ไมโครลิตร ตรวจวัดปริมาณและคุณภาพของดีเอ็นเอด้วยเครื่องสเปกโตรโฟโตมิเตอร์

นำตัวอย่างดีเอ็นเอที่สกัดได้มาปรับความเข้มข้นเป็น 20 นาโนกรัมต่อมิโครลิตร ทำการเจือจางเป็นลำดับขั้นที่ 1:4 1:16 1:64 และ 1:256 จากนั้นนำมาตรวจนิวเคลียร์ด้วย Real-time PCR เพื่อตรวจยืนยัน ACC-1 จำนวน 3 ชั้น นำค่า Cp (Crossing point) ที่ได้มาวิเคราะห์หาสมการเชิงเส้น บันทึกค่าความสัมพันธ์เชิงเส้น (R^2) ค่า slope ของสมการ และค่า ΔCt (extrapolated) = Extrapol Ct - Mean Ct (Charles et al., 2008)

2.2.5 สภาวะของปฏิกิริยา

ปรับความเข้มข้นของไพรเมอร์และโพรบในระดับต่างๆ ให้เหมาะสมในปฏิกิริยาแบบ Tetraplex Real-time PCR ทั้ง 2 ชุดของไพรเมอร์และโพรบ โดยทดสอบเปรียบเทียบกับปฏิกิริยาแบบ Simplex Real-time PCR

เพื่อให้ได้ค่า Cp ที่ไม่มีความแตกต่างกัน โดยปฏิกริยาร่วมมือปริมาตร 20 ไมโครลิตร และสภาพที่ใช้ในปฏิกริยา ลูกโซ่ เริ่มต้นด้วย อุณหภูมิ Initial Denaturation ที่ 95 องศาเซลเซียส เป็นเวลา 10 นาที อุณหภูมิ Denaturation ที่ 95 องศาเซลเซียส เป็นเวลา 15 วินาที อุณหภูมิ Annealing และ Extension ที่อุณหภูมิ 60 องศาเซลเซียส เวลา 1 นาที จำนวน 40 รอบ และลดอุณหภูมิลงที่ 4 องศาเซลเซียส (Waiblinger et al., 2008)

Table 2.2-3 Reagents for detection of *CaMV35S* promoter, *NOS* terminator, *MON71800* event specific element and *ACC-1* for first set of primers and probes and *HMG*, *Lectin*, *MON71200* event specific and *CruA* for second set of primers and probes by Real-Time PCR (Simplex and Tetraplex)

Reagent	Final concentration/reaction (μM)				
	Simplex				Tetraplex
	<i>CaMV35S</i>	<i>NOS</i> terminator	<i>MON71800</i>	<i>ACC-1</i>	
2xLightCycler Probe master	1x	1x	1x	1x	1x
35S-F / HMG-F	0.5	-	-	-	0.1
35S-R / HMG-R	0.5	-	-	-	0.1
35S-P / HMG-P	0.5	-	-	-	0.1
NOS-F / Lectin-F	-	0.5	-	-	1.0
NOS-R / Lectin-R	-	0.5	-	-	1.0
NOS-P / Lectin-P	-	0.5	-	-	0.2
MON71800-F / MON71200-F	-	-	0.5	-	0.1
MON71800-R / MON71200-R	-	-	0.5	-	0.1
MON71800-P / MON71200-P	-	-	0.5	-	0.1
ACC1-F / CruA-F	-	-	-	0.5	0.05
ACC1-R / CruA-R	-	-	-	0.5	0.05
ACC1-P / CruA-P	-	-	-	0.5	0.025
DNA template (ng)	50-100	50-100	50-100	50-100	50-200
Total reaction volume	20	20	20	20	20

2.2.6 การทดสอบความจำเพาะของไพรเมอร์และprobe

นำไพรเมอร์และprobeที่ออกแบบทั้ง 2 ชุด มาทดสอบความจำเพาะกับตัวอย่างพืชไม่ตัดแปลงพันธุกรรมได้แก่ ถั่วเหลือง ข้าวโพด คานโอล่า และพืชตัดแปลงพันธุกรรมสายพันธุ์ต่างๆ ได้แก่ ข้าวโพด NK603 MON810 MIR604 ถั่วเหลือง GTS4032 A2704-12 คานโอล่า Rf3 พลาสมิดข้าวสาลี pUC57-MON71800 และพลาสมิด MON71200 (Wako) ในปฏิกริยาแบบ Simplex Real-time PCR ตัวอย่างละ 3 ช้ำ เปรียบเทียบผลที่ได้กับโครงสร้างองค์ประกอบยืนของตัวอย่างพืชนั้นๆ เพื่อหาค่า False negative rate และ False positive rate จากวิธีของ Broeder et al. (2014) นอกจากนั้นยังเปรียบเทียบความแตกต่างระหว่างค่า Cp ของการตรวจพยein ในชุดที่ 1 ได้แก่ *CaMV35S* Promoter, *NOS* terminator, *ACC-1* และ *MON71800* ชุดที่ 2 ได้แก่ *Lectin*, *HMG*, *CruA* และ *MON71200* ในปฏิกริยาแบบ Simplex Real-time PCR และ Tetraplex Real-time PCR ตัวอย่างละ 3 ช้ำ นำค่า Cp ที่ได้มาวิเคราะห์ทางสถิติด้วย Pair Sample T-test

2.2.7 การทดสอบประสิทธิภาพการเกิดปฏิกิริยา Tetraplex real-time PCR

นำตัวอย่างพลาสมิด PUC57-MON71800 พีซไม้ดัดแปลงพันธุกรรมของ ข้าวโพด ถั่วเหลือง ข้าวสาลี และพลาสมิด MON71200 มาเจือจางให้ได้ความเข้มข้น 20 นาโนกรัมต่อไมโครลิตร จากนั้นเจือจางเป็นลำดับขั้นที่ 1:4 1:16 1:64 และ 1:256 จากนั้นนำมาตรวจวิเคราะห์ด้วย Tetraplex Real-time PCR ของชุดยืนที่ 1 โดยใช้ตัวอย่างพลาสมิด pUC57-MON71800 เป็นตีอีนเอตันแบบ สำหรับเพิ่มจำนวนยืน CaMV35S Promoter, NOS terminator, ACC-1 และ MON71800 และใช้ตัวอย่างพีซไม้ดัดแปลงพันธุกรรมของ ข้าวโพด ถั่วเหลือง คานาโนลา และพลาสมิด MON71200 เป็นตีอีนเอตันแบบ สำหรับเพิ่มจำนวนยืน Lectin, HMG, CruA และ MON71200 นำผลของค่า Cp ที่ได้ในแต่ละยืนมาสร้างสมการเส้นตรงความเข้มข้นมาตรฐานและคำนวนหาค่า Linearity (R^2) และค่า Slope และคำไปใช้คำนวนหา ค่า PCR efficiency จากสูตร $e = 10^{-1/\text{slope}}$ ตามวิธีของ Broeder et al. (2014)

2.2.8 การทดสอบความเที่ยง (precision) และความแม่นยำ (accuracy) ความสามารถในการทวนซ้ำ (repeatability) ปฏิกิริยา Tetraplex real-time PCR ในการตรวจวิเคราะห์ พลาสมิด pUC57-MON71800 ข้าวโพด ถั่วเหลือง คานาโนลา และพลาสมิด MON71200 ด้วย 2 ชุดไพรเมอร์และโพรบ

ทำการทดสอบความเที่ยงและความแม่นยำของการตรวจวิเคราะห์ยืนที่ 1 CaMV35S Promoter, NOS terminator, ACC-1 และ MON71800 ด้วยตัวอย่าง พลาสมิด pUC57-MON71800 และชุดยืนที่ 2 Lectin, HMG, CruA และ MON71200 ด้วยข้าวโพด ถั่วเหลือง คานาโนลา และพลาสมิด MON71200 ในปฏิกิริยา Tetraplex real-time PCR ที่ความเข้มข้น 20 นาโนกรัมต่อไมโครลิตร ตัวอย่างละ 10 ซ้ำ จำนวน 3 รอบการทดสอบเพื่อหาความสามารถในการทวนซ้ำ (repeatability) เปรียบเทียบค่าที่ได้จากการทำซ้ำแต่ละรอบ นำค่าเฉลี่ยมาคำนวนร้อยละส่วนเบี่ยงเบนมาตรฐานสัมพห์ของแต่ละยืน (%RSD) โดยคำนวนจากสูตร $\%RSD = (\frac{\text{ส่วนเบี่ยงเบนมาตรฐาน}}{\text{ค่าเฉลี่ย}} \times 100)$ โดยค่าที่ยอมรับได้ค่า %RSD ที่น้อยกว่า 25% (Broeders et al. 2014)

2.2.9 ค่าขีดจำกัดของการตรวจวิเคราะห์

ทดสอบค่าขีดจำกัดของการตรวจวิเคราะห์โดยนำตัวอย่าง พลาสมิด pUC57-MON71800 มาเจือจางในระดับต่างๆ 100, 10, 1 และ 0.1 pg ทำการตรวจวิเคราะห์ยืน ชุดที่ 1 CaMV35S Promoter, NOS terminator, ACC-1 และ MON71800 และตัวอย่าง ข้าวโพด ถั่วเหลือง คานาโนลา และพลาสมิด MON71200 ที่ %ปะปน 1, 0.1, 0.05 และ 0.01% ทำการตรวจวิเคราะห์ยืน ชุดยืนที่ 2 Lectin, HMG, CruA และ MON71200 ตัวอย่างละ 10 ซ้ำ เปรียบอัตราส่วนระหว่าง Detect : Not-detect โดยค่าที่ยอมรับได้ต้องมากกว่า 90% ความเข้มข้นต่ำสุดที่มีการตรวจสอบได้มากกว่า 90% ถือเป็นค่า LOD (Limit of detection) ของชุดยืนนั้นๆ (Broeders et al. 2014)

2.2.10 การขยายผลการตรวจวิเคราะห์ตัวอย่างทดสอบด้วยวิธี Tetraplex Real-time PCR

ขยายผลทดสอบชุดไพรเมอร์โพรบทั้ง 2 ชุดกับตัวอย่างข้าวสาลีที่มีการส่งตรวจกับห้องปฏิบัติการกลุ่มวิจัย พัฒนาการตรวจสอบพีซและจุลินทรีย์ด้วยวิธี Triplex Real-time PCR ซึ่งผ่านการรับรองจาก มาตรฐานสากล ISO/IEC 17025:2017 จำนวน 30 ตัวอย่าง นอกจากนั้นยังทดสอบ Blind test กับตัวอย่างข้าวสาลีที่มีการ spike พีซดัดแปลงพันธุกรรมชนิดต่างๆ ได้แก่ ข้าวโพดดัดแปลงพันธุกรรม NK603 MON810 MIR604

ถัวเฉลืองดัดแปลงพันธุกรรม GTS4032 A2704-12 และค่าโนโนลาดัดแปลงพันธุกรรม Rf3 เพื่อยืนยันประสิทธิภาพ และความถูกต้องของผลการทดสอบ

2.2.11 การวิเคราะห์ข้อมูล

การทดสอบความจำเพาะเปรียบเทียบระหว่าง Simplex และ Tetraplex Real-time PCR ใช้ Pair Sample T-test ($P < 0.05$)

2.2.12 เวลาและสถานที่

ระยะเวลาดำเนินการวิจัย 1 ตุลาคม 2563 – 31 ธันวาคม 2564 ดำเนินการวิจัย ณ ห้องปฏิบัติการกลุ่มวิจัยพัฒนาการตรวจสอบพืชและจุลินทรีย์ดัดแปลงพันธุกรรม สำนักวิจัยพัฒนาเทคโนโลยีชีวภาพ กรมวิชาการเกษตร กระทรวงเกษตรและสหกรณ์

การทดลองที่ 3 พัฒนาวิธี Multiplex real-time PCR ในการตรวจจำแนกยืนถ้วนเหลืองดัดแปลงพันธุกรรม events A2704-12 Mon87701 Mon87705 Mon87769 Mon89788 และ GTS 40-3-2

2.3.1 วัสดุอ้างอิงรับรอง

วัสดุอ้างอิงรับรอง (Certified reference material) ที่ใช้สำหรับการทดลองนี้ ประกอบด้วย วัสดุ อ้างอิงรับรองของถัวเหลืองดัดแปลงพันธุกรรมชนิดผงสายพันธุ์ Mon87769, Mon87705, Mon89788 และ Mon87701 ที่ระดับการปะปน 100% และสายพันธุ์ GTS 40-3-2 ที่ระดับการปะปน 10, 1, 0.1 และ < 0.009% (blank) วัสดุอ้างอิงรับรองของถัวเหลืองดัดแปลงพันธุกรรมชนิดเดียวกันอีกตัวหนึ่งที่สายพันธุ์ A2704-12 ที่ระดับการปะปน 100% และวัสดุอ้างอิงข้าวโพดดัดแปลงพันธุกรรมชนิดผงสายพันธุ์ NK-603 ที่ระดับการปะปน 5%

2.3.2 ไพรเมอร์และprobe

ไพรเมอร์และprobeที่ใช้สำหรับงานวิจัยนี้อ้างอิงตามวิธีทดสอบมาตรฐานของ JRC Compendium of Reference Methods for GMO Analysis และ EU database of reference methods ดังแสดงใน Table 2.3-1 โดยเป็นลำดับนิวคลีโอไทด์ของไพรเมอร์และprobeที่จำเพาะต่อการตรวจถัวเหลืองดัดแปลงพันธุกรรมจำนวน 7 ยีน คือ ยีนคั้นกรอง (Element-specific gene) CaMV35S promoter, Nos terminator, Cy1Ac, rbcS E9 terminator และ Lectin ซึ่งเป็นยีนอ้างอิงของถัวเหลือง และยีนจำเพาะ (Event-specific gene) event Mon87705 และ event Mon89788 ทั้งนี้ได้มีการปรับปรุงฉลากสี (Fluorescence dry) ที่ติดprobeให้มีความจำเพาะที่แตกต่างกันจำนวน 4 สี (FAM/BHQ1, Hex/BHQ1, Cy5/BHQ3 และ TxRd/BHQ2) เพื่อให้สามารถวิเคราะห์ปฏิกิริยา Tetraplex Real-time PCR ในการตรวจจำแนกยืนถ้วนเหลืองดัดแปลงพันธุกรรมได้อย่างมีประสิทธิภาพ

2.3.3 ออกแบบการตรวจยืนถ้วนเหลืองดัดแปลงพันธุกรรมด้วยวิธี Tetraplex Real-time PCR

พัฒนาวิธีการตรวจจำแนกยืนถ้วนเหลืองดัดแปลงพันธุกรรม 6 สายพันธุ์ ด้วยปฏิกิริยา Tetraplex Real-time PCR จำนวน 2 ชุดการทดลอง และการออกแบบผลวิเคราะห์ของถัวเหลืองพันธุกรรมดังแสดงใน Table 2.3-2 โดยชุดการทดลอง A เป็นการตรวจยืนคั้นกรองเพื่อจำแนกถัวเหลืองดัดแปลงพันธุกรรมสายพันธุ์ Mon87701, A2704-12 และ GTS 40-3-2 หากผลการทดสอบไม่พบยีนดัดแปลงพันธุกรรมพบเพียงยีน Lectin ซึ่งเป็นยีนอ้างอิงของถัวเหลือง ให้ทำการทดสอบชุด B ต่อ ซึ่งเป็นการตรวจยืนคั้นกรองร่วมกับยีนจำเพาะเพื่อจำแนกถัวเหลืองดัดแปลงพันธุกรรมสายพันธุ์ Mon87769, Mon87705 และ Mon89788 หากผลการทดสอบไม่พบยีนดัดแปลงพันธุกรรมพบเพียงยีน Lectin ทั้งชุด การทดสอบ A และ B แสดงว่าตัวอย่างที่ทดสอบเป็นถัวเหลืองไม่ได้ดัดแปลงพันธุกรรม (Non-GM)

Table 2.3-1 Oligonucleotide sequences of primer and probe for detection 7 genes of genetically modified soybean

Target gene	Primer/ Probe	Sequences (5'-3')	Reference
CaMV35S promoter	35S-F	GCCTCTGCCGACAGTGGT	Waiblinger et al., 2008
	35S-R	AAGACGTGGTTGGAACGTCTTC	

	35S-P	FAM-CAAAGATGGACCCCCACCCACG-BHQ1	
Nos terminator	Nos -F Nos -R Nos -P	CATGTAATGCATGACGTTATTTATG TTGTTTCTATCGCGTATTAAATGT HEX- ATGGGTTTATGATTAGACTCCGCAA -BHQ1	Waiblinger et al., 2008
Cy1Ac	Cy1Ac-F Cy1Ac-R Cy1Ac-P	GAGGAAATGCGTATTCAATTCAAC TTCTGGACTGCGAACAAATGG TxRd-ACATGAACAGGCCCTGACCACAGC-BHQ2	Grohmann et al., 2015
rbcS E9 terminator	T E9-F T E9-R T E9-P	TTTTTATTCGGTTTCGCTATCG TGAGAATGAACAAAAGGACCATATCA HEX-TCATTAACCTTCTCCATCCATTTCACAGT-BHQ1	Debode et al., 2016
Specific event	87705-F 87705-R	TTCCCGGACATGAAGCCATTAC ACAACGGTGCCTGGCCCAAAG	Savini et al., 2012
Mon87705	87705-P	TxRd-AAGAGACTCAGGGTGTGTTACTGCGG-BHQ2	
Specific event	89788-F 89788-R	TCCCGCTCTAGCGCTTCAAT TCGAGCAGGACCTGCAGAA	Charles Delobel et al., 2013
Mon89788	89788-P	FAM-CTGAAGGCGGGAAACGACAATCTG-TAMRA	
Lectin	Le1-F Le1-R Le1-P	TCCACCCCCATCCACATT GGCATAGAAGGTGAAGTTGAAGGA Cy5- AACCGTAGCGTTGCCAGCTTCG-BHQ3	Pauli et al., 2001

2.3.4 การสกัดดีเอ็นเอ และสภาวะปฏิกิริยา

ทำการสกัดดีเอ็นเอจากตัวอย่างวัสดุอ้างอิงถ้วนเหลืองด้วยดัดแปลงพันธุกรรม วัสดุอ้างอิงถ้วนเหลืองไม่ดัดแปลงพันธุกรรม วัสดุอ้างอิงข้าวโพดดัดแปลงพันธุกรรม และตัวอย่างทดสอบต่าง ๆ โดยวิธี Lysis buffer (Modified from Rogers and Bendich, 1985) ดีเอ็นเอที่สกัดได้จะถูกละเอียดด้วยน้ำกลั่นที่ผ่านการนึ่งazole ปริมาตร 50 μl จากนั้นทำการวัดความเข้มข้นและความบริสุทธิ์ของดีเอ็นเอด้วยเครื่องสเปกโฟโตมิเตอร์ที่ค่าการดูดกลืนแสง 260/280 nm

ทำปฏิกิริยา Tetraplex Real-time PCR โดยใช้เครื่องเพิ่มปริมาณสารพันธุกรรมในสภาพจริง LC480 cycler (Roche Diagnostics, Germany) โดยต่อหนึ่งปฏิกิริยาเมียปริมาตรสุดท้ายเท่ากับ 20 μl เริ่มจากขั้นตอน Initial Denaturation ที่อุณหภูมิ 95 °C เป็นเวลา 10 นาที ต่อด้วยขั้นตอน Denaturation ที่อุณหภูมิ 95 °C เป็นเวลา 15 วินาที จำนวน 45 รอบ จากนั้นไปที่ขั้นตอน Annealing และ Extension ที่อุณหภูมิ 60 °C เป็นเวลา 1 นาที จำนวน 45 รอบ และสุดท้าย คือ ขั้นตอนทำให้เย็นที่อุณหภูมิ 4 °C จำนวน 1 รอบ (Waiblinger et al., 2008) โดยสารปฏิกิริยา ความเข้มข้นของไพรเมอร์และprobe ที่ความเข้มข้น 1 เท่า (1X) ของปฏิกิริยา Simplex และ tetraplex Real-time PCR ดังแสดงใน Table 2.3-3 และ Table 2.3-4

Table 2.3-2 The detection of soybean gene structure by Tetraplex Real-time for experiment A and experiment B

GM Event	Condition of experiment A				Condition of experiment B			
	Element-specific gene				Element-specific and Event-specific gene			
	CaMV35S	Nos	Cy1Ac	Lectin	rbcS E9	Mon87705	Mon89788	Lectin

Mon87701	-	-	+	+	-	-	-	-	+
A2704-12	+	-	-	+	-	-	-	-	+
GTS 40-3-2	+	+	-	+	-	-	-	-	+
Mon87769	-	-	-	+	+	-	-	-	+
Mon87705	-	-	-	+	+	+	-	-	+
Mon89788	-	-	-	+	+	-	+	-	+
Non-GM	-	-	-	+	-	-	-	-	+

Remark: + = detected target gene, - = not detected non-target gene

2.3.5 การทดสอบการปนเปื้อนของสารยับยั้งปฏิกิริยา

ทดสอบการปนเปื้อนของสารยับยั้งปฏิกิริยาโดยเตรียมตัวอย่างดีเอ็นเอที่สกัดได้จากวัสดุอ้างอิงรับรอง GTS 40-3-2 ที่ระดับการปนเปื้อน 10% ให้มีความเข้มข้น 20 ng/ml เจือจางด้วยน้ำบริสุทธิ์ในอัตราส่วน 1:0, 1:4, 1:16, 1:64, และ 1:256 และทดสอบการตรวจยืนยัน Lectin ด้วยปฏิกิริยาแบบ Simplex Real-time PCR บันทึกค่าสัญญาณเรื่องแสงเริ่มต้น (threshold cycle: C_t) วิเคราะห์ผลค่าความต่างของค่า C_t (ΔC_t extrapolated) ค่าความชันของกราฟ ค่า PCR efficiency และค่าความสัมพันธ์เชิงเส้น (coefficient; R²) โดยร้อยละของค่า PCR efficiency สามารถคำนวณได้จากการที่ 1 (Hougs et al., 2017)

$$\text{PCR efficiency (\%)} = (10^{(-1/\text{slope})} - 1) \times 100 \quad (\text{สมการที่ 1})$$

Where: Slope = the slope of the standard curve, plotted with the y axis as C_t and the x axis as log (quantity)

2.3.6 การทดสอบความจำเพาะด้วยปฏิกิริยา Real-time PCR

ทดสอบความจำเพาะของไพรเมอร์และไพร์บจำนวน 7 ชุดยืน ด้วยวัสดุอ้างอิงรับรองของถั่วเหลืองดัดแปลงพันธุกรรมทั้ง 6 สายพันธุ์ที่ระดับการปะปน 10% และวัสดุอ้างอิงข้าวโพดดัดแปลงพันธุกรรมสายพันธุ์ NK-603 ที่ระดับการปะปน 5% ด้วยวิธี Tetraplex Real-time PCR ซึ่งทดสอบความจำเพาะของปฏิกิริยาด้วยวิธี Simplex Real-time PCR โดยทดสอบทีละชุดยืน เปรียบเทียบผลกับวิธี Tetraplex Real-time PCR ที่ทำการทดสอบครั้งละ 4 ชุดยืน โดยใช้สภาวะทดสอบเดียวกันที่ระดับ 1X (Table 2.3-3 และ 2.3-4) ตัวอย่างดีเอ็นเอมีความเข้มข้น 20 ng/ml ปริมาตร 5 μl (100 ng/reaction) ซึ่งปฏิกิริยามีปริมาตรสุดท้าย 20 μl/reaction ทำการทดสอบจำนวน 12 ชั้้า บันทึกค่า C_t วิเคราะห์ผลการตรวจยืนคัดกรอง และยืนจำเพาะเปรียบเทียบความจำเพาะของไพรเมอร์และไพร์บกับโครงสร้างของพืชดัดแปลงพันธุกรรมแต่ละสายพันธุ์

Table 2.3-3 Reagents used for detection of soybean GM by Simplex and Tetraplex Real-time for experiment A

Reagent	Stock (μM)	Simplex Real-time PCR for each target gene (μl)				Tetraplex Real-time PCR (μl)
		CaMV35S	Nos	Cy1Ac	Lectin	

	2x	1x	1x	1x	1x	1x
35S-F	10	0.080	-	-	-	0.080
35S-R	10	0.080	-	-	-	0.080
35S-P	10	0.080	-	-	-	0.080
Nos-F	100	-	0.800	-	-	0.800
Nos-R	100	-	0.800	-	-	0.800
Nos -P	10	-	0.800	-	-	0.800
Cy1Ac-F	100	-	-	0.320	-	0.320
Cy1Ac-R	100	-	-	0.320	-	0.320
Cy1Ac-P	10	-	-	0.080	-	0.080
Lectin-F	10	-	-	-	0.050	0.050
Lectin-R	10	-	-	-	0.050	0.050
Lectin-P	10	-	-	-	0.025	0.025
Template DNA (ng)	20	100	100	100	100	100
Total reaction (μl)	-	20	20	20	20	20

Table 2.3-4 Reagents used for detection of soybean GM by Simplex and Tetraplex Real-time for experiment B

Reagent	Stock (μM)	Simplex Real-time PCR for each target gene (μl)				Tetraplex Real-time PCR (μl)
		rbcS E9	Mon87705	Mon89788	Lectin	
2XProbe master mix	2x	1x	1x	1x	1x	1x
T E9-F	10	0.272	-	-	-	0.272
T E9-R	10	0.272	-	-	-	0.272
T E9-P	10	0.240	-	-	-	0.240
87705-F	10	-	0.180	-	-	0.180
87705-R	10	-	0.180	-	-	0.180
87705-P	10	-	0.100	-	-	0.100
89788-F	10	-	-	0.060	-	0.060
89788-R	10	-	-	0.060	-	0.060
89788-P	10	-	-	0.020	-	0.020
Lectin-F	10	-	-	-	0.050	0.050
Lectin-R	10	-	-	-	0.050	0.050
Lectin-P	10	-	-	-	0.025	0.025
Template DNA (ng)	20	100	100	100	100	100
Total reaction (μl)	-	20	20	20	20	20

2.3.7 การศึกษาความเข้มข้นที่เหมาะสมของไพรเมอร์และโพรบ

ศึกษาความเข้มข้นที่เหมาะสมของไพรเมอร์และโพรบของปฏิกิริยา Tetraplex Real-time PCR โดยประเมินความเข้มข้นของไพรเมอร์และโพรบออกเป็น 3 ระดับ คือ 1) ความเข้มข้นอ้างอิงที่ระดับ 1X ดังแสดงใน Table 2.3-3 และ Table 2.3-4 2) ความเข้มข้นไพรเมอร์และโพรบที่ลดลง -30% (0.7X) และ 3) ความเข้มข้นไพรเมอร์และโพรบที่เพิ่มขึ้น +30% (1.3X) ทดสอบด้วยวัสดุอ้างอิงรับรองของถั่วเหลืองดัดแปลงพันธุกรรม 6 สาย พันธุ์ ที่ระดับการปะปน 10% ทำการทดสอบจำนวน 12 ชุด ทำการบันทึกค่า C_t เพื่อเปรียบเทียบความแตกต่างของค่าเฉลี่ยในการหาความเข้มข้นที่เหมาะสมของปฏิกิริยา Tetraplex Real-time PCR

2.3.8 การทดสอบค่าขีดจำกัดของการตรวจวิเคราะห์

ทดสอบค่าขีดจำกัดของการตรวจวิเคราะห์โดยนำตัวอย่างที่สกัดได้จากวัสดุอ้างอิงรับรองที่ระดับการปะปน 100% ไปเจือจางแบบลำดับขั้นออกเป็น 4 ระดับของการปะปน คือ 10, 1, 0.1, และ 0.01% ซึ่งจีโนมของถั่วเหลือง (Haploid soybean genomic DNA) มีน้ำหนัก 1.13 พิโคกรัมต่อสำเนาเย็น (pg/copy) (Royal Botanic Garden, 2012; Savini et al., 2012) และมีการใช้ความเข้มข้นของดีเอ็นตันแบบเท่ากับ 100 ng/reaction ดังนั้น ที่ร้อยละการปนเปื้อนข้างตันจะสามารถคำนวณค่าจีโนมดัดแปลงพันธุกรรมของถั่วเหลืองได้เป็น 8,849.5, 885, 88.5 และ 8.85 copies/5 μl ตามลำดับ โดยสำหรับการตรวจยืน CaMV35S promoter, Nos terminator, Cy1Ac, rbcS E9 terminator, event Mon87705, event Mon89788 ทำการเจือจางด้วยดีเอ็นเอของถั่วเหลืองไม่ดัดแปลงพันธุกรรม และสำหรับยืน Lectin ซึ่งเป็นยืนอ้างอิงของถั่วเหลืองทำการเจือจางด้วยดีเอ็นเอของข้าวโพดไม่ดัดแปลงพันธุกรรม ทำการทดสอบในแต่ระดับการปะปน จำนวน 12 ชุด บันทึกค่า C_t เพื่อหาปริมาณปริมาณดีเอ็นเอที่ต่ำที่สุดซึ่งสามารถตรวจพบได้ในแต่ละยืนเป้าหมาย วิเคราะห์ค่า PCR efficiency ค่าความซันกราฟ และร้อยละความถูกต้องในการตรวจวิเคราะห์ เพื่อหาความไวของปฏิกิริยาในการตรวจยืนถั่วเหลืองดัดแปลงพันธุกรรม

2.3.9 การศึกษาปริมาณดีเอ็นเอตันแบบ

ทำการศึกษาปริมาณความเข้มข้นของดีเย็นตันแบบ (DNA template) ที่เหมาะสม ทดสอบโดยนำตัวอย่างที่สกัดได้จากวัสดุอ้างอิงรับรองที่ระดับการปะปน 0.1% โดยเจือจางด้วยดีเอ็นเอของถั่วเหลืองไม่ดัดแปลงพันธุกรรมให้มีความเข้มข้นสุดท้ายเท่ากับ 25, 50, 100 และ 150 ng/reaction ตามลำดับ ดำเนินการทดสอบในแต่ละปริมาณความเข้มข้นของดีเอ็น จำนวน 12 ชุด ทำการบันทึกค่า C_t เพื่อเปรียบเทียบความแตกต่างของค่าเฉลี่ยในการหาปริมาณความเข้มข้นของดีเอ็นตันแบบที่มีความเหมาะสม

2.3.10 การขยายผลการตรวจวิเคราะห์ตัวอย่างทดสอบด้วยวิธี Tetraplex Real-time PCR

ขยายผลการตรวจคัดแยกถั่วเหลืองดัดแปลงพันธุกรรมด้วยวิธี Tetraplex Real-time PCR เปรียบเทียบกับผลการวิเคราะห์จากห้องปฏิบัติการตรวจวิเคราะห์พืชและผลิตภัณฑ์ชีดดดแปลงพันธุกรรมด้วยวิธี Triplex Real-time PCR ซึ่งผ่านการรับรองจากมาตรฐานสากล ISO/IEC 17025 ในการทดสอบตัวอย่างทั้งหมด 30 ตัวอย่าง แบ่งเป็นเมล็ดพันธุ์ถั่วเหลืองและถั่วเหลืองที่ใช้สำหรับการบริโภคจำนวน 20 ตัวอย่าง ตัวอย่างถั่วเหลืองสำหรับทดสอบความชำนาญ (Proficiency test) จำนวน 4 ตัวอย่าง และตัวอย่างประเภทอื่น ๆ ได้แก่ ซอสถั่วเหลือง เมล่อน เมล็ดมะลูกพลู ข้าวโพดฝักอ่อน แป้งมันสำปะหลัง และข้าวโพดกระป่อง จำนวนอย่างละ 1 ตัวอย่าง

2.3.11 การวิเคราะห์ข้อมูล

วิเคราะห์ข้อมูลทางสถิติของกลุ่มตัวอย่างทดสอบโดยวิเคราะห์ความแปรปรวน (Analysis of variance) และเปรียบเทียบความแตกต่างของค่าเฉลี่ยด้วยวิธี Duncan's multiple range test (DMRT) ที่ระดับความเชื่อมั่น 95% โดยใช้โปรแกรม IBM SPSS Statistics 23.0

2.3.12 เวลาและสถานที่

ระยะเวลาดำเนินการวิจัย 1 ตุลาคม 2563 – 31 ธันวาคม 2564 ดำเนินการวิจัย ณ ห้องปฏิบัติการกลุ่มวิจัยพัฒนาการตรวจสอบพืชและจุลินทรีย์ด้านประเพณีกรรม สำนักวิจัยพัฒนาเทคโนโลยีชีวภาพ กรมวิชาการเกษตร กระทรวงเกษตรและสหกรณ์

การทดลองที่ 4 พัฒนาวิธี Multiplex real-time PCR ในการตรวจคัดกรองและจำแนกยืนช้าวโพด
ตัดแปลงพันธุกรรม 14 events (Bt11 GA21 TC1507 DAS59122-7 T25 MIR604
Mon810 Mon88017 Mon 89034 NK603 MIR162 Mon87460 Mon87427 และ
DAS40278-9)

2.4.1 วัสดุอ้างอิง

สำหรับการศึกษานี้ใช้วัสดุอ้างอิง (certificate reference material) ของข้าวโพดตัดแปลงพันธุกรรม 14 สายพันธุ์ เช่น Bt11 GA21 TC1507 DAS59122-7 T25 MIR604 Mon810 Mon88017 Mon 89034 NK603 MIR162 Mon87460 Mon87427 และ DAS40278-9 ที่มีเอกสารเช็นต์การบันของพืชตัดแปลงพันธุกรรมในระดับที่แตกต่างกันดัง Table 2.4-1 ซึ่งได้รับมาตรฐานจาก Institute for Reference Materials and Measurements และตัวอย่างข้าวโพดและผลิตภัณฑ์อื่นๆ เช่น เมล็ดข้าวโพด ข้าวโพดกระป่อง ครีมข้าวโพด แป้งข้าวโพด และเกร็ด ข้าวโพด ได้รับความอนุเคราะห์จากห้องปฏิบัติการตรวจวิเคราะห์พืชและผลิตภัณฑ์พืชตัดแปลงพันธุกรรม สำนักวิจัยพัฒนาเทคโนโลยีชีวภาพ กรมวิชาการเกษตร

2.4.2 การสกัดดีเอ็นเอและตรวจสอบคุณภาพ

สกัดดีเอ็นเอของวัสดุอ้างอิงข้าวโพดตัดแปลงพันธุกรรม (Table 1) และตัวอย่างข้าวโพดและผลิตภัณฑ์อื่นๆ เช่น เมล็ดข้าวโพด ข้าวโพดกระป่อง ตามกรรมวิธีของห้องปฏิบัติการตรวจวิเคราะห์สินค้าพืช ตัดแปลงพันธุกรรม (Roger and Bendich, 1985) โดยชั่งตัวอย่าง 0.2 กรัม ใส่หลอดทดลองขนาด 2 มิลลิลิตร เติม Lysis buffer (Eurofin) ปริมาตร 1 มิลลิลิตร ผสมให้เข้ากันด้วย vortex บ่มตัวอย่างในเครื่องควบคุมอุณหภูมิแบบแห้ง (heat block, Eppendorf) ที่อุณหภูมิ 60 องศาเซลเซียส เติม Proteinase K ความเข้มข้น 20 มิลลิกรัมต่อ มิลลิลิตร ปริมาตร 10 ไมโครลิตร ผสมให้เข้ากันโดยพลิกหลอดไปมา บ่มปฏิกิริยาต่อจนครบ 1 ชั่วโมง วางให้เย็น ลงที่อุณหภูมิห้อง ปั่นตกรตะกอนที่ 12000 rpm เป็นเวลา 15 นาที ดูดส่วนใส่ใส่หลอดใหม่ ตกตะกอนโดย Chloroform : Isoamyl alcohol (24:1) ในอัตราส่วน 1:1 ผสมให้เข้ากันด้วย vortex ปั่นตกรตะกอนแล้วดูด ส่วนใส่ใส่หลอดทดลองใหม่ ตกตะกอนดีเอ็นเอด้วย isopropanol ปริมาตร 2 ใน 3 ของสารละลาย ที่ -20 องศาเซลเซียส เป็นเวลา 30 นาที แล้วนำมาปั่นตกรตะกอนดีเอ็นเอที่ 12000 rpm เป็นเวลา 15 นาที ล้างตะกอนดีเอ็น เอด้วยเอทานอล 70% จำนวน 2 รอบ ตกตะกอนดีเอ็นเอให้แห้ง แล้วละลายด้วยน้ำอุ่น และนำมาทำให้บริสุทธิ์ดี เอ็นเอด้วย Wizard™ minicolumn (Promega) โดยทำการสกัดดีเอ็นเอจากวัสดุอ้างอิงตัวอย่างละ 5 ซ้ำ ตรวจวัด ปริมาณและคุณภาพของดีเอ็นเอด้วยเครื่องสเปกโตรโฟโตเมตรีเตอร์ หลังจากนั้นนำดีเอ็นเอที่สกัดได้ไปทดสอบการมีอยู่ของสารบัญปฎิกิริยาในดีเอ็นเอ โดยนำดีเอ็นเอมาเป็นต้นแบบปฎิกิริยาพีซีอาร์ โดยการตรวจสอบยืนอ้างอิงพืช ของข้าวโพด ทำการบันทึกข้อมูลผลของปฎิกิริยาโดยนำค่า CP (Crossing point) ที่วิเคราะห์ได้ไปหาสมการเชิงเส้น บันทึกค่าความสัมพันธ์เชิงเส้น (R²) ค่า slope ของสมการ และค่า ΔCt (extrapolated) = Extrapol Ct - Mean Ct (Charles et al., 2008)

Table 2.4-1 The GM certified reference materials information in this study

No.	GM (Events)	%GMO Value	No.	GM (Events)	%GMO Value
1	Mon810	blank <0.04 0.5%	10	DAS40278-9	blank <0.03 0.5

No.	GM (Events)	%GMO Value	No.	GM (Events)	%GMO Value
		2 9.9%			1 10
2	Mon87427	100	11	TC1507	blank <0.05
3	T25	100			0.1
4	GA21	blank <0.08 0.1 0.5 1 2 5			1 10
5	NK603	blank <0.04 0.1 0.5 1 2 10	12	DAS59122-7	blank<0.1 0.1 1 10 100
6	MIR162	100	13	Bt11	blank <0.01 0.1 1 10 100
7	MON89034	100	14	MIR604	Blank <0.09 0.1 1 10
8	Mon87460	100			
9	Mon88017	100	15	Non GM	0

2.4.3 การวิเคราะห์ข้อมูลองค์ประกอบของยีนที่เหมาะสมสำหรับตรวจสอบการจำแนกยีนในข้าวโพดดัดแปลงพันธุกรรม 14 สายพันธุ์

ตรวจสอบข้อมูลของมียีนคัดเลือก ยีนรายงานผล โพรโมเตอร์ เทอร์มิเนเตอร์ และยีนเป้าหมาย ของข้าวโพดดัดแปลงพันธุกรรม 14 สายพันธุ์ ได้แก่ Bt11 GA21 TC1507 DAS59122-7 T25 MIR604 Mon810 Mon88017 Mon 89034 NK603 MIR162 Mon87460 Mon87427 และ DAS40278-9 จากแหล่งข้อมูล 2 แห่ง 'ได้แก่' International Service for the Acquisition of Agri-biotech Applications (ISAAA) และ Joint Research Center European Commission และจัดกลุ่มยีนออกเป็น 3 กลุ่มคือ 1. ยีนคัดเลือกหรือยีนรายงานผล 2. โพรโมเตอร์หรือเทอร์มิเนเตอร์ และ 3. ยีนเป้าหมาย (Waiblinger *et al.*, 2008; Cottent *et al.*, 2013; Huber *et al.*, 2013; Broeders *et al.*, 2014; Fraiture *et al.*, 2015 and Peng *et al.*, 2016) ของข้าวโพดดัดแปลงพันธุกรรม เพื่อมาทำตารางความสัมพันธ์ของการจำแนกสายพันธุ์ข้าวโพดดัดแปลงพันธุกรรม (Matrix)

2.4.4 ศึกษาความจำเพาะของไพรเมอร์และไพรบต่อข้าวโพดดัดแปลงพันธุกรรม 14 สายพันธุ์ ด้วยเทคนิค Real-time PCR แบบ Simplex และ Multiplex

นำดีเอ็นเอจากตัวอย่างวัสดุอ้างอิงข้าวโพดดัดแปลงพันธุกรรม 14 สายพันธุ์ ได้แก่ ได้แก่ Bt11 GA21 TC1507 DAS59122-7 T25 MIR604 Mon810 Mon88017 Mon 89034 NK603 MIR162 Mon87460 Mon87427 และ DAS40278-9 ที่มีโครงสร้างของยีน และเปอร์เซ็นต์ปนเปื้อนในระดับต่างๆ มาทดสอบความเหมาะสมและความจำเพาะเจาะจงของไพรเมอร์และไพรบต่อไปนี้ real-time PCR โดยใช้ไพรเมอร์และไพรบที่ตรวจสอบยืนในข้อที่ 3 (35SCaMV promoter, Nos terminator, Pat, FMV และ Ubiquitin) นำมาตรวจวิเคราะห์จำแนกยืน ด้วยเทคนิค real-time PCR แบบตรวจตัวอย่างที่ละยืน (Simplex) เปรียบเทียบกับการตรวจวิเคราะห์แบบ Multiplex ตัวอย่างละ 3 ชั้น (Johansson *et al.*, 2006) บันทึกค่า Crossing threshold (Ct) ที่ได้จากปฏิกิริยาของแต่ละวิธี นำค่า Ct ที่ได้มาตรวจสอบความเหมาะสมของไพรเมอร์ไพรบจากการเปรียบเทียบความแตกต่างของค่าเฉลี่ย Ct ที่ได้จากวิธี Multiplex กับ วิธี Simplex ของแต่ละตัวอย่างดีเอ็นเอด้วยวิธี Pair Sample T-test และตรวจสอบความจำเพาะเจาะจงของไพรเมอร์ไพรบจากความถูกต้องของการเกิดปฏิกิริยาเทียบกับข้อมูลองค์ประกอบของยีนตามตารางที่ 2 (Table 2) แล้วนำมาหาค่า False negative rate และ False positive rate จากวิธีของ Broeder *et al.* (2014)

2.4.5 การทดสอบประสิทธิภาพการเกิดปฏิกิริยา Multiplex real-time PCR

เตรียมดีเอ็นเอข้าวโพดดัดแปลงพันธุกรรมที่ผสมกันระหว่างสายพันธุ์ Bt11 GA21 และ DAS59122-7 (เนื่องจากทั้งสามสายพันธุ์เป็นตัวแทนในการตรวจจำแนกสายพันธุ์ได้ดีที่สุด) ที่ระดับการปะปน 1 เปอร์เซ็นต์ ในอัตราส่วน 1:1:1 ปรับให้มีความเข้มข้น 20 นาโนกรัมต่อไมโครลิตร ปริมาตร 5 ไมโครลิตร เจือจากดีเอ็นเอดังกล่าวด้วยน้ำบริสุทธิ์ (deionized water) ที่สัดส่วน 1:2, 1:4, 1:16 และ 1:256 โดยแต่ละลำดับทำ 6 ชั้นละ 4 รอบ นำมาทดสอบปฏิกิริยา Multiplex real-time PCR หลังจากนั้นนำผลของค่า Ct ของแต่ละยืนที่ทำการตรวจสอบมาสร้างกราฟความเข้มข้นมาตรฐาน (standard curve) ตามวิธีของ Broeder *et al.* (2014) และจากสมการของกราฟความเข้มข้นมาตรฐานคำนวณหา ค่า PCR efficiency, ค่า Linearity (R²) และค่า Slope และนำค่าดังกล่าวมาเปรียบเทียบกับค่าพารามิเตอร์มาตรฐานของ JRC-EURL

2.4.6 การทดสอบความเที่ยง (precision) และความแม่นยำ (accuracy) ในการตรวจสอบข้าวโพดดัดแปลงพันธุกรรม 14 สายพันธุ์ ด้วยเทคนิค Multiplex Real-time PCR

เตรียมดีเอ็นเอข้าวโพดดัดแปลงพันธุกรรมที่ผสมกันระหว่างสายพันธุ์ Bt11 GA21 และ DAS59122-7 ที่ระดับการปะปน 1 เปอร์เซ็นต์ ในอัตราส่วน 1:1:1 ปรับให้มีความเข้มข้น 20 นาโนกรัมต่อไมโครลิตร จากนั้นตรวจสอบยืน Event Specific Mon810 และ NK603 ร่วมกับยีน HMG ด้วยเทคนิค Multiplex real-time PCR 4 ครั้ง ครั้งละ 12 ชั้น แล้วหาค่าเฉลี่ยของค่า Ct โดยคำนวณหาค่าความเที่ยงของวิธีการตรวจสอบด้วยการคำนวณหาค่าเบี่ยงเบนมาตรฐานสัมพัทธ์ (Relative standard deviation: RSD) ของค่า Ct ของแต่ละยืน สำหรับค่าความแม่นยำของวิธีการตรวจสอบคำนวณโดยใช้ค่าเบอร์เซ็นต์สัมประสิทธิ์ความแปรผัน (Coefficient of variation: CV) และ ค่าเบี่ยงเบนมาตรฐาน (Standard deviation: SD) ของการตรวจสอบแต่ละครั้งและรวมทั้ง 4 ครั้ง ดัดแปลงจากวิธีของ Broeders *et al.* (2014)

7.7 การวิเคราะห์ข้อมูล

วิเคราะห์ข้อมูลทางสถิติของกลุ่มตัวอย่างทดสอบโดยวิเคราะห์ความแปรปรวน (Analysis of variance) และเปรียบเทียบความแตกต่างของค่าเฉลี่ยด้วยวิธี Duncan's multiple range test (DMRT) ที่ระดับความเชื่อมั่น 95% โดยใช้โปรแกรม IBM SPSS Statistics 23.0

2.4.8 เวลาและสถานที่

ระยะเวลาดำเนินการวิจัย 1 ตุลาคม 2562 – 31 ธันวาคม 2564 ดำเนินการวิจัย ณ ห้องปฏิบัติการกลุ่มวิจัยพัฒนาการตรวจสอบพืชและจุลินทรีย์ดัดแปลงพันธุกรรม สำนักวิจัยพัฒนาเทคโนโลยีชีวภาพ กรมวิชาการเกษตร กระทรวงเกษตรและสหกรณ์

กนบวชการเกษตร

บทที่ 3 ผลการศึกษาและอภิปรายผล

การทดลองที่ 1 พัฒนาวิธี Multiplex Real-time PCR เพื่อตรวจสอบคัดกรองและจำแนกยืนช้าด้ดแปลงพันธุกรรม

3.1.1 การสกัดดีเอ็นเอและทดสอบสารบัญปฎิกิริยา

ผลการสกัดดีเอ็นเอของข้าว แบ่งข้าว เส้นกวยเตี้ย와 และขنمข้าวอบกรอบ ตัวอย่างละ 3 ชั้น เมื่อทำการวัดค่าความเข้มข้นและความบริสุทธิ์ด้วยสเปกโตรโฟโตมิเตอร์ MultiskanGO (ThermoFisher Scientific, Finland) พบค่าความเข้มข้นของดีเอ็นเอทุกตัวอย่างมีค่าสูง 5227 ถึง 568 นาโนกรัมต่อไมโครลิตร ซึ่งเพียงพอสำหรับการตรวจวิเคราะห์ที่ต้องการขั้นต่ำ 20 นาโนกรัมต่อไมโครลิตร ค่าความบริสุทธิ์ของดีเอ็นเอ A260/A280 พบว่ามีค่าตั้งแต่ 1.97 ถึง 2.10 ซึ่งถือว่ามีความบริสุทธิ์จากเกนที่ยอมรับ 1.8 ถึง 2.0 เมื่อนำตัวอย่างดีเอ็นเอที่สกัดได้มาทดสอบสารบัญปฎิกิริยาโดยการตรวจยืน PLD ด้วย Simplex Real-time PCR พบว่า ตัวอย่างดีเอ็นเอมีค่า R^2 ระหว่าง 0.98-0.99 ค่า ΔCt (extrapolated) ระหว่าง 0.17 ถึง 0.52 (ค่ามาตรฐาน $\Delta Ct \leq 2$) ค่า Slope ระหว่าง -3.18 ถึง -3.97 (ค่ามาตรฐาน $-3.1 \geq Slope \geq -3.6$) ค่า efficiency ระหว่าง 106.21 ถึง 78.59 (ค่ามาตรฐาน Simplex Real-time PCR ที่ 90 – 110%) (Wu et al., 2014) แสดงถึงวิธีการสกัดดีเอ็นเอของข้าวที่อาจจะมีโมเลกุลอื่นปะปนในตัวอย่างดีเอ็นเอข้าว แต่เมื่อพิจารณาถึงค่าความเข้มข้นและความบริสุทธิ์แล้วพบว่าเหมาะสม จึงต้องนำดีเอ็นเอข้าวไปทดสอบในปฎิกิริยา Multiplex Real-time PCR ต่อไป เพื่อประเมินถึงความเป็นไปได้ในการใช้เป็นดีเอ็นอต้นแบบของปฎิกิริยา ทั้งนี้การสกัดดีเอ็นเอจากเมล็ดพืชต่างๆนั้น นิยมใช้บีฟเฟอร์ที่มีฤทธิ์เป็นกรดในการสกัดเนื่องจากมีเนื้อเยื่อและเปลือกหอยลายขั้น เช่น การใช้วิธี Guanidinium-HCL นอกจากนั้นยังมีการเติม Amylase เพื่อย่อยโมเลกุลน้ำตาลก่อนทำการทำให้บริสุทธิ์ (Sajib et al., 2017)

Table 3.1-1 Rice and its product DNA extraction and inhibition test

Sample	DNA concentration (ng/ul)	A260/A280	ΔC extrapolated	Intercept	Slope	Efficiency (%)	R^2
Rice	5227.815 ± 162.40	2.08 ± 0.01	0.52	23.76	-3.97	78.59	0.98
Rice flour	4529.72 ± 190.60	2.10 ± 0.01	0.17	24.99	-3.18	106.21	0.99
Rice noodle	4905.39 ± 344.01	2.10 ± 0.00	0.03	25.03	-3.54	91.51	0.99
Rice cracker	568.06 ± 100.04	1.97 ± 0.00	0.17	27.36	-3.22	104	0.99

3.1.2 ความจำเพาะของไพรเมอร์และโพรบ

ทดสอบความจำเพาะกับตัวอย่างพลาสมิดดีเอ็นเอของข้าวด้ดแปลงพันธุกรรม pGSE28 (Bt63 Rice) และ pGSE220 (LL601) และ ข้าวไม่ดัดแปลงพันธุกรรมที่มีการเติม (spike) pGSE28 (Bt63 Rice) และ pGSE220 (LL601) และจีโนมิกซ์ดีเอ็นเอของข้าวด้ดแปลงพันธุกรรม LL62 ในปฎิกิริยาแบบ Simplex Real-time PCR ตัวอย่างละ 3 ชั้น โดยแต่ละยืนเป้าหมาย พบว่าเมื่อเปรียบเทียบค่าที่ได้กับ True positive/negative ไม่พบ False negative และ False positive และแสดงถึงความจำเพาะของไพรเมอร์และโพรบที่ออกแบบมีความจำเพาะร้อยละ 100 ต่อชุดยืนเป้าหมายทั้ง 2 ชุด ดังแสดงใน Table 3.1-2 ในส่วนของ plasmid DNA pGSE220 (LL601) ไม่พบยืน CaMV35S Promoter และ NOS terminator และ Bar และ plasmid DNA pGSE28 (Bt63 Rice) ไม่พบยืน

Bar เนื่องจากเป็นพลาสมิดดีเอ็นเอที่มีการใส่เฉพาะบางยีนทำให้ตรวจไม่พบครบตามค่าประกอบของสายพันธุ์ ตามฐานข้อมูลของ ISAAA (ISAAA, 2564)

Table 3.1-2 Specific test of primers and probes of *CaMV35S* Promoter, NOS terminator, *PLD*, *Cry1Ab/Ac*, event specific *LL62*, event specific *LL601* and *Bar*

Samples	Target genes (real-time PCR) (n=3)						
	<i>35S</i>	NOS	<i>PLD</i>	<i>Bar</i>	<i>LL601</i>	<i>LL62</i>	<i>Cry1Ab/Ac</i>
plasmid DNA pGSE220 (<i>LL601</i>)	-	-	-	-	+	-	-
Genomic DNA <i>LL62</i>	+	-	+	+	-	-	-
plasmid DNA pGSE28 (Bt63 Rice)	-	+	-	-	-	-	+
Non-GM rice+ pGSE220 (<i>LL601</i>)	-	-	+	-	+	-	-
Non-GM rice+ pGSE28 (Bt63 Rice)	-	+	+	-	-	-	+
10% RR	+	+	-	-	-	-	-
0.1%RR	+	+	-	-	-	-	-
Non-GM rice	-	-	+	-	-	-	-
Water	-	-	-	-	-	-	-
Specificity					100%		

+ means detected and - means not detected

3.1.3 ประสิทธิภาพการเกิดปฏิกิริยา Multiplex Real-time PCR

ทดสอบประสิทธิภาพของการเพิ่มจำนวนยีนเป้าหมายในปฏิกิริยา Triplex Real-time PCR ของชุดยีนที่ 1 ของยีน *CaMV35S* Promoter, NOS terminator และ *PLD* และประสิทธิภาพของ Tetraplex Real-time PCR ของยีน *Cry1Ab/Ac*, event specific *LL62*, event specific *LL601* และ *Bar* ทำการทดสอบที่ DNA template ใช้ plasmid DNA pGSE220 (*LL601*), plasmid DNA pGSE28 (Bt63 Rice) และจีโนมิกส์ *LL62* เริ่มต้น 100 copies เ济อาจเป็นลำดับขั้นที่ 1:4 1:16 1:64 และ 1:256 ทดสอบประสิทธิภาพการเกิดปฏิกิริยา Triplex Real-time PCR ของยีนชุดที่ 1 และ Tetraplex Real-time PCR ของยีนชุดที่ 2 โดยประสิทธิภาพของการเกิดปฏิกิริยา ลูกโซ่ของการเพิ่มจำนวนยีนเป้าหมาย สามารถคำนวณได้จากสูตรคำนวณ $\text{PCR efficiency} = [10^{(-1/\text{slope})} - 1]$ ซึ่งค่า Ideal slope ที่ -3.322 ซึ่งคิดเป็น 100% efficiency โดยค่า Amplification factor ที่คำนวณได้ที่ 2 หมายถึง การเพิ่มจำนวนเป็น 2 copy ในทุกรอบของปฏิกิริยาจากค่าที่แสดงใน Table 3.1-3 พบว่าได้ค่า Amplification factor ในทุกยีนเป้าหมายมีค่าอยู่ระหว่าง 1.84 ถึง 2.09 คิดเป็น efficiency อยู่ระหว่าง 84.07 ถึง 109.04% อยู่ในเกณฑ์ยอมรับได้ ที่ 80 ถึง 120% สำหรับ Multiplex Real-time PCR (Broeders et al. 2014) ทั้งนี้ที่ระดับความเจือจางที่ 1:256 ไม่สามารถตรวจพบยีนเป้าหมายส่วนใหญ่ได้เนื่องจากมี DNA template จำนวนน้อยเกินไป ทำให้สัญญาณเกิดช้ากว่า 40 cycles ตามการตั้งค่าปฏิกิริยาเริ่มต้น

Table 3.1-3 Amplification factor, PCR efficiency, slope, linearity and intercept of *CaMV35S* promoter, NOS terminator, *PLD* *Cry1Ab/Ac*, event specific *LL62*, event specific *LL601* and *Bar* genes detection using Triplex and Tetraplex Real-time PCR

Ct of target gene detection

Dilution	Start	35S	NOS	PLD	Cry1Ab/Ac	Bar	LL601	LL62
1:0	100	32.02±0.8	28.22±0.4	21.67±0.4	28.74±0.3	31.33±0.2	28.17±0.5	31.30±0.4
1:4	25	34.07±0.5	30.48±0.3	24.65±0.7	30.56±0.7	33.54±0.3	30.23±0.2	33.57±0.1
1:16	6.25	36.02±0.1	32.32±0.6	26.62±0.3	33.03±0.4	35.76±0.6	32.03±0.7	36.16±0.5
1:64	1.56	37.83±0.3	34.35±0.1	28.59±0.1	35.10±0.1	37.76±0.2	34.01±0.3	37.82±0.2
1:256	0.39	-	-	30.68±0.9	-	-	-	-
Amplification		2.09	2.04	1.99	1.84	1.92	2.08	1.92
PCR efficiency		109.04	104.70	99.58	84.17	92.89	108.22	92.00
Slope		-3.12	-3.21	-3.33	-3.77	-3.50	-3.13	-3.52
R ²		0.99	0.99	0.99	0.99	0.99	0.99	0.98
Intercept		32.21	28.51	22.62	28.35	31.46	28.31	31.60

3.1.4 ความเที่ยง (precision) และความแม่นยำ (accuracy) ความสามารถในการทวนซ้ำ (repeatability) ของปฏิกิริยา Tetraplex real-time PCR

ทดสอบความเที่ยงและความแม่นยำของปฏิกิริยาโดยในแต่ละรอบของการทดสอบมีจำนวนซ้ำ 10 ซ้ำ ทำการทดสอบ 3 รอบการทดสอบ เพื่อทดสอบหากความสามารถในการทวนซ้ำของยืนเป้าหมายในปฏิกิริยา Triplex Real-time PCR ของชุดยืนที่ 1 ของยืน CaMV35S Promoter, NOS terminator และ PLD โดยใช้จีโนมิกส์ LL62 เป็นDNA template และประสิทธิภาพของ Tetraplex Real-time PCR ของยืน Cry1Ab/Ac, event specific LL62, event specific LL601 และ Bar ใช้ plasmid DNA pGSE220 (LL601), plasmid DNA pGSE28 (Bt63 Rice) และจีโนมิกส์ LL62 เป็นDNA template เมื่อเปรียบเทียบค่า Cp ที่ได้จากการทำในแต่ละรอบพบว่า %RSD อยู่ระหว่าง 0.47 ถึง 1.19 ซึ่งถือว่าผลการทดสอบมีความเที่ยงและความแม่นยำสูง ในขณะที่ เมื่อเปรียบเทียบค่าที่ได้จากการทดสอบ 3 รอบน้ำค่าเฉลี่ย Cp ที่ได้มาคำนวณหาค่าเฉลี่ยระหว่างรอบ ส่วน เปียงเบนมาตรฐานและ ร้อยละส่วนเบี่ยงเบนมาตรฐานสัมพัทธ์ของแต่ละยืนพบว่า มีค่าอยู่ระหว่าง 0.16 ถึง 0.4 อยู่ในเกณฑ์การยอมรับได้ของ การตรวจสอบพืชด้ดแปลงพันธุกรรมเชิงคุณภาพด้วยเทคนิค Multiplex real-time PCR ที่ค่า %RSD ต้องน้อยกว่าร้อยละ 25 (Broeders et al., 2014 และ Del Gaudio et al., 2012) แสดงถึง วิธีการทดสอบ สะดวกที่ใช้ในการทดสอบ ไพรเมอร์probที่ใช้ในการทดสอบ มีความเที่ยง ความแม่นยำ และ สามารถทวนซ้ำได้ของการตรวจคัดกรองและจำแนกข้าวด้ดแปลงพันธุกรรมสายพันธุ์ LL601 LL62 และ Bt63

Table 3.1-4 Precision accuracy and repeatability of Multiplex real-time PCR

Replication	Average Cp						
	35S	NOS	PLD	Cry1Ab/Ac	LL601	LL62	Bar
1	33.97	34.74	33.71	35.23	34.88	35.21	35.25
2	34.19	34.66	33.72	35.04	34.44	35.08	34.65
3	34.29	35.14	34.42	34.72	34.93	34.84	35.08
Average	34.15	34.85	33.95	35.00	34.75	35.04	34.99
SD	0.16	0.25	0.40	0.25	0.26	0.18	0.31
RSD (%)	0.47	0.73	1.19	0.73	0.77	0.52	0.88

3.1.5 ขีดจำกัดของการตรวจวิเคราะห์

ทดสอบเพื่อหาค่าขีดจำกัดของการตรวจวิเคราะห์ของชุดยืนที่ 1 ได้แก่ CaMV35S Promoter, NOS terminator และ PLD โดยใช้วัสดุทดสอบเป็นจีโนมิกส์ดีเอ็นเอของข้าวดัดแปลงพันธุกรรมสายพันธุ์ LL62 ที่ระดับความเข้มข้น 10, 5 และ 1 copies ทำการทดสอบ 10 ช้ำ โดยที่ 5 copies ค่าการทดสอบที่สามารถตรวจพบยืนมีค่าน้อยกว่าร้อยละ 90 หรือน้อยกว่า 9 ตัวอย่างใน 10 ตัวอย่าง ซึ่งค่าขีดจำกัดของการตรวจวิเคราะห์จะต้องมีค่ามากกว่าร้อยละ 90 จึงสามารถยอมรับได้ (Anonymous, 2011 และ Broeders et al., 2014) ในขณะที่ 10 copies พบว่าทั้ง 3 ยืนเป้าหมายมีค่าการตรวจพบร้อยละ 100 จึงทำให้ทราบว่า ค่าขีดจำกัดของการตรวจวิเคราะห์ของยืน CaMV35S promoter, NOS terminator และ PLD โดยจีโนมิกส์ดีเอ็นเอของข้าวดัดแปลงพันธุกรรมสายพันธุ์ LL62 เป็นวัสดุในการทดสอบอยู่ที่ 10 copies ดังที่แสดงใน Table 8 สำหรับการตรวจวิเคราะห์ของชุดยืนที่ 2 ได้แก่ CryIAb/Ac, event specific LL62, event specific LL601 และ Bar ใช้วัสดุทดสอบเป็นข้าวไม่ดัดแปลงพันธุกรรมที่มีการเติม plasmid DNA pGSE220 (LL601) และ plasmid DNA pGSE28 (Bt63 Rice) ที่ 10, 5 และ 1 copies พบว่า ยืนเป้าหมาย CryIAb/Ac และ event specific LL601 ระดับการปะปนต่ำสุดที่ตรวจพบอยู่ที่ 5 copies ในขณะที่ ยืน event specific LL62 และ Bar มีระดับการปะปนต่ำสุดที่ตรวจพบอยู่ที่ 10 copies จึงทำการสรุปได้ว่า ชุดยืนทั้ง 2 ชุด มีค่าขีดจำกัดของการตรวจวิเคราะห์ที่ 10 copies ดังที่แสดงใน Table 3.1-5

Table 3.1-5 Limit of detection of CaMV35S Promoter, NOS terminator, PLD, CryIAb/Ac, event specific LL62, event specific LL601 and Bar in Multiplex Real-time PCR reaction

Sample + spike plasmid	Target gene	Replication	Ratio (Detection: Not-detection)			Limit of detection
			10 cp	5 cp	1 cp	
Rice + plasmid DNA pGSE28	NOS	10	10:0	10:0	0:10	5 cp
	Cry1Ab/Ac		10:0	10:0	0:10	
	PLD		10:0	10:0	0:10	
Rice + plasmid DNA pGSE220	LL601	10	10:0	10:0	0:10	5 cp
	PLD		10:0	10:0	0:10	
	CaMV 35S		10:0	0:10	0:10	
Genomic DNA LL62	Bar	10	10:0	0:10	0:10	10 cp
	LL62		10:0	0:10	0:10	
	PLD		10:0	0:10	0:10	

3.1.6 ขยายผลการตรวจวิเคราะห์ตัวอย่างทดสอบด้วยวิธี Multiplex Real-time PCR

ขยายผลการทดสอบ ชุดไพรเมอร์probด้วยวิธีการ Multiplex Real-time PCR ของชุดที่ 1 และ 2 เพื่อประเมินความเป็นไปได้ของนำมาใช้ทดสอบจริง โดยทดสอบกับตัวอย่างข้าวและผลิตภัณฑ์ข้าวที่มีการนำมาส่งตรวจจริงที่ห้องปฏิบัติการกลุ่มวิจัยพัฒนาการตรวจสอบพืชและจุลินทรีย์ดัดแปลงพันธุกรรม ภายใต้มาตรฐาน

ISO/IEC17025:2017 จำนวน 50 ตัวอย่าง แบ่งเป็นตัวอย่างข้าว 27 ตัวอย่าง เส้นกวยเตี๋ยว 20 ตัวอย่าง แล้วแบ่งข้าว 3 ตัวอย่าง พบว่า ทุกตัวอย่างมีการตรวจพบยืน PLD แต่สำหรับยืนเป้าหมายอื่นตรวจไม่พบ แสดงถึงการไม่มี

Sample	Number	First set of primers and probe			Second set of primers and probe			
		35S	NOS	PLD	Cry1Ab/Ac	Bar	LL601	LL62
Rice	27	Not detected	Not detected	Detected	Not detected	Not detected	Not detected	Not detected
Noodle	20	Not detected	Not detected	Detected	Not detected	Not detected	Not detected	Not detected
Flour	3	Not detected	Not detected	Detected	Not detected	Not detected	Not detected	Not detected

การประเมินของข้าวดัดแปลงพันธุกรรมในตัวอย่างที่ของห้องปฏิบัติการที่ตรวจ ดังแสดงผลการทดสอบใน Table 3.1-6 นอกจากนี้มีการทดสอบตัวอย่างข้าวที่ไม่ดัดแปลงพันธุกรรมที่มีการเติมวัสดุอ้างอิงทดสอบ (spike) แบบเดียวและแบบรวม 2 ชนิด และ 3 ชนิดเพื่อประเมินความเป็นไปได้ในการใช้ชุดไพรเมอร์prob ทั้ง 2 ชุดในการปฏิบัติงานจริง โดยพบว่าชุดทดสอบมีประสิทธิภาพในการตรวจพบยืนเป้าหมายตามตัวอย่างทดสอบชนิดต่างๆ อย่างมีประสิทธิภาพ ดังแสดงใน Table 3.1-7 ทั้งนี้ค่า Cp ของยืนเป้าหมายเดียวกันอาจให้ค่าต่างกันได้ เนื่องจาก DNA template ต่างกันทำให้สัญญาณการตรวจพบขึ้นได้ไม่พร้อมกันจึงส่งผลให้ได้ค่า Cp ที่แตกต่างกันเนื่องจาก การตรวจวิเคราะห์เป็นเชิงคุณภาพจึงถือว่ายอมรับได้ในการอ่านผลการทดสอบ

Table 3.1-6 Testing of 50 rice and its product samples from ISO/IEC17025 laboratory in 2 sets of primers and probe

Table 3.1-7 Testing of spike samples into non-GM rice in 2 sets of primers and probes

Matrix	Spike	Cp ± SD (n=3)							
		First set of primers and probe			Second set of primers and probe				
DNA		35S	NOS	PLD	Cry1Ab/Ac	Bar	LL601	LL62	
Rice	-	-	-	22.20 ± 0.02a	-	-	-	-	-
	LL601	-	-	29.88 ± 0.16c	-	-	34.12 ± 1.01c	-	-
	LL62	36.24 ± 0.64b	-	29.64 ± 0.24c	-	35.41 ± 0.64b	-	36.15 ± 0.35b	-
	Bt63	-	34.82 ± 1.11b	29.69 ± 0.09c	36.11 ± 0.25c	-	-	-	-
	LL601 + LL62	35.83 ± 1.30a	-	23.35 ± 0.08b	-	34.59 ± 0.29a	31.62 ± 0.90a	34.91 ± 0.43a	-
	LL601 + Bt63	-	33.45 ± 0.53a	23.29 ± 0.22b	33.41 ± 0.39a	-	31.78 ± 0.19a	-	-
	LL62+ Bt63	35.82 ± 0.21a	33.20 ± 0.49a	23.21 ± 0.09b	33.56 ± 0.24a	34.35 ± 0.04a	-	34.52 ± 0.07a	-
Noodle	LL601+LL62+Bt63	36.79 ± 0.22b	36.79 ± 0.22c	23.43 ± 0.06b	34.25 ± 0.27b	35.58 ± 0.06b	32.38 ±	35.31 ±	-
	-	-	-	25.75 ± 1.77a	-	-	-	-	-
	LL601	-	-	33.63 ± 0.14b	-	-	33.93 ± 0.39b	-	-
	LL62	36.7 ± 0.29b	-	33.36 ± 1.03b	-	36.63 ± 0.54c	-	37.40 ± 0.35c	-
	Bt63	-	35.06 ± 0.62b	34.22 ± 0.63c	35.48 ± 1.06c	-	-	-	-
	LL601 + LL62	35.61 ± 1.68a	-	25.98 ± 0.27a	-	35.26 ± 0.32b	31.69 ± 0.30a	35.63 ± 0.42b	-

	LL601 + Bt63	-	$33.89 \pm 0.66a$	$25.75 \pm 0.17a$	$32.65 \pm 0.39a$	-	$31.15 \pm 1.12a$	-
	LL62+ Bt63	$35.97 \pm 0.42a$	$33.23 \pm 0.16a$	$25.59 \pm 0.08a$	$33.32 \pm 0.78a$	$34.45 \pm 0.41a$	-	$34.63 \pm 0.32a$
	LL601+LL62+Bt63	$37.02 \pm 1.28b$	$33.38 \pm 0.20a$	$25.67 \pm 0.18a$	$34.31 \pm 0.64b$	$36.03 \pm 0.63c$	$31.41 \pm 0.85a$	$35.96 \pm 0.42b$
	-	-	-	$25.10 \pm 0.11a$	-	-	-	-
	LL601	-	-	$30.61 \pm 0.24b$	-	-	$34.07 \pm 0.59b$	-
	LL62	$37.79 \pm 0.23c$	-	$31.31 \pm 0.41b$	-	$35.75 \pm 0.95b$	-	$36.12 \pm 0.95b$
	Bt63	-	$34.35 \pm 0.97b$	$31.02 \pm 0.44b$	$34.72 \pm 0.13b$	-	-	-
Rice	LL601 + LL62	$35.58 \pm 0.37a$	-	$26.35 \pm 0.15a$	-	$34.89 \pm 0.80a$	$31.76 \pm 0.14a$	$35.06 \pm 0.61ab$
flour	LL601 + Bt63	-	$32.93 \pm 0.70a$	$26.38 \pm 0.19a$	$33.40 \pm 0.21a$	-	$31.47 \pm 0.13a$	-
	LL62+ Bt63	$36.58 \pm 0.31b$	$33.19 \pm 0.21a$	$25.87 \pm 0.66a$	$33.21 \pm 0.42a$	$34.20 \pm 0.37a$	-	$34.27 \pm 0.32a$
	LL601+LL62+Bt63	$36.29 \pm 0.68b$	$33.71 \pm 0.89ab$	$26.34 \pm 0.05a$	$34.03 \pm 0.32b$	$35.12 \pm 0.32b$	$31.89 \pm 0.08a$	$34.99 \pm 0.30a$

กสศ.ชาก้าวไปก้าวต่อ

การทดลองที่ 2 พัฒนาวิธี Multiplex Real-time PCR เพื่อตรวจเคราะห์ข้าวสาลีด้ดแปลงพันธุกรรม

3.2.1 การสกัดดีเอ็นเอและทดสอบสารยับยั้งปฏิกิริยา

ความเข้มข้นและความบริสุทธิ์ของดีเอ็นเอมีผลสำคัญต่อการตรวจเคราะห์พีซดดแปลงพันธุกรรม ซึ่งดีเอ็นเอที่สกัดได้นั้นควรมีการตรวจสอบปริมาณ ความบริสุทธิ์ และสารยับยั้งปฏิกิริยาเพื่อให้การเกิดปฏิกิริยาการเพิ่มขึ้นเป้าหมายอย่างสมบูรณ์โดยไม่มีสารที่ขัดขวางปฏิกิริยา โดยเฉพาะปฏิกิริยาที่มีการเพิ่มจำนวนยีนหลายยีนพร้อมกันหากพบว่ามีสารยับยั้งในปฏิกิริยาในดีเอ็นเอที่สกัดได้จะต้องมีการกำจัดสารยับยั้งปฏิกิริยานั้นก่อนเพื่อความถูกต้องของผลการทดสอบ (Mazzara et al., 2005, Cankar et al., 2006 และ Turkec et al., 2015) ผลการสกัดดีเอ็นเอของข้าวสาลี แป้งข้าวสาลี บะหมี่กึ่งสำเร็จรูป และขนมอบกรอบ ตัวอย่างละ 3 ชิ้น เมื่อทำการวัดค่าความเข้มข้นและความบริสุทธิ์ด้วยสเปกโตรโฟโตเมตรีเตอร์ MultiskanGO (ThermoFisher Scientific, Finland) พบค่าความเข้มข้นของดีเอ็นเอทุกตัวอย่างมีค่าสูง 5080 ถึง 1168 นาโนกรัมต่อไมโครลิตร ซึ่งเพียงพอสำหรับการตรวจเคราะห์ที่ต้องการขั้นต่ำ 20 นาโนกรัมต่อไมโครลิตร ค่าความบริสุทธิ์ของดีเอ็นเอ A260/A280 พบว่ามีค่าตั้งแต่ 1.95 ถึง 2.04 ซึ่งถือว่ามีความบริสุทธิ์จากเกณฑ์ที่ยอมรับ 1.8 ถึง 2.0 เมื่อนำตัวอย่างดีเอ็นเอที่สกัดได้มาทดสอบสารยับยั้งปฏิกิริยาโดยการตรวจยืนยัน ACC-1 ด้วย Simplex Real-time PCR พบว่า ตัวอย่างดีเอ็นเอเมีค่า R^2 ระหว่าง 0.98-0.99 ค่า ΔCt (extrapolated) ระหว่าง -0.4 ถึง 0.3 (ค่ามาตรฐาน $\Delta Ct \leq 2$) ค่า Slope ระหว่าง -3.24 ถึง -3.47 (ค่ามาตรฐาน -3.1 \geq Slope \geq -3.6) ค่า efficiency ระหว่าง 103.54 ถึง 94.17 (ค่ามาตรฐาน Simplex Real-time PCR ที่ 90 – 110%) (Wu et al., 2014) จากผลการทดสอบสารยับยั้งปฏิกิริยาพบว่า การเพิ่มขึ้นของยีนเป้าหมายในแต่ละรอบของปฏิกิริยาลูกุซิ สามารถเพิ่มขึ้นเป็นสองเท่าได้ตามเกณฑ์ที่ยอมรับในแต่ละรอบ โดยปฏิกิริยาลูกุซิที่สมบูรณ์นั้นจะมีค่า Slope ที่ -3.322 คิดเป็นค่า ค่า efficiency ที่ 100% (Fraga et al., 2014) แสดงให้เห็นว่าวิธีการสกัดดีเอ็นที่ใช้การทดลองนี้มีประสิทธิภาพสูง ได้ปริมาณดีเอ็นเอและความบริสุทธิ์สูง โดยดีเอ็นเอที่ได้ปราศจากการยับยั้งปฏิกิริยาเหมาะสมสำหรับใช้ในการทดสอบ ดังที่แสดงใน Table 3.2-1

Table 3.2-1 Concentration, ratio of A260/280 and inhibition test of extracted DNA from wheat and wheat's products

Sample	Concentration (ng/ μ l)	Ratio A260/280	Inhibition test				
			ΔC	R^2	Slope	Intercept	Efficiency
Wheat	5080.37 \pm 242.24	2.04 \pm 0.00	-0.23	0.99	-3.24	23.75	103.54
Wheat flour	2155.22 \pm 264.58	1.95 \pm 0.00	-0.40	0.99	-3.30	22.65	100.92
Instant noodle	1488.20 \pm 71.17	2.02 \pm 0.00	0.30	0.98	-3.47	20.98	94.17
Cracker	1168.80 \pm 178.14	1.95 \pm 0.01	0.08	0.99	-3.44	25.07	95.30

3.2.2 ความจำเพาะของไพรเมอร์และprobe

ทดสอบความจำเพาะของไพรเมอร์และprobeทั้ง 2 ชุด กับตัวอย่างพืชไม่ดัดแปลงพันธุกรรม และพืชดัดแปลงพันธุกรรมชนิดต่างๆ พลาสมิด pUC57-MON71800 และ พลาสมิด MON71200 รวม 13 ชนิดทดสอบ ชนิดละ 3 ชิ้นในแต่ละยีนในปฏิกิริยาแบบ Simplex Real-time PCR โดยแต่ละยีนเป้าหมาย พบว่าเมื่อ

เปรียบเทียบค่าที่ได้กับ True positive/negative ไม่พบ False negative และ False positive และแสดงถึงความจำเพาะของไพรเมอร์และprobeที่ออกแบบมีความจำเพาะร้อยละ 100 ต่อชุดยืนเป้าหมายทั้ง 2 ชุด ดังแสดงใน Table 3.2-2 นอกจากนั้นเมื่อทำการเปรียบเทียบค่า Cp ของปฏิริยาแบบ Simplex Real-time PCR กับ Tetraplex Real-time PCR พบว่าค่า Cp จากปฏิริยา Tetraplex Real-time PCR มีค่าสูงกว่าเพียงเล็กน้อยแต่ไม่แตกต่างอย่างมีนัยสำคัญทางสถิติ ดังแสดงใน Table 3.2-3 และ Table 3.2-4 และแสดงถึงความเหมาะสมของชุดไพรเมอร์และprobeที่ออกแบบ และสภาวะของปฏิริยาลูกโซ่ต่อการเพิ่มจำนวนบีนเป้าหมาย สอดคล้องกับ Broeders et al., 2014 ที่แสดงความจำเพาะของไพรเมอร์probeกับยืนเป้าหมายด้วยปฏิริยาแบบ Simplex Real-time PCR

Table 3.2-2 Specific test of primers and probes of *CaMV35S* Promoter, *NOS* terminator, *ACC-1*, *MON71800*, *Lectin*, *HMG*, *CruA* and *MON71200* in Simplex Real-time PCR

Samples	Target genes (Simplex real-time PCR) (n=3)							
	35S	NOS	MON17800	ACC-1	HMG	Lectin	CruA	MON71200
PUC57-MON71800	+	+	+	+	-	-	-	-
MON71200 (Wako)	-	-	-	+	-	-	-	+
Non-GM corn	-	-	-	-	+	-	-	-
Non-GM soybean	-	-	-	-	-	+	-	-
Non-GM canola	-	-	-	-	-	-	+	-
10% RR	+	+	-	-	-	+	-	-
0.1% RR	+	+	-	-	-	+	-	-
NK603	+	+	-	-	+	-	-	-
MON810	+	-	-	-	+	-	-	-
MIR604	-	+	-	-	+	-	-	-
GTS4032	+	+	-	-	-	+	-	-
A2704-12	+	-	-	-	-	+	-	-
Rf3	-	+	-	-	-	-	+	-
Water	-	-	-	-	-	-	-	-
Specificity	100%							

+ means detected and - means not detected

Table 3.2-3 Crossing point (CP) of *CaMV35S* promoter, *NOS* terminator, *MON71800* event specific element and *ACC-1* by using of PUC57-MON71800 plasmid (1 pg) as a template in Simplex and Tetraplex Real-Time PCR reaction *P < 0.05 (t-test) (n=3).

Target	Crossing point (CP) ± SD		
	Simplex	Tetraplex	t-test
<i>CaMV35S</i> promoter	34.15 ± 0.37	34.92 ± 0.02	nd
<i>NOS</i> terminator	33.78 ± 0.01	34.26 ± 0.15	nd
<i>MON71800</i>	34.64 ± 0.35	35.19 ± 0.01	nd

ACC-1	33.43 ± 0.06	34.10 ± 0.04	nd
-------	------------------	------------------	----

nd means not statically different between two columns

Table 3.2-4 Crossing point (CP) of *HMG*, *Lectin*, *CruA* and *MON71200* event specific element by using wheat spiked corn, soybean, canola DNA at 0.05% and *MON71200* (Wako) plasmid DNA at 0.1% as a template in Simplex and Tetraplex Real-Time PCR reaction
 $*P < 0.05$ (t-test) (n=3).

Target	Crossing point (CP) \pm SD		
	Simplex	Tetraplex	t-test
<i>HMG</i>	35.16 ± 0.19	35.56 ± 0.75	nd
<i>Lectin</i>	34.19 ± 1.20	34.68 ± 0.64	nd
<i>CruA</i>	34.20 ± 0.11	34.86 ± 0.48	nd
<i>MON71200</i>	35.10 ± 0.15	35.84 ± 0.49	nd

nd means not statically different between two columns

3.2.3 ประสิทธิภาพการเกิดปฏิกิริยา Tetraplex Real-time PCR

ทดสอบประสิทธิภาพของการเพิ่มจำนวนยีนเป้าหมายในปฏิกิริยา Tetraplex Real-time PCR ของชุดยีนทั้ง 2 ทำการทดสอบที่ DNA template เริ่มต้น 200 นาโนกรัม เมื่อจะเป็นลำดับขั้นที่ 1:4 1:16 1:64 และ 1:256 ทดสอบประสิทธิภาพการเกิดปฏิกิริยา Tetraplex Real-time PCR ของยีนชุดที่ 1 ได้แก่ *CaMV35S* promoter, *NOS* terminator, *MON71800* event specific element และ *ACC-1* และยีนชุดที่ 2 ได้แก่ *HMG*, *Lectin*, *CruA* และ *MON71200* โดยประสิทธิภาพของการเกิดปฏิกิริยาลูกโซ่ของการเพิ่มจำนวนยีนเป้าหมาย สามารถคำนวณได้จากสูตรคำนวณ $\text{PCR efficiency} = [10^{(-1/\text{slope})}-1]$ ซึ่งค่า Ideal slope ที่ -3.322 ซึ่งคิดเป็น 100% efficiency โดยค่า Amplification factor ที่คำนวณได้ที่ 2 หมายถึงการเพิ่มจำนวนเป็น 2 copy ในทุกรอบของปฏิกิริยาจากค่าที่แสดงใน Table 3.2-5 พบว่าได้ค่า Amplification factor ในทุกยีนเป้าหมายมีค่าอยู่ระหว่าง 1.81 ถึง 2.13 คิดเป็น efficiency อยู่ระหว่าง 80.88 ถึง 113.21% อยู่ในเกณฑ์ยอมรับได้ ที่ 80 ถึง 120% สำหรับ Multiplex Real-time PCR (Broeders et al. 2014) แสดงให้เห็นว่าชุดไพรเมอร์probทั้ง 2 ชุดในปฏิกิริยา Tetraplex Real-time PCR มีความเหมาะสมในการเพิ่มจำนวนยีนเป้าหมาย สามารถใช้ตรวจสอบของพีซีดดีแอลจีพีอาร์และจำแนกสายพันธุ์ข้าวสาลีดีดดีแอลจีพีอาร์พีอาร์ *MON71800* และ *MON71200* ได้อย่างมีประสิทธิภาพ ดังที่แสดงใน Table 8 ทั้งนี้ปัจจัยที่จะมีผลต่อประสิทธิภาพของปฏิกิริยาลูกโซ่มีหลายอย่าง เช่น ความยาวของผลิตภัณฑ์ของปฏิกิริยา รูปแบบทุติยภูมิของผลิตภัณฑ์ และการออกแบบไพรเมอร์probที่เหมาะสม

Table 3.2-5 Amplification factor, PCR efficiency, slope, linearity and intercept of *CaMV35S* promoter, *NOS* terminator, *MON71800*, *ACC-1*, *HMG*, *Lectin*, *CruA* and *MON71200* genes detection using Tatraplex Real-time PCR

Dilution	DNA conc.	Ct of target gene detection							
		<i>CaMV35S</i>	<i>NOS</i>	<i>MON71800</i>	<i>ACC-1</i>	<i>HMG</i>	<i>Lectin</i>	<i>CruA</i>	<i>MON71200</i>
1:0	200	23.52 ± 0.28	26.61 ± 0.81	26.60 ± 0.35	25.30 ± 0.27	25.15 ± 0.52	22.35 ± 0.14	28.42 ± 0.53	27.61 ± 0.85

1:4	50	26.38±0.61	28.46±0.34	28.60±0.42	27.14±0.64	27.21±0.37	24.55±0.64	30.41±0.39	29.58±0.41
1:16	12.5	28.70±0.29	30.72±0.43	30.30±0.35	29.24±0.95	29.71±0.49	26.22±0.31	32.71±0.82	31.76±0.53
1:64	3.125	31.05±0.48	32.88±0.16	32.08±0.79	31.67±0.79	31.80±0.78	28.33±0.85	34.86±0.17	33.60±0.18
1:256	0.781	33.35±0.59	35.01±0.42	34.76±0.58	33.69±0.23	34.31±0.43	29.95±0.433	36.89±0.74	35.64±0.15
Amplification		1.81	1.89	1.98	1.87	1.81	2.13	1.90	2
PCR efficiency		81.48	88.82	98.23	87.36	80.88	113.21	90.04	99.86
Slope		-3.86	-3.62	-3.36	-3.66	-3.88	-3.04	-3.58	-3.32
R ²		1	0.99	0.98	0.99	0.99	0.99	0.99	0.99
Intercept		24.05	26.31	26.37	24.91	24.91	22.68	28.32	27.64

3.2.4 ความเที่ยง (precision) และความแม่นยำ (accuracy) ความสามารถในการทวนซ้ำ (repeatability) ของปฏิกิริยา Tetraplex real-time PCR

ทดสอบความเที่ยงและความแม่นยำของปฏิกิริยาโดยในแต่ละรอบของการทดสอบมีจำนวนซ้ำ 10 ชั้้า ทำการทดสอบ 3 รอบการทดสอบ เพื่อทดสอบหากความสามารถในการทวนซ้ำของยีนเป้าหมาย *CaMV35S promoter*, *NOS terminator*, *MON71800*, *ACC-1*, *HMG*, *Lectin*, *CruA* และ *MON71200* เมื่อเปรียบเทียบค่า Cp ที่ได้จากการทำในแต่ละรอบพบว่า %RSD อยู่ระหว่าง 1.25 ถึง 2.59 ซึ่งถือว่าผลการทดสอบมีความเที่ยง และความแม่นยำสูง ในขณะที่เมื่อเปรียบเทียบค่าที่ได้จากการทดสอบ 3 รอบน้ำค่าเฉลี่ย Cp ที่ได้มาคำนวณหาค่าเฉลี่ยระหว่างรอบ ส่วนเบี่ยงเบนมาตรฐานและ ร้อยละส่วนเบี่ยงเบนมาตรฐานสัมพัทธ์ของแต่ละยีนพบว่า มีค่าอยู่ระหว่าง 0.04 ถึง 1.8 อยู่ในเกณฑ์การยอมรับได้ของ การตรวจสอบพืชด้ดแปลงพันธุกรรมเชิงคุณภาพด้วยเทคนิค Multiplex real-time PCR ที่ค่า %RSD ต้องน้อยกว่าร้อยละ 25 (Broeders et al., 2014 และ Del Gaudio et al., 2012) แสดงถึงวิธีการทดสอบ สะดวกที่ใช้ในการทดสอบ ไพรเมอร์probที่ใช้ในการทดสอบ มีความเที่ยง ความแม่นยำ และสามารถทวนซ้ำได้ของการตรวจคัดกรองและจำแนกข้าวสาลีด้ดแปลงพันธุกรรม

Table 3.2-6 Precision accuracy and repeatability of Tetraplex real-time PCR

Replication	Average Cp							
	35S	NOS	MON17800	ACC-1	HMG	Lectin	CruA	MON71200
1	33.97	34.03	34.62	33.84	35.75	34.86	34.40	35.06
2	34.19	34.00	34.97	34.16	34.69	34.51	34.50	35.24
3	34.29	33.99	35.02	34.33	34.62	34.36	34.26	35.70
Average	34.15	34.01	34.87	34.11	35.02	34.58	34.39	35.33
SD	0.16	0.01	0.21	0.25	0.63	0.25	0.12	0.32
RSD (%)	0.47	0.04	0.62	0.73	1.80	0.72	0.35	0.93

3.2.5 ขีดจำกัดของการตรวจวิเคราะห์

ทดสอบเพื่อหาค่าขีดจำกัดของการตรวจวิเคราะห์ของชุดยีนที่ 1 ได้แก่ *CaMV35S promoter*, *NOS terminator*, *MON71800* และ *ACC-1* เนื่องจากวัสดุที่ใช้ทำการทดสอบเป็น พลาสมิดดีเอ็นเอที่ได้จากการสังเคราะห์ pUC57-MON71800 ซึ่งมียีนเป้าหมายเป็นองค์ประกอบครบถ้วน 4 ยีน (Figure 2.2-1) จึงทำการทดสอบที่ระดับความเข้มข้น 10, 1 และ 0.1 พิโครกรัม ทำการทดสอบ 10 ชั้้า โดยที่ 0.1 พิโครกรัม ค่าการทดสอบที่สามารถตรวจพบยีนมีค่า'n้อยกว่าร้อยละ 90 หรือน้อยกว่า 9 ตัวอย่างใน 10 ตัวอย่าง ซึ่งค่าขีดจำกัดของการ

ตรวจวิเคราะห์จะต้องมีค่ามากกว่าร้อยละ 90 จึงสามารถยอมรับได้ (Anonymous, 2011 และ Broeders et al., 2014) ในขณะที่ 1 พิโตรกรัมพบว่าทั้ง 4 ยีนเป้าหมายมีค่าการตรวจพบร้อยละ 100 จึงทำให้ทราบว่า ค่าขีดจำกัดของการตรวจวิเคราะห์ของยีน *CaMV35S promoter*, *NOS terminator*, *MON71800* และ *ACC-1* โดยใช้พลาสมิด *pUC57-MON71800* เป็นวัสดุในการทดสอบอยู่ที่ 1 พิโตรกรัมพลาสมิด ดังที่แสดงใน Table 3.2-7 สำหรับการตรวจวิเคราะห์ของชุดยีนที่ 2 ได้แก่ *HMG*, *Lectin*, *CruA* และ *MON71200* ใช้วัสดุทดสอบเป็นข้าวสาลีไม่ดัดแปลงพันธุกรรมที่มีการเติม ข้าวโพด ถั่วเหลือง คานาโนลา และพลาสมิด *MON71200* (Wako) ที่ร้อยละ 10, 1, 0.1, 0.05 และ 0.01 พบว่า ยีนเป้าหมาย *HMG*, *Lectin* และ *CruA* ระดับการปะปนต่ำสุดที่ตรวจพบอยู่ที่ร้อยละ 0.05 ในขณะที่ ยีน *MON71200* มีระดับการปะปนต่ำสุดที่ตรวจพบอยู่ที่ร้อยละ 0.1 ทั้งนี้ในปฏิกิริยา Tetraplex Real-time PCR เป็นการตรวจ 4 ยีนเป้าหมายในปฏิกิริยาเดียวกัน จึงสรุได้ว่าชุดยีนที่ 2 มีค่าขีดจำกัดของการตรวจวิเคราะห์ที่ร้อยละ 0.1 ของการปะปน ดังที่แสดงใน Table 3.2-8

Table 3.2-7 Limit of detection (LOD) of PUC57-MON71800 plasmid for detection of *CaMV35S* promoter, *NOS* terminator, *MON71800* event specific element and *ACC-1* in Tetraplex Real-Time PCR reaction. (n=10)

Target	Replication	Ratio (Detect : Non-detect)		Limit of detection (LOD)
		1 pg	0.1 pg	
<i>CaMV35S</i> promoter	10	10:0	5:5	1 pg
<i>NOS</i> terminator	10	10:0	4:6	1 pg
<i>MON71800</i>	10	10:0	3:7	1 pg
<i>ACC-1</i>	10	10:0	7:3	1 pg

Table 3.2-8 Limit of detection (LOD) of *HMG*, *Lectin*, *CruA* and *MON71200* event specific element in Tetraplex Real-Time PCR reaction. (n=10)

Target	Replication	Ratio (Detect : Non-detect)			Limit of detection (LOD)
		0.1%	0.05%	0.01%	
<i>HMG</i>	10	10:0	10:0	1:9	0.05%
<i>Lectin</i>	10	10:0	10:0	0:10	0.05%
<i>CruA</i>	10	10:0	10:0	2:8	0.05%
<i>MON71200</i>	10	10:0	0:10	0:10	0.1%

3.2.6 ขยายผลการตรวจวิเคราะห์ตัวอย่างทดสอบด้วยวิธี Tetraplex Real-time PCR

ขยายผลการทดสอบ ชุดไพรเมอร์เพรบด้วยวิธีการ Tetraplex Real-time PCR ของชุดที่ 1 และ 2 เพื่อประเมินความเป็นไปได้ของนำมาใช้ทดสอบจริง โดยทดสอบกับตัวอย่างข้าวสาลีที่มีการนำมาส่งตรวจจริงที่ห้องปฏิบัติการกลุ่มวิจัยพัฒนาการตรวจสอบพืชและจุลินทรีย์ด้ดแพลงพันธุกรรม ภายใต้มาตรฐาน ISO/IEC17025:2017 จำนวน 30 ตัวอย่างพบว่า มี 7 ตัวอย่างที่มีการตรวจพบยืน NOS terminator ในการตรวจชุดยืนที่ 1 จำนวนนั้นนำตัวอย่างทั้ง 7 ตัวอย่างนั้นมาดำเนินการตรวจต่อในชุดยืนที่ 2 พบว่ามีการตรวจพบยืน CruA ของคานโอล่า จึงสรุปได้ว่ามีการปะปนของคานโอล่าด้ดแพลงพันธุกรรมในตัวอย่างที่ส่งตรวจจำนวน 7 ตัวอย่างจาก 30 ตัวอย่าง ดังแสดงใน Table 3.2-9 ซึ่งมีความเป็นไปได้ว่าเกิดจากผู้ผลที่ปะปนในระหว่างการขนส่ง นอกจากนั้นทำการทดสอบด้วย Blind sample ข้าวสาลีไม่ดัดแพลงพันธุกรรมที่มีการเติม (Spike) พืชดัดแพลงพันธุกรรมชนิดต่างๆ พบว่าวิธีการทดสอบสามารถตรวจพบยืนเป้าหมายได้ตรงตามชนิดตัวอย่างนั้นๆ แสดงถึงประสิทธิภาพของวิธีการทดสอบในการตรวจคัดกรองพืชดัดแพลงพันธุกรรมที่มีการปะปนมากับข้าวสาลี และสามารถจำแนกสายพันธุ์ข้าวสาลีดัดแพลงพันธุกรรม MON71800 และ MON71200 ได้ดังแสดงใน Table 3.2-10 สอดคล้องกับวิธีการตรวจวิเคราะห์ของ Kim et al., 2015 และ รายงานของ EURL GMFF, 2018, <https://gmo-crl.jrc.ec.europa.eu/unauthorised-gmos>

Table 3.2-9 Testing of 30 wheat samples from ISO/IEC17025 laboratory in 2 sets of primers and probe (n=2)

Sample no.	First set of primers and probes (Mean Cp ± SD)				Result	Second set of primers and probes (Mean Cp ± SD)				Result
	35S	NOS	ACC-1	MON71800		HMG	Lectin	CruA	MON71200	
6766	Not-detect	Not-detect	Detected	Not-detect	Non-GM	N/A	N/A	N/A	N/A	N/A
1715	Not-detect	Not-detect	Detected	Not-detect	Non-GM	N/A	N/A	N/A	N/A	N/A
1069	Not-detect	Not-detect	Detected	Not-detect	Non-GM	N/A	N/A	N/A	N/A	N/A
1071	Not-detect	Not-detect	Detected	Not-detect	Non-GM	N/A	N/A	N/A	N/A	N/A
1070	Not-detect	Not-detect	Detected	Not-detect	Non-GM	N/A	N/A	N/A	N/A	N/A
0988	Not-detect	Not-detect	Detected	Not-detect	Non-GM	N/A	N/A	N/A	N/A	N/A
0989	Not-detect	Not-detect	Detected	Not-detect	Non-GM	N/A	N/A	N/A	N/A	N/A
0990	Not-detect	Not-detect	Detected	Not-detect	Non-GM	N/A	N/A	N/A	N/A	N/A
0789	Not-detect	Not-detect	Detected	Not-detect	Non-GM	N/A	N/A	N/A	N/A	N/A
0602	Not-detect	Detected	Detected	Not-detect	GM	Not-detect	Not-detect	Detecte	Not-detect	Canola GM
0448	Not-detect	Detected	Detected	Not-detect	GM	Not-detect	Not-detect	Detecte	Not-detect	Canola GM
0391	Not-detect	Detected	Detected	Not-detect	GM	Not-detect	Not-detect	Detecte	Not-detect	Canola GM
0392	Not-detect	Detected	Detected	Not-detect	GM	Not-detect	Not-detect	Detecte	Not-detect	Canola GM
0870	Not-detect	Detected	Detected	Not-detect	GM	Not-detect	Not-detect	Detecte	Not-detect	Canola GM
0072	Not-detect	Detected	Detected	Not-detect	GM	Not-detect	Not-detect	Detecte	Not-detect	Canola GM
1112	Not-detect	Detected	Detected	Not-detect	GM	Not-detect	Not-detect	Detecte	Not-detect	Canola GM
0451	Not-detect	Not-detect	Detected	Not-detect	Non-GM	N/A	N/A	N/A	N/A	N/A
1107	Not-detect	Not-detect	Detected	Not-detect	Non-GM	N/A	N/A	N/A	N/A	N/A
1031	Not-detect	Not-detect	Detected	Not-detect	Non-GM	N/A	N/A	N/A	N/A	N/A
1438	Not-detect	Not-detect	Detected	Not-detect	Non-GM	N/A	N/A	N/A	N/A	N/A
1504	Not-detect	Not-detect	Detected	Not-detect	Non-GM	N/A	N/A	N/A	N/A	N/A

Sample no.	First set of primers and probes (Mean Cp ± SD)				Result	Second set of primers and probes (Mean Cp ± SD)				Result
	35S	NOS	ACC-1	MON71800		HMG	Lectin	CruA	MON71200	
1686	Not-detect	Not-detect	Detected	Not-detect	Non-GM	N/A	N/A	N/A	N/A	N/A
1937	Not-detect	Not-detect	Detected	Not-detect	Non-GM	N/A	N/A	N/A	N/A	N/A
1957	Not-detect	Not-detect	Detected	Not-detect	Non-GM	N/A	N/A	N/A	N/A	N/A
2020	Not-detect	Not-detect	Detected	Not-detect	Non-GM	N/A	N/A	N/A	N/A	N/A
2073	Not-detect	Not-detect	Detected	Not-detect	Non-GM	N/A	N/A	N/A	N/A	N/A
2079	Not-detect	Not-detect	Detected	Not-detect	Non-GM	N/A	N/A	N/A	N/A	N/A
0042	Not-detect	Not-detect	Detected	Not-detect	Non-GM	N/A	N/A	N/A	N/A	N/A
0043	Not-detect	Not-detect	Detected	Not-detect	Non-GM	N/A	N/A	N/A	N/A	N/A
0157	Not-detect	Not-detect	Detected	Not-detect	Non-GM	N/A	N/A	N/A	N/A	N/A

Table 3.2-10 Blind test of spiked different kinds of GM samples in non-GM wheat DNA for testing on designed 2 sets of primers and probes (n=3)

Spiked GM to non-GM wheat	First set of primers and probes (Mean Cp ± SD)				Result	Second set of primers and probes (Mean Cp ± SD)				Result
	35S	NOS	ACC-1	MON71800		HMG	Lectin	CruA	MON71200	
Corn NK603	Detected 31.22 ±0.00	Detected 29.00±0.14	Detected 23.01±0.67	Not-detect	GM contamination	Detected 25.51±0.39	Not-detect	Not-detect	Not-detect	GM corn contamination
Corn MON810	Detected 33.05±0.25	Not-detect	Detected 24.25±0.46	Not-detect	GM contamination	Detected 26.51±0.16	Not-detect	Not-detect	Not-detect	GM corn contamination
Corn MIR604	Not-detect	Detected 28.88±0.20	Detected 24.73±0.07	Not-detect	GM contamination	Detected 25.95±0.47	Not-detect	Not-detect	Not-detect	GM corn contamination
Soybean GTS403-2	Detected 27.88±0.42	Detected 26.07±0.35	Detected 23.58±0.26	Not-detect	GM contamination	Not-detect	Detected 25.64±0.18	Not-detect	Not-detect	GM soybean contamination
Soybean A2704-12	Detected 24.31±0.1	Not-detect	Detected 23.32±0.56	Not-detect	GM contamination	Not-detect	Detected 23.25±0.12	Not-detect	Not-detect	GM soybean contamination
Canola Rf3	Not-detect	Detected 33.17±0.40	Detected 24.17±0.19	Not-detect	GM contamination	Not-detect	Not-detect	Detected 33.66±0.18	Not-detect	GM canola contamination
pUC57- MON71800	Detected 11.85±0.06	Detected 11.54±0.07	Detected 9.92±0.16	Detected 15.90±0.39	MON71800 GM wheat	Not-detect	Not-detect	Not-detect	Not-detect	N/A
MON71200 Plasmid	Not-detect	Not-detect	Detected 23.08±0.56	Not-detect	Test in second set primers	Not-detect	Not-detect	Not-detect	Detected 32.82±0.17	MON71200 GM wheat

การทดลองที่ 3 พัฒนาวิธี Multiplex real-time PCR ในการตรวจจำแนกยืนถ้วนเหลืองดัดแปลงพันธุกรรม events A2704-12 Mon87701 Mon87705 Mon87769 Mon89788 และ GTS 40-3-2

3.3.1 การสกัดดีเอ็นเอ

ผลการสกัดดีเอ็นเอจากตัวอย่างวัสดุอ้างอิงรับรองถ้วนเหลืองดัดแปลงพันธุกรรม ถ้วนเหลืองไม่ดัดแปลงพันธุกรรม และข้าวโพดดัดแปลงพันธุกรรมดังแสดงใน Table 3.3-1 ผลการทดลองพบว่ามีความเข้มข้นดีเอ็นเอเฉลี่ยอยู่ในช่วง 364 ถึง 2,318 ng/μl โดยความเข้มดีเอ็นเอที่นำไปใช้ทดสอบเพียง 20 ng/μl ดังนั้นจึงมีปริมาณดีเอ็นเอมากเพียงพอสำหรับการนำไปตรวจยืนด้วยวิธี Real-time PCR และดีเอ็นเอมีคุณภาพ โดยมีค่าเฉลี่ย A_{260}/A_{280} อยู่ในช่วง 1.80 - 2.14 ซึ่งวิธีการสกัดดีเอ็นเอนั้นมีความสำคัญ เนื่องจากมีผลต่อคุณภาพของดีเอ็นเอที่สกัดได้และยังส่งผลกระทบต่อผลลัพธ์สุดท้ายของการทำปฏิกิริยา Real-time PCR (Houge et al., 2017) โดยปกติอัตราส่วนของ A_{260}/A_{280} ควรอยู่ระหว่าง 1.8 – 2.0 โดยหากมีค่าน้อยกว่า 1.8 แสดงว่าอาจมีการเจือปนของโปรตีน หรือสารประกอบฟีนอลบางส่วนจากขั้นตอนการสกัดดีเอ็นเอ ซึ่งสามารถดูดกลืนแสงได้ดีในช่วงความยาวคลื่น 280 nm และถ้า A_{260}/A_{280} มีค่ามากกว่า 2.0 แสดงว่าอาจมีการเจือปนของอาร์เอ็นเอ (Fraga et al., 2014; Lucena-Aguilar et al., 2016)

Table 3.3-1 the DNA concentration and DNA Ratio of DNA extraction

Plants	CRM events	CRM code	Certified value (%)	DNA concentration (ng/μl)	DNA Ratio A_{260}/A_{280}
Soybean	MON87701	AOCS 0809-A	100	1,142 ± 67	2.08 ± 0.02
	MON87705	AOCS 0210-A	100	2,138 ± 456	2.13 ± 0.01
	MON87769	AOCS 0809-B	100	1,945 ± 58	2.14 ± 0.00
	MON89788	AOCS 0906-B	100	1,510 ± 315	2.05 ± 0.02
	GTS 40-3-2	ERM®BF410ap	< 0.009 (blank)	611 ± 272	1.85 ± 0.13
	GTS 40-3-2	ERM®BF410cp	0.1	527 ± 94	1.85 ± 0.05
	GTS 40-3-2	ERM®BF410dp	1	364 ± 341	1.80 ± 0.12
	GTS 40-3-2	ERM®BF410dp	10	1,499 ± 298	1.97 ± 0.05
Corn	NK 603	ERM®BF415c	0.49	1,261 ± 159	2.11 ± 0.02

3.3.2 การปนเปื้อนของสารยับยั้งปฏิกิริยา

จากการทดสอบการปนเปื้อนของสารยับยั้งปฏิกิริยาในตัวอย่างดีเอ็นเอที่สกัดได้จากวัสดุอ้างอิงรับรองถ้วนเหลืองดัดแปลงพันธุกรรม GTS 40-3-2 ที่ระดับการปะปน 10% โดยการตรวจยืน Lectin ด้วยวิธี Simplex real-time PCR ผลการทดลองในการทดสอบอัตราการเจือจางดีเอ็นเอพบว่ามีค่า ΔC_t เท่ากับ 0.02 (ค่ามาตรฐาน $\Delta C_t \leq 2$) ค่าความชันของกราฟเท่ากับ -3.35 (ค่ามาตรฐาน $-3.1 \geq \text{Slope} \geq -3.6$) ค่า PCR efficiency เท่ากับ 98.83% และค่า R^2 มากกว่า 0.99 ซึ่งผลการทดสอบตั้งกล่าวทั้งหมดอยู่ในเกณฑ์มาตรฐาน โดยค่า C_t ซึ่งเป็นสัญญาณเรืองแสงเริ่มต้นนั้นสัมพันธ์แบบผกผันกับปริมาณดีเอ็นเอเริ่มต้น โดยตามทฤษฎีการที่ค่า C_t เพิ่มขึ้นเป็น 2 Copies ทุกรอบ ส่งผลให้ค่าความชันของกราฟเท่ากับ -3.322 ซึ่งทำให้มีค่า PCR efficiency เป็น 100% กล่าวคือ ปริมาณของ

ผลิตภัณฑ์เพิ่มขึ้นเป็นสองเท่าอย่างสมบูรณ์ในแต่ละรอบของช่วง Exponential phase (ออนไลน์, 2549; Life technologies, 2012) โดยการทดสอบการปนเปื้อนของสารยับยั้งปฏิกิริยาในการทดลองนี้พบว่ามีค่า PCR efficiency เท่ากับ 98.83% ซึ่งมีประสิทธิภาพทำให้ปริมาณดีเอ็นเอเพิ่มขึ้น 1.99 เท่าในแต่ละรอบปฏิกิริยา แสดงว่าดีเอ็นเอที่สกัดได้นั้นไม่มีสารยับยั้งปฏิกิริยา PCR ที่มีสาเหตุมาจากการที่ไม่มีคุณภาพ หรือสารตกค้างที่เกิดจากปฏิกิริยาการสกัดหรือทำดีเอ็นเอให้บริสุทธิ์ ซึ่งโดยปกติค่า PCR efficiency สำหรับวิธี Simplex Real-time PCR ควรอยู่ในช่วง 90 – 110% (Life technologies, 2012; Fraga et al., 2014)

3.3.3 ความจำเพาะด้วยปฏิกิริยา Real-time PCR

ผลการทดสอบความจำเพาะของไพรเมอร์และprobe ใน การตรวจยืนยันถัวเทลีองด้ดแปลงพันธุกรรม 6 สายพันธุ์ ด้วยวิธี Simplex Real-Time พบว่า probe และไพรเมอร์มีความจำเพาะสูงสำหรับตรวจยืนยัน CaMV35S promoter, Nos terminator, Cy1Ac, rbcS E9 terminator, event Mon87705, event Mon89788 และ Lectin โดยมีการแสดงสัญญาณค่า Ct ตั้งแต่ใน Table 3.3-2 ซึ่งมีความถูกต้องในการตรวจวิเคราะห์ 100% นอกจากนี้ชุดไพรเมอร์และprobe ดังกล่าวยังมีความจำเพาะสูงในการตรวจ 4 ยีนในปฏิกิริยาเดียวกันทั้งชุดการทดลอง A และ B ที่ได้ออกแบบไว้ โดยชุดการทดลอง A สามารถตรวจพบยีน CaMV35S promoter, Nos terminator, Cy1Ac และ Lectin และในชุดการทดลอง B สามารถตรวจพบยีน rbcS E9 terminator, event Mon87705, event Mon89788 และ Lectin โดยตรวจไม่พบยีนด้ดแปลงพันธุกรรมอื่นที่ไม่อยู่ในโครงสร้างยีน (Non-target GM DNA)

จากการทดสอบพบว่าค่า Ct ในการตรวจด้วยวิธี Tetraplex Real-Time มีค่าสูงกว่าวิธี Simplex Real-Time เมื่อตรวจยืนยัน CaMV35S promoter, Cy1Ac, event Mon87705 และ event Mon89788 อย่างไร ก็ตามค่า Ct ในการตรวจทั้งสองวิธีมีต่างกันเมื่อตรวจยืนยัน Nos terminator, rbcS E9 terminator (Mon87769, Mon89788) และ Lectin (Table 3.3-2) นอกจากนี้เมื่อทดสอบด้วยตัวอย่างข้าวโพดด้ดแปลงพันธุกรรม NK 603 พบว่ามีการตรวจพบยีน CaMV35S promoter และ Nos terminator และตรวจไม่พบยีนด้ดแปลงพันธุกรรมอื่น รวมถึงยีน Lectin ซึ่งเป็นยีนอ้างอิงของถัวเทลีอง แสดงให้เห็นว่าผลการทดสอบถูกต้องสอดคล้องกับโครงสร้างการด้ดแปลงพันธุกรรมของพืชชนิดและถัวเทลีองสายพันธุ์ต่าง ๆ ที่ใช้ในการทดสอบ

โดยไพรเมอร์และprobe ที่มีความจำเพาะเป็นสิ่งสำคัญ เนื่องจากหากมีการใช้ไพรเมอร์แบบสุ่ม (Random primers) หรือไพรเมอร์ที่มีความจำเพาะต่ำจะทำให้ไม่สามารถตรวจพบยีนเป้าหมายที่สนใจ หรืออาจเกิดการลดปริมาณของดีเอ็นเอจากการทำปฏิกิริยาได้ (Life technologies, 2012) นอกจากนี้การตรวจยืนยันถัวเทลีองด้ดแปลงพันธุกรรมด้วยวิธี Tetraplex Real-time ทำให้สามารถจำแนกได้ว่าตัวอย่างดังกล่าวเป็นถัวเทลีอง ด้ดแปลงพันธุกรรมใน 6 สายพันธุ์ หรือไม่ ด้วยการตรวจยืนด้วยไพรเมอร์และprobe จำนวน 2 ชุด (A และ B) ในขณะที่ห้องปฏิบัติการตรวจวิเคราะห์โดยทั่วไปนิยมตรวจเพียงยีน CaMV35S promoter ที่ได้จากไวรัสพืช Cauliflower mosaic virus (CaMV) และยีน Nos terminator ที่ได้จากแบคทีเรีย Agrobacterium tumefaciens (Bak and Emerson, 2019) ซึ่งเป็นยีนที่นิยมตัดต่อในพืชด้ดแปลงพันธุกรรมด้วยวิธี Simplex Real-Time แต่งานวิจัยนี้แสดงให้เห็นว่ามีถัวเทลีองด้ดแปลงพันธุกรรมถึง 4 สายพันธุ์ คือ Mon87701, Mon87769, Mon 89788 และ Mon87705 ซึ่งไม่มียีน CaMV35S promoter และ Nos terminator ในโครงสร้างยีน แสดงว่าการตรวจไม่พบทั้งสองยีนดังกล่าวไม่สามารถยืนยันได้ว่าเป็นพืชที่ไม่ด้ดแปลงพันธุกรรม นอกจากนี้ได้มีการรายงานว่าการตรวจสอบพืชด้ดแปลงพันธุกรรมด้วยวิธี Multiplex Real-time PCR ช่วยเพิ่มประสิทธิภาพในการทำงาน (มีจำนวนตัวอย่างต่อเพลทมากขึ้น) ลดปริมาณตัวอย่างที่ใช้ ลดปริมาณสารเคมีและ

วัสดุวิทยาศาสตร์ได้ถึง 2 เท่า ลดความคาดเคลื่อนจากการใช้ปีเปต (Pipet precision errors) อีกทั้งยังประหยัดเวลาทำงาน เนื่องจากสามารถตรวจหลายยืนได้ภายในปฏิกริยาเดียว (ปิยรัตน์ และคณะ, 2561a; Bak and Emerson, 2019)

Table 3.3-2 The C_t of specific test on soybean GM by Simplex and Tetraplex Real-time

RT-PCR	Condition of experiment A (C_t)				Condition of experiment B (C_t)			
	<i>CaMV35S</i>	<i>Nos</i>	<i>Cy1Ac</i>	<i>Lectin</i>	<i>rbcS E9</i>	Mon87705	Mon89788	<i>Lectin</i>
GM-Event	GTS 40-3-2				Mon87769			
Simplex	27.72 ± 0.86	28.38 ± 0.15	NA	23.49 ± 0.11 32.37 ± 0.19	NA	NA	NA	NA
Tetraplex	30.13 ± 0.40	28.34 ± 0.34	ND	21.13 ± 1.45 32.02 ± 0.36	ND	ND	29.22 ± 0.29	
GM-Event	A2704-12				Mon 89788			
Simplex	24.54 ± 0.40	NA	NA	NA	29.78 ± 0.21	NA	28.28 ± 0.36	NA
Tetraplex	26.54 ± 0.27	ND	ND	23.28 ± 0.38 30.97 ± 0.58	ND	29.44 ± 0.69	28.18 ± 0.83	
GM-Event	Mon87701				Mon87705			
Simplex	NA	NA	25.71 ± 0.11	NA	29.55 ± 0.36	26.01 ± 1.16	NA	NA
Tetraplex	ND	ND	29.77 ± 0.19	23.51 ± 0.72	31.70 ± 0.21	30.15 ± 0.33	ND	28.06 ± 0.63
GM-Event	5% NK603				5% NK603			
Simplex	28.04 ± 1.90	34.11 ± 2.10	NA	ND	NA	NA	NA	ND
Tetraplex	32.42 ± 1.68	28.82 ± 1.01	ND	ND	ND	ND	ND	ND

Remark: NA = Not analyzed gene, ND = not detected non-target gene

3.3.4 ความเข้มข้นที่เหมาะสมของไพรเมอร์และโพรบ

จากการทดสอบเพื่อหาความเข้มข้นของไพรเมอร์และโพรบที่เหมาะสมด้วยเทคนิค Tetraplex Real-time PCR ซึ่งได้มีการออกแบบฉลากสีโพรบที่แตกต่างกันเพื่อลดการซ้อนทับของช่วงคลีนรีแลนด์ ทำให้สามารถแยกการตรวจจับยืนถ้วนเหลือดีดแบ่งพันธุกรรมได้อย่างมีประสิทธิภาพ โดยมีฉลากสีโพรบ/ Quencher จำนวน 4 ช่วงและที่แตกต่างกันในแต่ละชุดการทดสอบ ได้แก่ FAM/BHQ1, Hex/BHQ1, Cy5/BHQ3 และ TxRd/BHQ2 ซึ่งมีการปลดปล่อยสเปกตรัมสูงสุดเท่ากับ 515, 555, 603 และ 674 nm ตามลำดับ นอกจากนี้ การเลือกใช้ Black Hole Quencher (BHQ) ยังช่วยลดการเรืองแสงของพื้นหลังเนื่องจากมีปลดปล่อยความร้อน แทนแสงปกติ และยังเพิ่มอัตราส่วนสัญญาณการตรวจจับยืนเป้าหมายต่อสัญญาณรบกวน ส่งผลให้ความไวในการตรวจจับสูงขึ้นเมื่อเปรียบเทียบกับการใช้ Quencher ชนิด DABCYL หรือ TAMRA (Sigma-Aldrich, 2014) จากการทดสอบความเข้มข้นไพรเมอร์และโพรบ 3 ระดับ คือ ที่สภาวะอ้างอิง (1X) ความเข้มข้นไพรเมอร์และโพรบที่ลดลง -30% (0.7X) และความเข้มข้นไพรเมอร์และโพรบที่เพิ่มขึ้น +30% (1.3X) ผลการทดสอบพบว่าทุกสภาวะสามารถตรวจจำแนกยืน *CaMV35S* promoter, *Nos* terminator, *Cy1Ac* และ *Lectin* ในชุดการทดลอง A พร้อมทั้งตรวจพบยืน *rbcS E9* terminator, event Mon87705, event Mon89788 และ *Lectin* ในชุดการทดลอง B ซึ่งมีความถูกต้องโดยตรวจไม่พบยืนดีดแบ่งพันธุกรรมอื่นที่ไม่อยู่ในโครงสร้างยืนและตรวจพบทุกชี้ (100%) ที่ทำการทดสอบดังแสดงใน Table 3.3-3

ผลการทดลองพบว่าเมื่อลดความเข้มข้นของไพรเมอร์และโพรบอยู่ที่ระดับ 0.7X ทำให้ค่า C_t ของทั้ง 7 ยืนที่ทดสอบมีค่าเฉลี่ยสูงขึ้นซึ่งแตกต่างอย่างมีนัยสำคัญทางสถิติ ($P \leq 0.05$) แสดงถึงความไวและประสิทธิภาพของปฏิกริยา Tetraplex Real-time PCR ที่ลดลง (Table 3.3-3) แต่เมื่อทดสอบความเข้มข้นของไพรเมอร์และ

_probeที่ระดับ 1X ส่งผลให้ค่าเฉลี่ย C_t ของการตรวจจำแยกยืน Nos terminator, Cy1Ac และ event Mon87705 มีค่าน้อยที่สุดเป็น 28.34, 29.77 และ 30.15 ตามลำดับ ในขณะที่เมื่อเพิ่มความเข้มข้นของไพรเมอร์และprobeที่ระดับ 1.3X ส่งผลให้ค่าเฉลี่ย C_t ของการตรวจจำแยกยืน CaMV35S promoter และ event Mon89788 มีค่าต่ำที่สุด (ไม่รวมยืน Lectin ซึ่งเป็นยืนอ้างอิงของถั่วเหลือง) นอกจากนี้การตรวจจำแยกยืน rbcS E9 terminator มีค่าเฉลี่ย C_t ไม่แตกต่างกันที่ระดับ 1X และ 1.3X เมื่อทดสอบในวัสดุอ้างอิงรับรอง Mon89788 และ Mon87705 ดังแสดงใน Table 7 ดังนั้น ความเข้มข้นไพรเมอร์และprobeที่ระดับ 1X มีความเหมาะสมสำหรับการตรวจถั่วเหลืองด้วยดีแอลพีทีเรียลไทม์ 6 สายพันธุ์ ด้วยวิธี Tetraplex Real-time PCR เนื่องจากให้ค่าความไวของการตรวจจำแนกยืนที่มีประสิทธิภาพ และใช้ความเข้มข้นที่ต่ำกว่าส่งผลให้ประหยัดค่าใช้จ่ายในการตรวจวิเคราะห์

ความเข้มข้นไพรเมอร์และprobeที่เหมาะสมเป็นสิ่งสำคัญของการเพิ่มประสิทธิภาพปฏิกิริยา Multiplex Real-time PCR โดยความเข้มข้นของไพรเมอร์ที่มีจำกัดส่งผลให้อัตราการเพิ่มปริมาณดีเอ็นเอ เป้าหมายลดลง (Life technologies, 2012) ซึ่งเป็นสาเหตุให้สภาวะความเข้มข้นของไพรเมอร์และprobeต่ำ (0.7X) มีค่า C_t ที่สูงและความไวของปฏิกิริยาลดลง ในทางตรงข้ามความเข้มข้นของไพรเมอร์ที่สูงเกินไปทำให้เกิดสภาวะ Multiplex Real-time PCR อิมตัว เนื่องจากเกิดการเพิ่มปริมาณดีเอ็นเอที่มากจนเกิดภาวะอิมตัวส่งผลให้ DNA polymerase ยับยั้งการสังเคราะห์จากดีเอ็นเอต้นแบบที่มีปริมาณน้อย (Life technologies, 2012) ซึ่งอาจเป็นผลให้สภาวะความเข้มข้นของไพรเมอร์และprobeสูง (1.3X) มีค่า C_t และความไวของปฏิกิริยาน้อยลงแต่ต่างจากสภาวะอ้างอิง (1X) สำหรับการตรวจยืน rbcS E9 terminator อย่างไรก็ตามยืนเป้าหมายแต่ละชนิดมีปริมาณและจำนวนสำเนาดีเอ็นเอที่แตกต่างกัน ทำให้ความสามารถในการเพิ่มประสิทธิภาพของปฏิกิริยาไม่เท่ากัน ยกตัวอย่าง เช่น ยืน Lectin เป็นยืนอ้างอิงจำเพาะของถั่วเหลืองซึ่งโดยปกติมีจำนวนสำเนายืนที่สูง การใช้ความเข้มข้นของไพรเมอร์และprobeที่ต่ำเพียง 0.050 และ 0.025 μM ตามลำดับ ก็เพียงพอต่อการทำปฏิกิริยา อีกทั้งยังมีความไวในการตรวจจับที่สูงโดยมีค่า C_t อยู่ในช่วง 21.13 ถึง 29.22 ดังแสดงใน Table 3.3-3 นั่นคือความเข้มข้นของไพรเมอร์และprobeที่เหมาะสมนั้นต้องมีเพียงพอต่อการเพิ่มปริมาณดีเอ็นเอ ในขณะที่ต้องมีปริมาณต่ำพอเพื่อให้ไพรเมอร์เข้าจับกับดีเอ็นเอต้นแบบได้หมดก่อนที่จะเกิดสภาวะดีเอ็นเอสะสมอีกตัว

Table 3.3-3 The C_t results of various primer-probe concentrations for detection genetically modified soybean by Tetraplex Real-time

Concentrations		Condition of experiment A (C _t)				Condition of experiment B (C _t)			
Target gene		CaMV35S	Nos	Cy1Ac	Lectin	rbcS E9	Mon87705	Mon89788	Lectin
GM-Event		GTS 40-3-2						Mon87769	
0.7X		32.66 c	31.17 c	ND	24.51 b	33.60 c	ND	ND	30.57 c
1.0X		30.13 b	28.34 a	ND	21.13 a	32.02 b	ND	ND	29.22 b
1.3X		29.64 a	30.14 b	ND	21.78 a	31.78 a	ND	ND	27.95 a
CV (%)		4.45	4.06	-	7.64	2.65	-	-	3.86
GM-Event		A2704-12						Mon 89788	
0.7X		28.51 c	ND	ND	25.40 c	32.77 b	ND	31.47 c	29.76 c
1.0X		26.54 b	ND	ND	23.28 b	30.97 a	ND	29.44 b	28.18 b
1.3X		25.10 a	ND	ND	21.15 a	30.59 a	ND	28.29 a	26.94 a
CV (%)		5.55	-	-	7.37	3.35	-	4.80	4.63
GM-Event		Mon 87701						Mon87705	

0.7X	ND	ND	31.00 c	26.37 c	33.38 b	30.96 c	ND	29.04 c
1.0X	ND	ND	29.77 a	23.51 b	31.70 a	30.15 a	ND	28.06 b
1.3X	ND	ND	30.25 b	22.30 a	31.14 a	30.65 b	ND	26.56 a
CV (%)	-	-	1.80	8.29	3.12	1.38	-	4.05

Remark: ND = not detected non-target GM gene, Means followed by difference letters indicate the difference among primer-probe concentrations in each sub-column by Duncan test ($P \leq 0.05$)

3.3.5 ค่าขีดจำกัดของการตรวจวิเคราะห์

จากการทดสอบขีดจำกัดของการตรวจวิเคราะห์โดยเฉลี่ยจากตีอั้นเอกสารเป็น 4 ระดับของการปะปนคือ 10, 1, 0.1 และ 0.01% ซึ่งมีค่าจีโนมดัดแปลงพันธุกรรมของถั่วเหลืองเป็น 8,849.5, 885, 88.5 และ 8.85 copies/reaction ตามลำดับ ผลการทดลองพบว่าเมื่อยืนเป้าหมายที่ทดสอบห้อง 7 ยืน มีร้อยละการเจือจางลดลงจาก 10 เป็น 0.01% ส่งผลให้ปฏิกิริยา Tetraplex Real-time PCR มีความไวในการตรวจจำแนกยืนลดลงโดยมีค่า C_t ที่สูงขึ้นซึ่งแตกต่างอย่างมีนัยสำคัญทางสถิติ ($P \leq 0.05$) ดังแสดงใน Table 3.3-4 โดยการตรวจจำแนกยืน *Cy1Ac*, *rbcS E9 terminator*, event Mon87705 และ event Mon89788 มีค่า LOD ต่ำสุดที่น่าเชื่อถือเท่ากับ 0.1% ซึ่งตรวจพบทุกช้าและมีความถูกต้อง 100% นอกจากนี้การตรวจยืน *CaMV35S promoter* มีความไวที่แตกต่างกัน โดยในวัสดุอ้างอิงรับรอง GTS 40-3-2 และ A2704-12 มีค่า LOD เท่ากับ 0.1 และ 0.01% ตามลำดับ ในขณะที่การตรวจจำแนกยืน *Nos terminator* และ *Lectin* สามารถตรวจยืนได้ที่ระดับการปะปน 0.01% แต่ผลของความถูกต้องลดลงเหลือ 83 และ 58% ตามลำดับ (Table 3.3-4) ดังนั้น เพื่อให้สามารถตรวจพบและจำแนกยืนถั่วเหลืองดัดแปลงพันธุกรรมได้ทั้งหมดในทุกตัวอย่างที่ทำการทดสอบ และมีความถูกต้อง 100% ด้วยวิธี Tetraplex Real-time PCR มีค่า LOD ต่ำสุดคือ 0.1% (88.5 copies/reaction)

โดยผลการทดลองในชุดการทดลอง A พบว่ามีค่า PCR efficiency สำหรับการตรวจวิเคราะห์ยืน *CaMV35S promoter*, *Nos terminator* และ *Cy1Ac* อยู่ในช่วง 93.34 – 100.07% ซึ่งมีประสิทธิภาพสูงกว่าชุดการทดลอง B ซึ่งมีค่า PCR efficiency สำหรับการตรวจยืน *rbcS E9 terminator*, event Mon87705 และ event Mon89788 อยู่ในช่วง 80.47 – 94.45% และค่า PCR efficiency สำหรับการตรวจยืน *Lectin* มีค่าสูงที่สุดในช่วง 113.15 – 118.19% (Table 3.3-4) โดยทั่วไปค่า PCR efficiency สำหรับวิธี Multiplex Real-time PCR ควรอยู่ในช่วง 80 – 120% (Bak and Emerson, 2019; Bustin et al., 2009) โดยหากมีค่าเกินกว่า 120% เป็นการบ่งชี้ว่ามีสารยับยั้งเกิดขึ้นในปฏิกิริยา เช่น คุณภาพดีอีนเอไมด์ หรือปริมาณดีอีนเอตันแบบสูงเกินไป ซึ่งสามารถแก้ไขด้วยการทำดีอีนเอให้บริสุทธิ์ และใช้ปริมาณดีอีนเอเริ่มต้นให้เหมาะสม ในทางตรงข้ามหากค่า PCR efficiency ต่ำกว่า 80% อาจมีสาเหตุจากความเข้มข้นของสารเคมีที่ใช้ทำปฏิกิริยาไม่เหมาะสม เช่น ความเข้มข้นของไพรเมอร์ โพรบ แมกนีเซียม หรือ DNA polymerase เป็นต้น อีกทั้งการเข้าแข่งขันในการทำปฏิกิริยาหลายยืนในหลอดทดลองเดียวกันอาจทำให้ประสิทธิภาพของ Multiplex Real-time PCR ลดลงได้ (Life technologies, 2012) ซึ่งในการทดลองนี้ผลการตรวจจำแนก 7 ยืนเป้าหมายอยู่ในเกณฑ์ดังกล่าว โดยค่า PCR efficiency ที่มีประสิทธิภาพใกล้เคียงทุกชุดมีค่าเท่ากับ 100.07% สำหรับการตรวจยืน *CaMV35S promoter* โดยใช้วัสดุอ้างอิงรับรอง A2704-12 ในการทดสอบ อย่างไรก็ตามค่า PCR efficiency ที่ได้ต่ำสุดเท่ากับ 80.47% แต่ยังสามารถเพิ่มปริมาณดีอีนเอขึ้นเป็น 1.8 เท่าต่อรอบในช่วง Exponential phase นอกจากนี้ผลการทดลองใน Table 8 ยังสอดคล้องกับค่าความชันของกราฟซึ่งอยู่ในเกณฑ์มาตรฐาน คือ $-2.92 \geq \text{Slope} \geq -3.91$

Table 3.3-4 The results of C_t, PCR efficiency, and slope on LOD testing for genetically modified soybean by Tetraplex Real-time

GM level	Target copies No.	Condition of experiment A (C _t)				Condition of experiment B (C _t)			
		CaMV35S	Nos	Cy1Ac	Lectin ^{1/}	rbcS E9	Mon87705	Mon89788	Lectin ^{1/}
GM-Event		GTS 40-3-2				blank	Mon87769		blank
10%	8,849.5	27.78 a	26.58 a	ND	24.91	29.47 a	ND	ND	26.96
1%	885	31.48 b	30.20 b	ND	28.75	33.32 b	ND	ND	30.15
0.1%	88.5	34.75 c	33.28 c	ND	31.28	36.90 c	ND	ND	33.05
0.01%	8.85	ND	36.94 d ^{2/}	ND	33.91	ND	ND	ND	36.43 ^{3/}
Efficiency (%)	-	93.50	96.15	-	118.19	85.91	-	-	113.15
Slope	-	-3.49	-3.42	-	-2.95	-3.71	-	-	-3.04
GM-Event		A2704-12				Mon 89788			
10%	8,849.5	26.54 a	ND	ND		28.55 a	ND	29.44 a	
1%	885	27.70 b	ND	ND		33.01 b	ND	32.62 b	
0.1%	88.5	31.53 c	ND	ND		36.05 c	ND	36.37 c	
0.01%	8.85	36.33 d	ND	ND		ND	ND	ND	
Efficiency (%)	-	100.07	-	-		84.81	-	94.45	
Slope	-	-3.32	-	-		-3.75	-	-3.46	
GM-Event		Mon 87701				Mon87705			
10%	8,849.5	ND	ND	27.37 a		28.38 a	29.02 a	ND	
1%	885	ND	ND	30.94 b		32.51 b	32.67 b	ND	
0.1%	88.5	ND	ND	34.36 c		36.18 c	36.49 b	ND	
0.01%	8.85	ND	ND	37.58 ^{3/}		ND	ND	ND	
Efficiency (%)	-	-	-	93.34		80.47	85.29	-	
Slope	-	-	-	-3.49		-3.90	-3.73	-	

Remark: Means followed by difference letters indicate the difference among LOD levels in each sub-column by Duncan test ($P \leq 0.05$), ND = not detected non-target GM gene, ^{1/} Lectin genes were analyzed by using GTS 40-3-2 blank diluted with corn DNA, ^{2/} The accuracy of gene detection is decreased to 83%, ^{3/} The accuracy of gene detection is decreased to 58%.

3.3.6 ปริมาณดีเอ็นเอต้นแบบ

Table 3.3-5 แสดงผลการแปรผันปริมาณดีเอ็นต้นแบบที่ความเข้มข้น 25, 50, 100 และ 150 ng/reaction ผลการทดลองพบว่าเมื่อความเข้มข้นดีเอ็นเอลดลงจาก 150 เป็น 25 ng/reaction ส่งผลให้ค่า C_t มีแนวโน้มสูงขึ้น ทำให้มีความไวในการตรวจจำแนกยืนลดลง โดยในชุดการทดลอง A พบว่าดีเอ็นเอต้นแบบความ

เข้มข้น 150 ng/reaction ให้ค่า C_t ตีที่สุดสำหรับการตรวจยืนยัน *Cry1Ac* และ *CaMV35S promoter* เมื่อใช้ Mon87701 และ A2704-12 เป็นวัสดุอ้างอิงรับรอง โดยมีค่า C_t 31.36 และ 29.10 ตามลำดับ ซึ่งผลสอดคล้องในการทดลอง B โดยที่ดีเอ็นเอความเข้มข้น 150 ng/reaction มีค่า C_t ต่ำที่สุดสำหรับการตรวจยืนยัน *rbcS E9 terminator*, event Mon87705 และ event Mon89788 เป็น 32.28 – 33.20, 32.09 และ 32.38 ตามลำดับ ในขณะที่ผลการตรวจยืนยัน *CaMV35S promoter*, *Nos terminator* และ *Lectin* ให้ค่า C_t ไม่ต่างกันในวัสดุอ้างอิงรับรอง GTS 40-3-2 เมื่อใช้ปริมาณดีเอ็นเอต้นแบบที่ความเข้มข้น 100 และ 150 ng/reaction (Table 3.3-5)

Table 3.3-5 The results of C_t on various DNA template concentrations for genetically modified soybean detection by Tetraplex Real-time

RT-PCR	Condition of experiment A (C_t)				Condition of experiment B (C_t)			
Target DNA (ng/re.)	<i>CaMV35S</i>	<i>Nos</i>	<i>Cy1Ac</i>	<i>Lectin</i>	<i>rbcS E9</i>	Mon87705	Mon89788	<i>Lectin</i>
GM-Event	GTS 40-3-2				Mon87769			
150	35.14 a	33.79 a	ND	23.50 a	33.07 a	ND	ND	21.71 a
100	34.58 a	33.89 a	ND	23.64 a	33.75 b	ND	ND	22.34 b
50	36.42 b ^{1/}	35.01 ab	ND	23.46 a	33.86 b	ND	ND	22.52 b
25	36.27 b ^{2/}	35.42 b ^{1/}	ND	24.02 b	34.71 c	ND	ND	23.14 c
GM-Event	A2704-12				Mon 89788			
150	29.10 a	ND	ND	24.18 a	32.28 a	ND	32.09 a	23.81 a
100	30.09 b	ND	ND	24.48 b	32.84 b	ND	33.30 b	23.87 a
50	31.49 c	ND	ND	25.60 c	33.71 c	ND	33.87 c	24.81 b
25	31.96 d	ND	ND	26.26 d	34.68 d	ND	34.71 d	25.45 c
GM-Event	Mon 87701				Mon87705			
150	ND	ND	31.36 a	23.07 a	33.20 a	32.38 a	ND	23.06 a
100	ND	ND	34.60 b	23.19 b	33.63 b	32.77 b	ND	23.61 b
50	ND	ND	34.86 bc ^{2/}	24.37 c	34.55 c	33.82 c	ND	24.43 c
25	ND	ND	36.07 c ^{2/}	25.05 c	35.44 d	34.55 d	ND	25.28 d

Remark: Means followed by difference letters indicate the difference among DNA template concentrations in each sub-column by Duncan test ($P \leq 0.05$), ND = not detected non-target GM gene, ^{1/} The accuracy of gene detection is decreased to 75 - 83%, ^{2/} The accuracy of gene detection is decreased to 50 - 58%.

โดยการตรวจยืนยัน *Lectin* โดยใช้วัสดุอ้างอิงรับรอง Mon89788 ก็ให้ค่า C_t ไม่แตกต่างเช่นเดียวกัน แสดงว่าความเข้มข้นของดีเอ็นเอต้นแบบที่เหมาะสมสำหรับตรวจคัดแยกถ้าเหลือองต์ดับเบลย์พันธุกรรม 6 สายพันธุ์ด้วยวิธี Tetraplex Real-time PCR อยู่ในช่วง 100 - 150 ng/reaction อย่างไรก็ตาม ปริมาณดีเอ็นเอต้นแบบที่มีความเข้มข้นต่ำ 25 - 50 ng/reaction มีความถูกต้องในการตรวจพบยืนยันลดลง โดยเฉพาะเมื่อใช้ GTS 40-3-2 และ Mon 87701 เป็นวัสดุอ้างอิงรับรอง

ซึ่งปริมาณดีเอ็นเอต้นแบบที่เหมาะสมเป็นอีกปัจจัยหนึ่งที่สำคัญต่อสิทธิภาพของการทำ Real-time PCR โดย Life technologies (2012) ได้รายงานว่าการทำปฏิกิริยา Real-time PCR แต่ละครั้งควรใช้ปริมาณดีเอ็นเอต้นแบบในช่วง 10 – 1000 copies หรือเทียบเท่ากับ 100 pg ถึง 1 μg สำหรับ genomic DNA ทั้งนี้ขึ้นอยู่กับ

ความจำเพาะของไพรเมอร์鄱รบ เนื่องจากการใช้ปริมาณดีอีนเอ็ตันแบบที่มากเกินไปอาจส่งผลให้เกิดการปนเปื้อนซึ่งไปลดประสิทธิภาพของกระบวนการ Real-time PCR แต่หากใช้ปริมาณดีอีนเอ็ตันแบบที่น้อยเกินไปส่งผลให้ความไวและความถูกต้องของปฏิกิริยาลดลง

3.3.7 ขยายผลการตรวจวิเคราะห์ตัวอย่างทดสอบด้วยวิธี Tetraplex Real-time PCR

จากการขยายผลวิเคราะห์ในตัวอย่างถั่วเหลือง ตัวอย่างสำหรับทดสอบความชำนาญ และตัวอย่างพืชชนิดอื่น ๆ รวมจำนวน 30 ตัวอย่าง ดังแสดงใน Table 3.3-6 พบว่า ผลการตรวจคัดกรองยืนด้ดแปลงพันธุกรรมด้วยวิธี Tetraplex Real-time PCR ที่ได้จากการพัฒนาในงานวิจัยนี้ตรวจพบยืน CaMV35S promoter, Nos terminator และ Lectin มีความถูกต้อง 100% ในทุกตัวอย่างทดสอบสอดคล้องกับผลการทดสอบของห้องปฏิบัติการตรวจวิเคราะห์พืชและผลิตภัณฑ์พืชด้ดแปลงพันธุกรรมด้วยวิธี Triplex Real-time PCR ซึ่งผ่านการรับรองจากมาตรฐานสากล ISO/IEC 17025

จากการตรวจคัดกรองยืนด้วยวิธี Triplex Real-time PCR ในตัวอย่างเมล็ดพันธุ์ถั่วเหลืองและถั่วเหลืองที่ใช้สำหรับการบริโภคจำนวน 10 ตัวอย่าง (1031 – 1572) ผลทดสอบไม่พบยืนด้ดแปลงพันธุกรรม แต่เมื่อขยายผลการตรวจวิเคราะห์ด้วยวิธี Tetraplex Real-time PCR ที่ได้จากการวิจัยนี้พบว่าตรวจพบยืนด้ดแปลงพันธุกรรม rbcS E9 terminator และ event Mon89788 จาก 4 ใน 10 ตัวอย่าง (1031, 1033, 1168 และ 1169) โดยจากโครงสร้างยืนที่ตรวจพบแสดงว่าทั้ง 4 ตัวอย่างดังกล่าวมีการປะปนของถั่วเหลืองด้ดแปลงพันธุกรรมสายพันธุ์ Mon89788 ซึ่งไม่มียืน CaMV35S promoter และ Nos terminator อยู่ในโครงสร้าง นอกจากนี้กลุ่มตัวอย่างถั่วเหลือง 0354 – 0872 ที่ตรวจพบเพียงยืน CaMV35S promoter และ Nos terminator ด้วยวิธี Triplex Real-time PCR ยังตรวจพบยืนด้ดแปลงพันธุกรรมชนิดอื่นเพิ่มเมื่อขยายผลการตรวจทดสอบด้วยวิธี Tetraplex Real-time PCR โดยจากการทดสอบพบว่า 9 ใน 10 ตัวอย่างตรวจพบยืน rbcS E9 terminator ร่วมกับยืน event Mon89788 และอีก 2 ตัวอย่าง (0693 และ 0872) ตรวจพบยืน Cy1Ac ดังแสดงใน Table 3.3-6 ซึ่งแสดงถึงการປะปนของถั่วเหลืองด้ดแปลงพันธุกรรมสายพันธุ์ Mon89788 และ Mon87701 ตามลำดับซึ่งจาก 10 ตัวอย่างในกลุ่มตัวอย่างนี้มีเพียงตัวอย่าง 0445 เท่านั้นที่มีการປะปนเฉพาะถั่วเหลืองด้ดแปลงพันธุกรรมสายพันธุ์ GTS 40-3-2 หรืออาจมีสายพันธุ์ A2704-12 ປะปนร่วมด้วย เนื่องจากตรวจพบทั้งยืน CaMV35S promoter และ Nos terminator โดยตัวอย่างที่ขยายผลการตรวจวิเคราะห์ทั้งหมดนี้ไม่พบการປะปนของถั่วเหลืองด้ดแปลงพันธุกรรมสายพันธุ์ Mon87705

เมื่อเปรียบเทียบผลการทดสอบในตัวอย่างถั่วเหลืองสำหรับทดสอบความชำนาญโดยที่ตัวอย่าง MyKIMIA PT soya V0667 และ USDA PT soya V0151 มีองค์ประกอบของยืนด้ดแปลงพันธุกรรม CaMV35S promoter, Nos terminator และ event Mon89788 อยู่ในตัวอย่างดังกล่าว ซึ่งงานวิจัยนี้ได้ตรวจพบยืน rbcS E9 terminator เพิ่มเติม ซึ่งเป็นยืนคัดกรองที่มีอยู่ในโครงสร้างของถั่วเหลืองด้ดแปลงพันธุกรรมสายพันธุ์ Mon89788 นอกจากนี้ยังพบยืน Cy1Ac ที่อยู่ในโครงสร้างถั่วเหลืองด้ดแปลงพันธุกรรมสายพันธุ์ Mon87701 ปะปนอยู่ในตัวอย่าง V0667 อีกด้วย ในขณะที่ตัวอย่าง USDA PT soya V0278 และ USDA PT soya V0150 มีองค์ประกอบของยืน CaMV35S promoter, Nos terminator, event GTS 40-3-2, event A2704-12 และ event DP305423 ในตัวอย่างทดสอบ จะเห็นได้ว่าตัวอย่างถั่วเหลืองด้ดแปลงพันธุกรรมสำหรับทดสอบความชำนาญทั้ง 4 ตัวอย่าง มีการตรวจพบยืนคัดกรอง CaMV35S promoter และ Nos terminator ซึ่งสอดคล้องกับการตรวจ โดยพบว่าเป็นถั่วเหลืองด้ดแปลงพันธุกรรมสายพันธุ์ event GTS 40-3-2 เนื่องจากมียืนทั้งสองอยู่ใน

โครงสร้างของถั่วเหลืองดัดแปลงพันธุกรรมสายพันธุ์ดังกล่าว อย่างไรก็ตามการตรวจพบยืนคัดกรอง CaMV35S promoter ร่วมกับยืน Nos terminator อาจพบ event A2704-12 ปะปนร่วมอยู่ด้วยหรือไม่ก็ได้เนื่องจากมียืน CaMV35S promoter อยู่ในโครงสร้าง ยกตัวอย่างเช่น V0278 และ V0150 มียืน event A2704-12 แต่ในตัวอย่าง V0667 และ V0151 ไม่พบยืน event A2704-12 ซึ่ง Huber et al (2013) ได้รายงานผลการตรวจตัวอย่างถั่วเหลืองและตัวอย่างสำหรับทดสอบความชำนาญให้ผลการทดลองที่สอดคล้องกับงานวิจัยนี้ และการตรวจพบเพียงยืน CaMV35S promoter แสดงถึงการปะปนของถั่วเหลืองดัดแปลงพันธุกรรมสายพันธุ์ A2704-12

นอกจากนี้ในตัวอย่างทดสอบอื่นๆ ได้แก่ เมล่อน แบ่มันสำปะหลัง ข้าวโพดผักอ่อน ข้าวโพดกระป่อง และเมล็ดมะลูกอ ตรวจไม่พบยืน Lectin ซึ่งเป็นยืนอ้างอิงของถั่วเหลือง แสดงว่าการไม่มีการปะปนของถั่วเหลืองในการทดสอบ และวิธี Tetraplex Real-time PCR นั้นมีความจำเพาะในการตรวจตัวอย่างที่มีองค์ประกอบจากถั่วเหลืองอย่างมีประสิทธิภาพ (Table 3.3-6) อย่างไรก็ตาม ในตัวอย่างซื้อสักถั่วเหลืองนั้นตรวจไม่พบยืน Lectin ทั้งในวิธี Triplex และ Tetraplex Real-time PCR เนื่องจากเป็นผลิตภัณฑ์ที่ผ่านกระบวนการแปรรูปหลายขั้นตอนส่งผลให้ดีเอ็นเอถูกทำลายและไม่สามารถเพิ่มปริมาณดีเอ็นเอได้ จึงตรวจไม่พบยืนดังกล่าว (เกศสุนี และคณะ, 2553; Cardarelli et al., 2005) โดยงานวิจัยนี้ได้ออกแบบให้มีการตรวจยืนคัดกรองซึ่งมีประโยชน์ในการวิเคราะห์ขั้นต้นว่าถั่วเหลืองหรือพืชชนิดต่างๆ มีการดัดแปลงพันธุกรรมหรือไม่ สามารถตรวจวิเคราะห์ในตัวอย่างได้อย่างกว้างขวาง แต่หากต้องการตรวจเพื่อแยกว่าเป็นสายพันธุ์ใดโดยละเอียดควรมีการตรวจแบบยืนจำเพาะ ซึ่งในการทดลองนี้สามารถตรวจหา>yืนคัดกรองด้วยวิธี Tetraplex Real-time PCR ในชุดการทดลอง A และยังสามารถตรวจยืนจำเพาะของถั่วเหลืองดัดแปลงพันธุกรรมในชุดการทดลอง B ได้อย่างมีประสิทธิภาพ สามารถใช้ทดสอบในตัวอย่างที่มีความหลากหลายทั้งพืชสด และผลิตภัณฑ์แปรรูป

Table 3.3-6 Soybean food and seed, PT samples, and plant samples screened by Tetraplex Real-time compared with Triplex Real-time PCR assay which analyzing by Research and Development of GM Plant & Microbe Detection Lab

Samples and code names	Tetraplex Real-time: experiment A				Tetraplex Real-time: experiment B				Triplex Real-time PCR		
	CaMV35S	Nos	Cy1Ac	Lectin	rbcS E9	Mon87705	Mon89788	Lectin	CaMV35S	Nos	Endogenous*
soybean (food) 1031, soybean (food) 1032	- , -	- , -	- , -	+ , +	+ , -	- , -	+ , -	+ , +	- , -	- , -	+ , +
soybean (food) 1033, soybean (seed) 1168	- , -	- , -	- , -	+ , +	+ , +	- , -	+ , +	+ , +	- , -	- , -	+ , +
soybean (seed) 1169, soybean (seed) 1170	- , -	- , -	- , -	+ , +	+ , -	- , -	+ , -	+ , +	- , -	- , -	+ , +
soybean (food) 1569, soybean (food) 1570	- , -	- , -	- , -	+ , +	- , -	- , -	- , -	+ , +	- , -	- , -	+ , +
soybean (food) 1571, soybean (food) 1572	- , -	- , -	- , -	+ , +	- , -	- , -	- , -	+ , +	- , -	- , -	+ , +
soybean (food) 0354, soybean (food) 0355	+ , +	+ , +	- , -	+ , +	+ , +	- , -	+ , +	+ , +	+ , +	+ , +	+ , +
soybean (food) 0390, soybean (food) 0445	+ , +	+ , +	- , -	+ , +	+ , -	- , -	+ , -	+ , +	+ , +	+ , +	+ , +
soybean (food) 0517, soybean (seed) 0603	+ , +	+ , +	- , -	+ , +	+ , +	- , -	+ , +	+ , +	+ , +	+ , +	+ , +
soybean (seed) 0671, soybean (food) 0690	+ , +	+ , +	- , -	+ , +	+ , +	- , -	+ , +	+ , +	+ , +	+ , +	+ , +
soybean (food) 0693, soybean (food) 0872	+ , +	+ , +	+ , +	+ , +	+ , +	- , -	+ , +	+ , +	+ , +	+ , +	+ , +
USDA PT soya V0278, MyKIMIA PT soya V0667	+ , +	+ , +	- , +	+ , +	- , +	- , -	- , +	+ , +	+ , +	+ , +	+ , +
USDA PT soya V0150, USDA PT soya V0151	+ , +	+ , +	- , -	+ , +	- , +	- , -	- , +	+ , +	+ , +	+ , +	+ , +
melon 0829, tapioca starch 0918	- , -	- , -	- , -	- , -	- , -	- , -	- , -	- , -	- , -	- , -	+ , +
baby corn 0899, canned corn 0922	- , -	- , -	- , -	- , -	- , -	- , -	- , -	- , -	- , -	- , -	+ , +
soybean sauce 0897	-	-	-	-	-	-	-	-	-	-	-
papaya seed 0898	-	-	-	-	-	-	-	-	-	-	+

Remark: (-) = not detected non-target gene, (+) = detected target gene, USDA PT: USDA proficiency test, MyKIMIA PT: Kimia proficiency test,

*Endogenous gene of soybean is *Lectin*; Endogenous gene of maize is *Hmg*; Endogenous gene of papaya is *papain*, Endogenous gene of melon and tapioca starch is *tRNA*

การทดลองที่ 4 พัฒนาวิธี Multiplex real-time PCR ในการตรวจคัดกรองและจำแนกยืนข้าวโพดดัดแปลงพันธุกรรม 14 events (Bt11 GA21 TC1507 DAS59122-7 T25 MIR604 Mon810 Mon88017 Mon 89034 NK603 MIR162 Mon87460 Mon87427 และ DAS40278-9)

3.4.1 การสกัดดีเอ็นเอ

สกัดดีเอ็นเอของวัสดุอ้างอิงข้าวโพดดัดแปลงพันธุกรรม 14 สายพันธุ์ ที่มีระดับการปนเปื้อนที่แตกต่างกัน และข้าวโพดไม่ดัดแปลงพันธุกรรมตามกรรมวิธีของห้องปฏิบัติการตรวจวิเคราะห์สินค้าพืชดัดแปลงพันธุกรรม โดยทำการสกัดดีเอ็นเอจากวัสดุอ้างอิงตัวอย่างละ 2 ชั้้า ตรวจด้วยปริมาณและคุณภาพของดีเอ็นเอด้วยเครื่องสเปกโตรโพโตมิเตอร์ Multiskan GO (ThermoFisher Scientific, Finland) ผลการทดสอบการสกัดดีเอ็นเอพบว่าวิธีการสกัด ดีเอ็นเอข้าวโพดดัดแปลงพันธุกรรมด้วยวิธีที่ดัดแปลงตามกรรมวิธีของห้องปฏิบัติการตรวจวิเคราะห์สินค้าพืช ดัดแปลงพันธุกรรมได้ดีเอ็นเอเฉลี่ยประมาณ $1,380.81 \pm 221$ นาโนกรัมต่อไมโครลิตรปริมาตรที่ได้ 50 ไมโครลิตร คุณภาพของดีเอ็นเอคำนวณค่า $260/280$ เฉลี่ย 1.88 ± 0.04 ทดสอบคุณภาพดีเอ็นเอที่ได้โดยตรวจสอบปฏิกิริยา inhibition test ของยีน HMG ในดีเอ็นเอที่ สกัด ซึ่งได้ค่า R^2 เท่ากับ 0.998 ± 0.005 และนีค่า ΔCt (extrapolated)= $Extrapol Ct - Mean Ct$ ซึ่งอยู่ในช่วงที่ยอมรับได้คือค่าต่ำกว่า 0.5

สำหรับการสกัดดีเอ็นเอเป็นขั้นตอนหนึ่งที่ส่งผลต่อการตรวจสอบพืชดัดแปลงพันธุกรรมซึ่งสอดคล้องกับการรายงานของ Cankar *et al.* (2006) ที่กล่าวว่าการสกัดดีเอ็นเอมีความสำคัญอย่างมากซึ่งอาจจะส่งผลต่อประสิทธิภาพการตรวจสอบสิ่งมีชีวิตดัดแปลงพันธุกรรม ด้วยเทคนิคต่างๆ โดยปัจจัยที่เกี่ยวข้องมีดังนี้ สารยับยั้งปฏิกิริยา (inhibitor) ที่เกิดจากสารภายใต้ตัวอย่าง หรือ ที่เกิดจากขั้นตอนการสกัด ซึ่งสามารถตรวจสอบได้หลายวิธี เช่นการตรวจสอบจากการวัดคลื่นการดูดกลืนแสงที่ 260 และ 280 นาโนเมตร หรือการนำดีเอ็นเอไปทำปฏิกิริยา PCR, real-time PCR เป็นต้น และจากการรายงานของ Turkec *et al.* (2015) ที่กล่าวว่าการสกัดดีเอ็นเอ ส่งผลต่อการตรวจสอบพืชและผลิตภัณฑ์จากสิ่งมีชีวิตดัดแปลงพันธุกรรมจำเป็นต้องมีวิธีการสกัดที่สามารถให้คุณภาพและปริมาณของดีเอ็นเอที่ดี รวมถึงสามารถติดเชื้อสาร Inhibitor ต่างๆ ออกได้มากที่สุดซึ่งสอดคล้องกับวิธีของ Mazzara *et al.* (2005)

Table 3.4-1 Quality, concentration, and Inhibition test results of 14 genetically modified after DNA extraction

GM (events)	% GMO Value	Concentration (ng/uL)	Ratio of A260/280	Inhibition test	
				ΔCt (extrapolated)	R^2
Mon810	blank <0.04	$1,035 \pm 132$	1.87 ± 0.11	NA	NA
	0.5%	$1,570 \pm 192$	1.89 ± 0.05	NA	NA
	2	$1,640 \pm 183$	1.90 ± 0.05	NA	NA
	9.9%	$1,642 \pm 157$	1.88 ± 0.07	0.42	0.997
Mon87427	100	$1,408 \pm 151$	1.87 ± 0.02	0.46	0.998

GM (events)	% GMO Value	Concentration (ng/uL)	Ratio of A260/280	Inhibition test	
				ΔCt (extrapolated)	R ²
DAS40278-9	blank <0.03	1,214±151	1.81±0.03	NA	NA
	0.5	1,338±151	1.95±0.12	0.25	0.997
	1	1,428±151	1.83±0.02	NA	NA
	10	1,318±151	1.85±0.04	0.38	0.997
T25	100	1,238±151	1.90±0.04	0.43	0.997
Mon88017	100	1,423±151	1.87±0.02	0.38	0.998
Mon87460	100	1,508±151	1.85±0.03	0.26	0.997
GA21	blank <0.08	1,548±281	1.92±0.04	NA	NA
	0.1	1,712±101	1.87±0.03	NA	NA
	0.5	1,512±211	1.85±0.03	0.25	0.993
	1	1,228±131	1.87±0.11	NA	NA
	2	1,198±107	1.85±0.05	NA	NA
	5	1,541±98	1.87±0.03	0.45	0.998
TC1507	blank <0.05	1,508±213	1.84±0.02	NA	NA
	0.1	1,114±172	1.87±0.05	0.25	0.994
	1	1,218±150	1.87±0.06	NA	NA
	10	1,398±201	1.83±0.02	0.43	0.997
DAS59122-7	blank <0.1	1,214±71	1.89±0.06	NA	NA
	0.1	1,428±301	1.91±0.06	0.25	0.997
	1	1,113±171	1.93±0.04	NA	NA
	10	1,128±51	1.87±0.05	0.45	0.998
MON89034	100	1,353±133	2.00±0.08	0.29	0.999
NK603	blank <0.04	1,630±347	1.89±0.02	NA	NA
	0.1	1,539±179	1.87±0.07	NA	NA
	0.5	1,008±152	1.84±0.05	0.13	0.998
	1	1,156±163	1.86±0.04	NA	NA
	2	1,038±135	1.91±0.08	NA	NA
	10	1,299±190	1.90±0.03	0.23	0.997
MIR162	100	1,197±90	1.98±0.02	0.28	0.999
Bt11	blank <0.01	1,128±137	1.85±0.02	NA	NA
	0.1	1,508±151	1.84±0.02	0.25	0.997
	1	1,328±241	1.83±0.03	NA	NA
	10	1,127±123	1.87±0.06	NA	NA
	100	1,315±201	1.84±0.01	0.32	0.998
MIR604	Blank <0.09	1,897±131	1.93±0.05	NA	NA
	0.1	1,795±231	1.97±0.02	NA	NA
	1	1,563±231	1.94±0.05	NA	NA
	10	1,499±167	1.97±0.08	0.24	0.999
nonGM	-	1,754±142	1.85±0.03	0.34	0.998
AVG		1,380±221	1.88±0.04		

NA: Not Available for test

3.4.2 การวิเคราะห์ข้อมูลองค์ประกอบของยีนที่เหมาะสมสำหรับตรวจสอบการจำแนกยีนในข้าวโพดดัดแปลงพันธุกรรม 14 สายพันธุ์

ผลจากการสืบค้นหาลำดับเบสของยีนแต่ละตัวโดยเลือกตำแหน่งอนุรักษ์ (conservative region) คัดเลือกไฟรเมอร์และโพรบซึ่งสามารถจัดกลุ่มและมีความจำเพาะเจาะจงกับกลุ่มยีนทั้งสามกลุ่มของข้าวโพดดัดแปลงพันธุกรรมสายพันธุ์ Bt11 GA21 TC1507 DAS59122-7 T25 MIR604 Mon810 Mon88017 Mon 89034 NK603 MIR162 Mon87460 Mon87427 และ DAS40278-9 โดยแบ่งเป็น 1 ส่วนของโพรเมเตอร์ และ เทอร์มิเนเตอร์ คือ 35SCaMV promoter, Nos terminator, maize ubiquitin (*Ubi-1*) และ Figwort Mosaic Virus35S promoter (P-FMV) และในส่วนของยีนองค์ประกอบ (Construct gene) ได้แก่ phosphinothricin acetyltransferase (PAT) ซึ่งสามารถจัด Matrix ในการตรวจจำแนกยีนดัง Table 3.4-1 แล้วนำมาสร้างเคราะห์ไฟรเมอร์และโพรบดัง Table 3.4-3 เพื่อใช้ตรวจวิเคราะห์ข้าวโพดดัดแปลงพันธุกรรม โดยจากการจำลอง Matrix ซึ่งสามารถใช้โพรบและไฟรเมอร์เพียงจำนวน 5 ตัวทำให้สามารถจัดกลุ่มข้าวโพดดัดแปลงพันธุกรรมออกเป็น 10 กลุ่ม โดยจะมีกลุ่มที่ 1 4 5 และ 9 ที่มีในแต่ละกลุ่มมีข้าวโพดดัดแปลงพันธุกรรม 2 สายพันธุ์ ซึ่งอาจจะต้องมีการตรวจวิเคราะห์จำแนกยีนอีก 1 ครั้งต่อไป

Table 3.4-2 The construct gene information of 14 genetically modified maize

GM-event	Genetic elements						Format
	P35S	Nos	Pat	FMV	Ubiquitin-1	Code	
TC1507	1	0	1	0	0	10100	1
59122-7	1	0	1	0	0	10100	1
MIR604	0	1	0	0	0	01000	2
Mon810	1	0	0	0	1	10001	3
MON87460	1	1	0	0	0	11000	4
MON88017	1	1	0	0	0	11000	4
NK603	1	1	0	0	1	11001	5
MON87427	1	1	0	0	1	11001	5
T25	1	0	1	0	1	10101	6
Mon89034	1	1	0	1	0	11010	7
Bt11	1	1	1	0	0	11100	8
GA21	0	1	0	0	1	01001	9
MIR162	0	1	0	0	1	01001	9
40278-9	0	0	0	0	1	00001	10
Negative	0	0	0	0	0	00000	11

Table 3.4-3 Oligonucleotide sequences of primer and probe of construct gene for event gene detection in 14 genetically modified maize

No.	Gene	Name	Sequence 5'-3'	Reference
1	CaMV 35S promoter	35S-FTM	5'-GCCTCTGCCGACAGTGGT-3'	JRC-EURL GMFF-
		35S-RTM	5'-AAGACGTGGTTGGAACGTCCTC-3'	ENGL. 2011
		35S-TMP	5'-FAM-CAAAGATGGACCCCCACCCACG-BHQ1-3'	QT-ELE-00-004
2	NOS terminator	Nos 180-F	5'-CATGTAATGCATGACGTTATTATG-3'	JRC-EURL GMFF-
		Nos 180-R	5'-TTGTTTTCTATCGCGTATTAATGT-3'	ENGL. 2011
		Nos 180-P	5'-HEXATGGGTTTTATGATTAGAGTCCCGCAA-BHQ1-3'	QL-ELE-00-011
3	Phosphinothricin N-acetyltransferase (pat)	Pat F	5'-CGCGGTTTGTGATATCGTTAAC-3'	Debode <i>et al.</i> , 2016
		Pat R	5'-TCTTGCAACCTCTCTAGATCATCAA-3'	QL-ELE-00-025
		patProbe	5'-Cy5AGGACAGAGCCACAAACACCACAAGAGTGBHQ3-3'	
4	Figwort Mosaic Virus 35S promoter (P-FMV)	PFMV F	5'-CAAAAATAACGTGGAAAAGAGCT -3'	JRC-EURL GMFF-
		PFMV R	5'-TCTTTTGTGGTCGTCACTGC -3'	ENGL. 2011
		PFMV Probe	5'-TexasredCTGACAGCCCCTCACTAATGC -3'	QL-ELE-00-015
5	Ubiquitin promoter (Ubi-1)	PUBI F	5'- GAGTAGATAATGCCAGCCTGTTAAC-3'	Dedobe <i>et al.</i> , 2013
		PUBI R	5'- ACGCGACGCTGCTTGGT-3'	
		PUBI Probe	5'- Cy5 CGTCGACGAGTCTAACGGACACCAACBHQ3-3'	

3.4.3 ศึกษาความจำเพาะของไพรเมอร์และprobeต่อข้าวโพดดัดแปลงพันธุกรรม 14 สายพันธุ์ ด้วยเทคนิค Real-time PCR แบบ Simplex และ Multiplex

การทดสอบความจำเพาะ (Specificity) ของชุดไพรเมอร์และprobeที่ออกแบบ 5 ยีน กับตัวอย่างวัสดุ อ้างอิง (CRM) ของข้าวโพดดัดแปลงพันธุกรรมสายพันธุ์ Bt11 GA21 TC1507 DAS59122-7 T25 MIR604 Mon810 Mon88017 Mon 89034 NK603 MIR162 Mon87460 Mon87427 และ DAS40278-9 ในระดับต่างๆ และตัวอย่างพืชที่ไม่ผ่านการดัดแปลงพันธุกรรม โดยวิธี Simplex และ Multiplex Real-time PCR

การทดสอบความจำเพาะของไพรเมอร์และprobeสำหรับการตรวจวิเคราะห์ 35SCaMV promoter, Nos terminator, maize ubiquitin (*Ubi-1*) และ Figwort Mosaic Virus35S promoter (P-FMV) ยีน *Ubiquitin* และ ยีน *pat* ด้วยเทคนิค Simplex Real-time PCR พบว่า ไพรเมอร์probeของแต่ละยีนมีความจำเพาะต่อการตรวจสอบยีนโดยสามารถตรวจพบยีน 35SCaMV promoter ได้ในข้าวโพดดัดแปลงพันธุกรรมสายพันธุ์ Bt11 GA21 TC1507 DAS59122-7 Mon810 Mon88017 Mon89034 MIR162 Mon87427 และ DAS40278-9 ตรวจพบยีน Nos terminator ได้ในข้าวโพดดัดแปลงพันธุกรรมสายพันธุ์ Bt11 TC1507 DAS59122-7 T25 MIR604 Mon810 Mon88017 NK603 และ MIR162 ตรวจพบยีน maize ubiquitin (*Ubi-1*) ในข้าวโพด ดัดแปลงพันธุกรรมสายพันธุ์ GA21 T25 Mon810 NK603 MIR162 Mon87427 และ DAS40278-9 ตรวจพบ ยีน FMV ในข้าวโพดดัดแปลงพันธุกรรมสายพันธุ์ TC1507 DAS59122-7 T25 และ Bt11 และตรวจพบยีน *pat* ในข้าวโพดดัดแปลงพันธุกรรม Mon89034 นอกจากนี้ทุกยีนไม่สามารถตรวจพบได้ในข้าวโพดที่ไม่ดัดแปลง พันธุกรรมดัง Table 3.4-4 ทั้งนี้เมื่อตรวจวิเคราะห์ยีนทั้ง 5 ด้วยเทคนิค Multiplex Real-time PCR ให้ผลการ ตรวจพบเหมือนกับเทคนิค Simplex Real-time PCR และเมื่อเปรียบเทียบค่า Ct ที่ได้จากการตรวจจับสัญญาณ ยีน 35SCaMV promoter, Nos terminator, maize ubiquitin (*Ubi-1*) และ ยีน *pat* ระหว่างเทคนิค simplex และ multiplex real-

time ดัง Table 3.4-4 พบว่าค่า Ct ที่ได้จากเทคนิค Multiplex Real-time PCR มีค่าเฉลี่ยใกล้เคียงกัน ค่า Ct เฉลี่ยที่ตรวจวัดได้จากเทคนิค Simplex Real-time PCR และนอกจากนี้พบว่า เทคนิค Multiplex Real-time PCR ให้ค่า Ct เฉลี่ย สูงกว่าเล็กน้อย ทั้งนี้อาจเนื่องมาจากการทำปฏิกริยาระหว่างสารเคมีภายในปฏิกริยาเดียวกัน เมื่อตรวจสอบความจำเพาะเจาะจงของไพรเมอร์จากความถูกต้องของการเกิดปฏิกริยาเทียบกับข้อมูลองค์ประกอบของยีนดังดัง Table 3.4-2 และวันนำมายาค่า False negative rate และ False positive rate จากวิธีของ Broeder *et al.*, (2014) พบว่า การใช้เทคนิค multiplex real time PCR ตรวจสอบข้าวโพดดัดแปลงพันธุกรรมสายพันธุ์ Bt11 GA21 TC1507 DAS59122-7 T25 MIR604 Mon810 Mon88017 Mon 89034 NK603 MIR162 Mon87460 Mon87427 และ DAS40278-9 ไม่พบ False negative และ False positive (Lab Life-Real-Time PCR, 2015)

3.4.4 การทดสอบประสิทธิภาพการเกิดปฏิกริยา Multiplex real-time PCR

การทดสอบประสิทธิภาพการเกิดปฏิกริยain การตรวจสอบข้าวโพดดัดแปลงพันธุกรรมที่สมกันระหว่าง Bt11 GA21 และ DAS59122-7 ที่ระดับการปะปน 1 เปอร์เซ็นต์ ในอัตราส่วน 1:1:1 ด้วยเทคนิค Multiplex real-time PCR ผลการทดลองพบว่า 35SCaMV promoter, NOS terminator, FMV promoter, PAT และ Ubi-1 สามารถตรวจวัดได้ในระดับการเจือจางที่อีนอตั้งแต่ 1:2 ถึง 1:16 หรือระดับการปะปนป้อนข้าวโพดดัดแปลงพันธุกรรมตั้งแต่ 0.625% ถึง 5% ด้วยเทคนิค Multiplex Real-time PCR โดยอัตราการเจือจางที่อัตรา 1: 256 ไม่สามารถตรวจจับสัญญาณได้ โดยค่า Ct ที่ได้จะเพิ่มสูงขึ้นซึ่งแสดงผ่านกับความเข้มข้นของปริมาณสำเนาดีเอ็นเอต้นแบบ (copy number) ที่ลดลง เมื่อนำค่า Ct ที่ได้ของแต่ละระดับการเจือจางมาสร้างกราฟความเข้มข้นมาตรฐาน (standard curve) ตามวิธีของ Del Gaudio *et al.* (2012) พบว่า 35SCaMV promoter, NOS terminator, FMV promoter และยีน Ubi-1 มีค่าSlope -2.93 -2.91 และ -3.1 ตามลำดับ ค่า PCR efficiency เท่ากับ 119 120 และ 111.19 ตามลำดับ และค่าสัมประสิทธิ์ของการทำปฏิกริยาเท่ากับ 0.99 แต่สำหรับการสังเคราะห์ยีน FMV และยีน Pat ไม่อยู่ในค่าที่เหมาะสมตามทฤษฎีกล่าวคือ ให้ค่า PCR efficiency เท่ากับ 135 และ 166 ตามลำดับ แต่ให้ค่าสัมประสิทธิ์ของการทำปฏิกริยาเท่ากับ 0.99 ทั้งนี้เกณฑ์มาตรฐานที่กำหนดไว้ของ การตรวจสอบพืชดัดแปลงพันธุกรรมเชิงคุณภาพด้วยเทคนิค Multiplex real-time PCR (Broeders *et al.*, 2014) ดังนี้ ค่าSlope -3.1 ถึง -2.9 ค่า PCR efficiency เท่ากับ 80 ถึง 120 และค่าสัมประสิทธิ์ของการทำปฏิกริยาเท่ากับ 0.99-1 ซึ่งสามารถสรุปได้ว่าการตรวจสอบข้าวโพดดัดแปลงพันธุกรรม 14 สายพันธุ์ ด้วยเทคนิค Multiplex real-time PCR มีประสิทธิภาพสามารถ จำแนกยืนได้ (Shrestha *et al.*, 2010 and Sinha *et al.*, 2015)

Table 3.4-4 The Ct Mean results of primers and probes specificity for 35SCaMV promoter, NOS terminator, FMV promoter, *PAT* and *Ubi-1* gene using Simplex and Multiplex Real-time PCR techniques.

Event	GM Contaminated (%)	Ct Mean of (gene)														
		35SCaMV promoter				Nos terminator				FMV				<i>PAT</i>		
		Sim-plex	Muti-plex	T-test	Sim-plex	Muti-plex	T-test	Sim-plex	Muti-plex	T-test	Sim-plex	Muti-plex	T-test	Sim-plex	Muti-plex	T-test
TC1507	1	31.27	33.51	*	30.12	32.80	*	34.12	33.87	ns	ND	ND	ns	ND	ND	ns
59122-7	1	30.26	34.42	*	30.08	33.12	*	31.54	31.72	ns	ND	ND	ns	ND	ND	ns
MIR604	1	ND	ND	ns	31.72	31.08	ns	ND	ND	ns	ND	ND	ns	ND	ND	ns
Mon810	1	32.11	34.08	*	30.26	33.42	*	ND	ND	ns	ND	ND	ns	36.17	36.51	ns
MON87460	1	ND	ND	ns	ND	ND	ns	ND	ND	ns	ND	ND	ns	ND	ND	ns
MON88017	1	33.46	35.78	*	32.76	34.58	*	ND	ND	ns	ND	ND	ns	ND	ND	ns
NK603	1	ND	ND	ns	30.28	31.22	ns	ND	ND	ns	ND	ND	ns	36.54	36.92	ns
MON87427	1	30.25	31.42	ns	ND	ND	ns	ND	ND	ns	ND	ND	ns	37.36	36.43	ns
T25	1	ND	ND	ns	30.46	30.68	ns	34.41	33.74	ns	ND	ND	ns	35.11	36.84	ns
Mon 89034	1	32.46	33.12	ns	ND	ND	ns	ND	ND	ns	32.62	31.94	ns	ND	ND	ns
Bt11	1	30.86	33.02	*	33.11	32.98	ns	34.52	33.97	ns	ND	ND	ns	ND	ND	ns
GA21	1	30.25	30.22	ns	ND	ND	ns	ND	ND	ns	ND	ND	ns	35.71	36.12	ns
MIR162	1	33.42	32.74	ns	34.08	34.52	ns	ND	ND	ns	ND	ND	ns	35.74	34.53	ns
40278-9	1	32.24	31.89	ns	ND	ND	ns	ND	ND	ns	ND	ND	ns	36.25	35.78	ns
Negative	0	ND	ND	ns	ND	ND	ns	ND	ND	ns	ND	ND	ns	ND	ND	ns

Notes: ND=Not detected, ns= non-significant, * = significant at p value ≤ 0.05

Table 3.4-5 PCR efficiency, slope, linearity and intercept of 35SCaMV promoter, Nos terminator, *Ubi*-1, FMV and *Pat* gene detection using Multiplex Real-time PCR

Dilution GM: total volume	% GMO level	Target DNA conc.	Copie s No.	Ct of target gene detection			
				35SCaMV promoter	Nos terminator	FMV	<i>Pat</i>
1:0	5	100	366.97	26.74±0.26	27.08±0.45	2816±0.23	30.12±0.25
1:2	2.5	50	183.49	29.52±0.14	30.28±0.32	31.14±0.21	31.76±0.22
1:4	1.25	25	91.743	32.64±0.22	33.17±0.26	34.24±0.34	32.12±0.32
1:16	0.625	6.25	22.936	38.42±0.36	38.80±0.27	38.85±0.51	37.87±0.41
1:256	0.004	0.39	1.433	-	-	-	-
PCR efficiency (%)				119.43	120.62	134.62	166.40
Slope				-2.93	-2.91	-2.70	-2.35
R^2				0.99	0.99	0.99	0.9984
Intercept				26.69	27.23	28.47	29.61
							26.38

3.4.5 การทดสอบความเที่ยง (precision) และความแม่นยำ (accuracy) ในการตรวจสอบข้าวโพดดัดแปลงพันธุกรรม 14 สายพันธุ์ ด้วยเทคนิค Multiplex Real-time PCR

การทดสอบความเที่ยงตรงและความแม่นยำของวิธีนั้นบ่งบอกถึงความสามารถของวิธีการตรวจจำแนก ยืน 35SCaMV promoter, Nos terminator, *Ubi*-1, FMV และ *Pat* ด้วยเทคนิค Multiplex real-time PCR ในข้าวโพดดัดแปลงพันธุกรรม โดยค่าความเที่ยงตรงและค่าความแม่นยำของวิธีสามารถตรวจสอบโดยจากค่า เปอร์เซ็นต์การเบี่ยงเบนมาตรฐานสัมพัทธ์ (Relative standard deviation: RSD) และค่าเปอร์เซ็นต์เบี่ยงเบน มาตรฐานสัมพัทธ์ (Standard Deviation: SD) ของการหาปริมาณยืน 35SCaMV promoter, Nos terminator, *Ubi*-1, FMV และ *Pat* จากการทำตรวจสอบข้าวโพดดัดแปลงพันธุกรรมที่ผสมกัน 14 สายพันธุ์ ทั้ง 4 รอบ ผลการทดลองพบว่า การหายใจทั้ง 5 มีค่า RSD อยู่ระหว่าง 0.72 ถึง 0.87 เปอร์เซ็นต์ และมีค่า SD ของการหา ยืนอยู่ระหว่าง 0.24 ถึง 0.29 (Table 7) โดยค่าความเที่ยงตรงและความแม่นยำของทั้งห้ายืนมีค่าอยู่ในเกณฑ์มาตรฐาน ที่กำหนดไว้ของการตรวจสอบพืชดัดแปลงพันธุกรรมเชิงคุณภาพด้วยเทคนิค Multiplex real-time PCR (Broeders *et al.*, 2014) คือ ค่าเปอร์เซ็นต์ RSD ต้องไม่เกิน 25 เปอร์เซ็นต์ ซึ่งสอดคล้องกับการรายงานของ Del Gaudio *et al.* (2012) ที่ได้รายงานว่าการตรวจสอบพืชดัดแปลงพันธุกรรมเชิงคุณภาพต้องมีความเที่ยงในการตรวจสอบไม่ควรเกิน 25 เปอร์เซ็นต์ และง่ายกว่าการตรวจจำแนกยืน 35SCaMV promoter, Nos terminator, *Ubi*-1, FMV และ *Pat* ด้วยเทคนิค Multiplex real-time PCR ที่ใช้ในการตรวจสอบข้าวโพดดัดแปลงพันธุกรรม 14 สายพันธุ์ มีประสิทธิภาพคงที่ นอกจากนี้อาจกล่าวได้ว่า อุปกรณ์ เครื่องมือที่ใช้ รวมถึงวิธีการที่เกี่ยวข้อง เช่น การเตรียมตัวอย่าง และการสกัดตีอิ็นโซมีความสม่ำเสมอสามารถทำให้ผลการตรวจจำแนกยืนที่มีความเที่ยงตรงและแม่นยำ (Debode *et al.*, 2013)

Table 3.4-6 The repeatability and reproducibility of 35SCaMV promoter, Nos terminator, *Ubi-1*, FMV and *Pat* gene that were detected by using multiplex real-time PCR in 0.1% contaminated GM Maize

Sample	Replicate	Ct average				
		35SCaMV promoter	Nos terminator	FMV	Pat	<i>Ubi-1</i>
14 GM Maize 0.1% GM contaminated	1	32.64	33.17	34.24	33.12	32.58
	2	32.31	33.54	34.48	32.81	33.17
	3	32.43	32.97	33.98	32.76	32.76
	4	31.97	33.57	34.63	32.32	32.43
	Mean	32.33	33.31	34.33	32.75	32.73
	Min	31.97	32.97	33.98	32.32	32.43
	Max	32.64	33.57	34.63	33.12	33.17
	SD	0.24	0.25	0.25	0.29	0.277
	RSDr(%)	0.75	0.76	0.72	0.87	0.85

บทที่ 4 สรุปผลการวิจัย และข้อเสนอแนะ

4.1 สรุปผลการวิจัย และข้อเสนอแนะ

การทดลองที่ 1 พัฒนาวิธี Multiplex Real-time PCR เพื่อตรวจคัดกรองและจำแนกยืนช้าด้ดแบล็งพันธุกรรม

ข้าวดัดแบล็งพันธุกรรมตามข้อมูลของ ISAAA database พบว่ามี 7 สายพันธุ์ แต่เนื่องจากวัสดุอ้างอิงทดสอบที่สามารถจัดหาได้ มีเพียง 3 สายพันธุ์ ได้แก่ พลาสมิดดีเอ็นเอ pGSE220 (LL601) (Eurofins) พลาสมิดดีเอ็นเอ pGSE28 (Bt63 Rice) (Eurofins) และ จีโนมิกส์ดีเอ็นเอ LL62 (Eurofins) โดยทั้ง 3 สายพันธุ์มียืน Bar เป็นองค์ประกอบ แต่เนื่องจากพลาสมิดดีเอ็นเอเป็นการตัดยืนบางส่วนมาโคลนในพลาสมิด ทำให้มีเพบยืน Bar ในพลาสมิดดีเอ็นเอ pGSE220 (LL601) (Eurofins) พลาสมิดดีเอ็นเอ pGSE28 (Bt63 Rice) (Eurofins) แต่เพบในจีโนมิกส์ดีเอ็นเอ LL62 การทดลองนี้แบ่งชุดทดสอบออกเป็น 2 ชุด โดยชุดที่ 1 ประกอบด้วยยืน CaMV35S promoter, NOS terminator และ PLD สำหรับใช้ตรวจคัดกรองข้าวดัดแบล็งพันธุกรรม และชุดที่ 2 ประกอบด้วยยืน Cry/Ab/Ac, event specific LL62, event specific LL601 และ Bar สามารถใช้คัดแยกสายพันธุ์ข้าวได้ 3 สายพันธุ์ จากผลการทดสอบพบว่า ชุดไพรเมอร์probของทั้ง 2 ชุดยืนมีความจำเพาะต่อยืนเป้าหมายร้อยละ 100 ประสิทธิภาพของปฏิกิริยาลูกโซ่มีความสมบูรณ์อยู่ในเกณฑ์ที่รับได้ที่ร้อยละ 80 ถึง 120 วิธีการทดสอบมีความเที่ยง ความแม่น และความสามารถในการทวนซ้ำ มีค่าร้อยละส่วนเบี่ยงเบนมาตรฐานสัมพห์ (%RSD) ของแต่ละยืนน้อยกว่า 25 มีค่าขีดจำกัดของการตรวจวิเคราะห์ สำหรับยืนชุดที่ 1 และชุดที่ 2 ที่ 10 copies คิดเป็นร้อยละการปะปนที่ร้อยละ 0.1 เมื่อนำวิธีการทดสอบมาขยายผลกับตัวอย่างข้าวและผลิตภัณฑ์ข้าวในห้องปฏิบัติการจำนวน 50 ตัวอย่างไม่พบว่ามีการปะปนของข้าวดัดแบล็งพันธุกรรมทั้ง 50 ตัวอย่าง วิธีการ Multiplex Real-time PCR เหมาะสมสำหรับการใช้ตรวจคัดกรองข้าวสาลีดัดแบล็งพันธุกรรมโดยชุดยืนที่ 1 ของยืน CaMV35S Promoter, NOS terminator และ PLD มีประสิทธิภาพในการตรวจคัดกรองข้าวดัดแบล็งพันธุกรรม โดยหากตรวจพบยืน CaMV35S Promoter หรือ NOS terminator หรือ ตรวจพบทั้ง 2 ยืนจะเป็นการคัดกรองเบื้องต้นถึงการมีข้าวดัดแบล็งพันธุกรรมปะปนในตัวอย่างนั้น ทั้งนี้หากต้องการจำแนกการปะปนนั้นว่า เป็นข้าวดัดแบล็งพันธุกรรมสายพันธุ์ใดชุดยืนที่ 2 ที่ประกอบด้วย Cry/Ab/Ac, event specific LL62, event specific LL601 และ Bar จะสามารถจำแนกข้าวดัดแบล็งพันธุกรรมได้ 3 สายพันธุ์ ได้แก่ LL601 LL62 และ Bt63 ซึ่งการใช้วิธีการ Multiplex Real-time PCR จะช่วยลดระยะเวลาและต้นทุนการตรวจวิเคราะห์เมื่อเทียบกับ Simplex Real-time PCR ที่ตรวจครั้งละ 1 ยืน และยังช่วยป้องกันการปนเปื้อนจากการดูดจ่ายสารละลายหลายครั้ง โดยในแต่ละชุดยืนมี ยืนที่ใช้ควบคุมความถูกต้องของผลการทดสอบ ในชุดที่ 1 เป็น จำเพาะข้าว PLD (Phospholipase D) และชุดที่ 2 เป็น Bar (Bialaphos resistance) ซึ่งเป็นยืนที่เพบได้ในข้าวดัดแบล็งพันธุกรรมทั้ง 3 สายพันธุ์ เป็นการยืนยันผลการทดสอบและควบคุมภายใต้ปฏิกิริยา

การทดลองที่ 2 พัฒนาวิธี Multiplex Real-time PCR เพื่อตรวจวิเคราะห์ข้าวสาลีดัดแปลงพันธุกรรม

ข้าวสาลีดัดแปลงพันธุกรรมตามข้อมูลของ ISAAA database พบว่ามีเพียง MONM71800 เพียงสายพันธุ์เดียว แต่เมื่อสืบค้นข้อมูลแล้วพบว่า EU-JRC ได้ออกรายงานการวิธีการตรวจวิเคราะห์ข้าวสาลีดัดแปลงพันธุกรรม MON71200 ในปี 2018 นอกจากนั้นยังพบรการประปนของพีชดัดแปลงพันธุกรรมชนิดอื่นในตัวอย่างข้าวสาลีที่เกิดขึ้นจากการขันส่ง ทำให้การตรวจคัดกรองและจำแนก ข้าวสาลีดัดแปลงพันธุกรรมมีอีกเป้าหมายที่ต้องตรวจหลายยีน วิธีการตรวจวิเคราะห์ด้วย Tetraplex Real-time PCR ซึ่งสามารถตรวจได้ 4 ยีนใน 1 ปฏิกิริยา จึงช่วยลดระยะเวลาและต้นทุนการตรวจวิเคราะห์ลง โดยแบ่งชุดยีนออกเป็น 2 ชุด ซึ่งชุดที่ 1 ประกอบด้วย CaMV35S promoter, NOS terminator, MON71800 และ ACC-1 และชุดที่ 2 ประกอบด้วย HMG, Lectin, CruA และ MON71200 ทั้งนี้วัสดุอ้างอิงทดสอบของข้าวสาลี MON71800 ไม่มีการจำแนยทางการค้าทำให้ต้องสังเคราะห์พลาสมิด pUC57-MON71800 ใช้ทดสอบ จากผลการทดสอบพบว่า ชุดไพรเมอร์probของทั้ง 2 ชุดยีน มีความจำเพาะต่อ yin เป้าหมายร้อยละ 100 ประสิทธิภาพของปฏิกิริยาลูกโซ่มีความสมบูรณ์อยู่ในเกณฑ์ที่รับได้ทั้ง 80 ถึง 120 วิธีการทดสอบมีความเที่ยง ความแม่น และความสามารถในการทวนซ้ำ มีค่าร้อยละส่วนเบี่ยงเบนมาตรฐานสัมพัทธ์ (%RSD) ของแต่ละยีนอยู่กว่า 25 มีค่าขีดจำกัดของการตรวจวิเคราะห์ สำหรับ yin ชุดที่ 1 ที่ 1 พิโตรกรัม pUC57-MON71800 และชุดที่ 2 ที่ร้อยละ 0.1 เมื่อนำวิธีการทดสอบมาขยายผลกับตัวอย่างข้าวสาลีในห้องปฏิบัติการจำนวน 30 ตัวอย่าง ตรวจพบการประปนของคานาโนดัดแปลงพันธุกรรมจำนวน 7 ตัวอย่าง วิธีการ Tetraplex Real-time PCR เหมาะสมสำหรับการใช้ตรวจคัดกรองข้าวสาลีดัดแปลงพันธุกรรมโดยในชุดยีนที่ 1 สามารถคัดกรองได้ว่าเป็นข้าวสาลีดัดแปลงพันธุกรรมหรือไม่ หากใช่เป็นข้าวสาลีสายพันธุ์ MON71800 หรือไม่ โดยหากตรวจพบ yin ครบทั้ง 4 ยีน เป้าหมาย CaMV35S promoter, NOS terminator, MON71800 และ ACC-1 จะสามารถบ่งชี้ได้ โดยหากตรวจพบเพียง CaMV35S promoter หรือ NOS terminator หรือทั้ง 2 ยีนนี้แต่ไม่พบ yin MON71800 จะต้องทำการทดสอบในชุดที่ 2 ที่จะสามารถบ่งชี้ถึงการประปนของพีชดัดแปลงพันธุกรรมอีกด้วย ข้าวโพด ถั่วเหลือง และคานาโน นอกจากนั้นยังสามารถจำแนกข้าวสาลีสายพันธุ์ MON71200 ได้อีกด้วย

การทดลองที่ 3 พัฒนาวิธี Multiplex real-time PCR ในการตรวจจำแนก yin ถั่วเหลืองดัดแปลงพันธุกรรม events A2704-12 Mon87701 Mon87705 Mon87769 Mon89788 และ GTS 40-3-2

การตรวจ yin คัดกรองและ yin จำเพาะด้วยเทคนิค Tetraplex Real-time PCR สามารถจำแนก ถั่วเหลืองดัดแปลงพันธุกรรมที่อนุญาตให้นำเข้า 6 สายพันธุ์ ได้แก่ Mon87701, A2704-12, GTS 40-3-2, Mon87705, Mon87769 และ Mon89788 โดยใช้ไพรเมอร์-prob 2 ชุด คือ 1) CaMV35S Promoter, Nos terminator, Cy1Ac และ Lectin 2) rbcS E9 terminator, event Mon87705, event Mon89788 และ Lectin ซึ่งชุดไพรเมอร์และprobมีความเข้มข้นเหมาะสมที่ระดับ 1X ขีดจำกัดการตรวจวิเคราะห์ต่ำสุดของวิธีเท่ากับ 0.1% และมีปริมาณดีเอ็นเอต้นแบบที่เหมาะสมในช่วง 100 – 150 ng/reaction จากการขยายผลตรวจวิเคราะห์ด้วยวิธี Tetraplex Real-time PCR ในตัวอย่างเมล็ดพันธุ์ถั่วเหลืองและถั่วเหลืองที่ใช้สำหรับการบริโภคจำนวน 20 ตัวอย่าง พบร้าสามารถตรวจพบการประปนของ yin ถั่วเหลืองดัดแปลงพันธุกรรมได้เพิ่มจากเดิมถึง 65% เมื่อเปรียบเทียบกับวิธี Triplex Real-time PCR ซึ่งแสดงให้เห็นว่าการตรวจเพียง yin CaMV35S promoter และ Nos terminator ของห้องปฏิบัติการตรวจวิเคราะห์โดยทั่วไปไม่เพียงพอสำหรับตรวจสอบการประปนของถั่วเหลืองดัดแปลงพันธุกรรม โดยงานวิจัยนี้ได้พัฒนาวิธีตรวจจำแนก yin ถั่วเหลืองดัดแปลงพันธุกรรมทั้ง 6 สายพันธุ์ ได้อย่าง

มีประสิทธิภาพ ให้ผลการทดสอบที่ถูกต้อง และสามารถตรวจสอบได้ครอบคลุมเพื่อรับตามประกาศกระทรวงสาธารณสุขที่จะอนุญาตให้มีการนำเข้าถ่ายเหลืองดัดแปลงพันธุกรรม นอกจากนี้เทคนิคตรวจจำแนกยืนสีชนิดในปฏิกิริยาเดียวยังช่วยประหยัดค่าใช้จ่าย และลดระยะเวลาการตรวจวิเคราะห์

การทดลองที่ 4 พัฒนาวิธี Multiplex real-time PCR ในการตรวจคัดกรองและจำแนกยืนข้าวโพดดัดแปลงพันธุกรรม 14 events (Bt11 GA21 TC1507 DAS59122-7 T25 MIR604 Mon810 Mon88017 Mon 89034 NK603 MIR162 Mon87460 Mon87427 และ DAS40278-9)

การตรวจจำแนกยืนข้าวโพดดัดแปลงพันธุกรรม 14 สายพันธุ์ Bt11 GA21 TC1507 DAS59122-7 T25 MIR604 Mon810 Mon88017 Mon 89034 NK603 MIR162 Mon87460 Mon87427 และ DAS40278-9 ด้วยวิธี Matrix Approach Multiplex Real-time PCR โดยการตรวจจำแนกยืน 35SCaMV promoter, Nos terminator, Ubi-1, FMV และ Pot ในปฏิกิริยาเดียวกัน มีประสิทธิภาพสามารถใช้ในการตรวจจำแนกยืนข้าวโพดดัดแปลงพันธุกรรม 14 สายพันธุ์ออก โดยโปรแกรมมีความจำเพาะ และเหมาะสมต่อการจำแนกยืน อีกทั้งค่าพารามิเตอร์ที่ได้จากการทดสอบวิธี Multiplex Real-time PCR อยู่ในเกณฑ์มาตรฐานที่กำหนดไว้ และเมื่อทดสอบใช้ในการจำแนกยืนพบว่าเทคนิคดังกล่าวสามารถจำแนกยืนได้ถูกต้องโดยไม่มี False positive/negative (Alary *et al.*, 2003)

สำหรับงานวิจัยนี้ได้พัฒนาวิธีตรวจจำแนกยืนข้าวโพดดัดแปลงพันธุกรรม 14 สายพันธุ์อย่างมีประสิทธิภาพ ให้ผลการทดสอบที่ถูกต้อง และสามารถตรวจสอบได้ครอบคลุมเพื่อรับตามประกาศกระทรวงสาธารณสุขที่จะอนุญาตให้มีการนำเข้าข้าวโพดดัดแปลงพันธุกรรม นอกจากนี้เทคนิคตรวจจำแนกยืนรวมในปฏิกิริยาเดียวจะประหยัดค่าใช้จ่ายมากกว่าการตรวจแยกปฏิกิริยากันถึง 60 เปอร์เซ็นต์ และลดระยะเวลาการตรวจวิเคราะห์ให้ถึง 80 เปอร์เซ็นต์

4.2 ผลการวิจัยของโครงการ (Output)

สามารถพัฒนาเทคนิค Multiplex real-time PCR ที่มีความรวดเร็ว แม่นยำ ประหยัดเวลาและงบประมาณในการตรวจคัดกรองและจำแนกยืนพืชดัดแปลงพันธุกรรม 4 ชนิด ได้แก่ ข้าว ข้าวสาลี ถั่วเหลือง และข้าวโพด ได้อย่างมีประสิทธิภาพ โดยมีผลงานเผยแพร่ทางวิชาการ ดังนี้

4.2.1 การตีพิมพ์ในวารสารระดับชาติ

ธิติรัตน์ อัศวมงคลศิริ, สุรานันทน์ นาคประน姆, พงศกร สรรค์วิทยาภูล, ศิริพร เสน่දา, ปิยนุช ศรษัย, วีระศักดิ์ พิทักษ์ ศุ敦คร และ ปิยรัตน์ ธรรมกิจวัฒน์. (2565). การตรวจสอบถั่วเหลืองดัดแปลงพันธุกรรมด้วย Tetraplex Real-time PCR เพื่อรับรองการนำเข้าสินค้าเกษตร. วารสารแก่นเกษตร (บทความเลขที่ 160-64)

4.2.2 การประชุมวิชาการระดับนานาชาติ

Pitaksaringkarn, W., Assawamongkholsiri, T., Sornchai, P., & Thammakijjawat, P. (2021).

Development of the In-House Genetically Modified Wheat MON71800 Reference Plasmid for Qualitative Detection by Tetraplex Real-Time PCR. Proceeding in RSU International Research Conference, April 30, 2021. Pathum Thani, Thailand.

4.2.3 การประชุมวิชาการระดับชาติ

ปิยนุช ศรีชัย, ณัฐชนันท์ ควรประเสริฐ, ธูติรัตน์ อัศวมงคลศิริ, วีระศักดิ์ พิทักษ์ศุงห์, และ ปิยรัตน์ ธรรมกิจวัฒน์. (2564). การทดสอบความใช้ได้ของวิธีในการตรวจจำแนกยีนในข้าวโพดดัดแปลงพันธุกรรม 14 สายพันธุ์ เพื่อนำไปใช้ในห้องปฏิบัติการตรวจวิเคราะห์พืชและสินค้าพืชดัดแปลงพันธุกรรมตามมาตรฐาน ISO/IEC 17025. ใน: การประชุมวิชาการระดับชาติ มหาวิทยาลัยเกษตรศาสตร์ วิทยาเขตกำแพงแสน ครั้งที่ 18 ธันวาคม 2564.

4.3 การนำผลงานวิจัยไปใช้ประโยชน์ (Outcome and Impact)

ด้านนโยบาย นำไปขยายผลการทดสอบของห้องปฏิบัติการตรวจวิเคราะห์พืชและสินค้าพืชดัดแปลงพันธุกรรม กลุ่มวิจัยพัฒนาการตรวจสอบพืชและจุลทรรศน์ดัดแปลงพันธุกรรม สำนักวิจัยพัฒนาเทคโนโลยีชีวภาพ และควบคุมกำกับดูแลการนำเข้าส่งออกสินค้าเกษตร

ด้านสังคม สร้างความเชื่อมั่นให้กับผู้บริโภค

ด้านเศรษฐกิจ ส่งเสริมการค้าสินค้าเกษตร โดยมาตราฐานการตรวจวิเคราะห์ที่สร้างความเชื่อมั่นในการนำเข้า – ส่งออกสินค้า

ด้านวิชาการ มีเอกสารเผยแพร่ทางวิชาการ ห้องปฏิบัติการได้วิทธิทดสอบ ขั้นตอนการดำเนินงานทดสอบที่ได้มาตรฐาน สามารถขยายผลให้ห้องปฏิบัติการภาครัฐ และเอกชน นำวิธีทดสอบไปประยุกต์ใช้เพื่อรับการตรวจวิเคราะห์ควบคุมกำกับดูแลตามประกาศกระทรวงสาธารณสุข เรื่องอาหารที่ได้จากสิ่งมีชีวิตดัดแปลงพันธุกรรม

บรรณานุกรม

- เกศสุนี ชมชื่น, ดวงจันทร์ บุตรารคี, และมลิวรรณ นาคขุนทด. 2553. การตรวจสอบจีเอ็มโอลในผลิตภัณฑ์อาหาร จำกั่วเหลืองและข้าวโพดในจังหวัดพิษณุโลก. NU Science Journal. 7: 38 – 49.
- ชนิษฐา วงศ์วัฒนาภารัตน์ ภิญรดา ดนัยศิริพงษ์ อรุคพล ภูมีศรี พงศกร สรรค์วิทยาภูล และศรีเมฆ ชาวโพงพาง. 2558. การสร้างดีเอ็นเอมาตราฐานเพื่อการตรวจวิเคราะห์มะลอกดัดแปลงพันธุกรรม. รายงานโครงการวิจัยการพัฒนาเทคนิคการตรวจสอบพืช GMOs เพื่อรับรองสินค้าเกษตร. กรมวิชาการเกษตร คณะกรรมการเทคโนโลยีด้านความปลอดภัยทางชีวภาพ. 2560. สถานภาพการพิจารณาผลการประเมินความปลอดภัยทางชีวภาพของอาหารที่ได้จากเทคโนโลยีชีวภาพสมัยใหม่. ใน: รายงานการประชุมคณะกรรมการเทคโนโลยีด้านความปลอดภัยทางชีวภาพ ครั้งที่ 1/2560. 9 มีนาคม 2560. ศูนย์พันธุ์วิศวกรรมและเทคโนโลยีชีวภาพแห่งชาติ, ปทุมธานี.
- ปิยนุช ศรชัย, ณัฐวุฒิ บุญทองดี, ฐิติรัตน์ อัศวมงคลศิริ, ปริญดา ส่องเมืองสุข, วีระศักดิ์ พิทักษ์ศุนทราบ และ ปิยรัตน์ ธรรมกิจวัฒน์. 2563. การพัฒนาวิธีการตรวจดัดกรอง *CaMV35S promoter Nos terminator* ยืน *NptII* ร่วมกับยืนอ้างอิงมะลอกในมะลอกดัดแปลงพันธุกรรมด้วยเทคนิค Tetraplex Real-time PCR. n. 85 – 96. ใน: การประชุมวิชาการระดับชาติ มหาวิทยาลัยเกษตรศาสตร์ วิทยาเขตกำแพงแสน ครั้งที่ 17 เรื่องเกษตรกำแพงแสน ตามรอยพ่อ สำนักอุดสาสตร์แผ่นดิน 2-3 ธันวาคม 2563. มหาวิทยาลัยเกษตรศาสตร์ วิทยาเขตกำแพงแสน, นครปฐม.
- ปิยนุช ศรชัย, ธีระ ชูแก้ว, ณัฐวุฒิ บุญทองดี, ฐิติรัตน์ อัศวมงคลศิริ และ ชนิษฐา วงศ์วัฒนาภารัตน์. 2562. การตรวจสอบความใช้ได้ของการตรวจจำแนกยืน Event Specific Mon810 และ NK603 และยืนอ้างอิงพืช ด้วยเทคนิค Multiplex Real-time PCR. วารสารวิชาการเกษตร. 3: 224 – 237.
- ปิยรัตน์ ธรรมกิจวัฒน์, ปิยนุช ศรชัย, ฐิติรัตน์ อัศวมงคลศิริ และ พงศกร สรรค์วิทยาภูล. 2561a. การพัฒนาเทคนิค Triplex Real-Time PCR เพื่อตรวจดัดกรองข้าวโพดดัดแปลงพันธุกรรมมาตรฐาน ISO/IEC 17025. วารสารวิชาการเกษตร. 36: 316-331.
- ปิยรัตน์ ธรรมกิจวัฒน์, ปิยนุช ศรชัย, ฐิติรัตน์ อัศวมงคลศิริ, วีระศักดิ์ พิทักษ์ศุนทราบ, พงศกร สรรค์วิทยาภูล, ባኔያ የኝን ታራሱን ሰርዓት, ሚኒስቴር አገልግሎት ኢንስቲትዩት, አዲስ አበባ, ኢትዮጵያ. 2561b. การพัฒนาวิธีตรวจวิเคราะห์พืชและสินค้าพืช ดัดแปลงพันธุกรรมตามมาตรฐาน ISO/IEC 17025 เพื่อการบริการอย่างมีประสิทธิภาพ. n. 196 – 210. ใน: ผลงานดีเด่น กรมวิชาการเกษตร ประจำปี 2561, 27 พฤษภาคม 2562. รามาการ์เด้นท์, กรุงเทพมหานคร.
- สำนักงานพัฒนาการวิจัยการเกษตร (องค์การมหาชน). 2559. ข้าวโพดเลี้ยงสัตว์ จำกั่วเหลือง ถั่วเขียว และถั่วลิสง ทิศทางพืชเศรษฐกิจไทยในอาเซียน. พรทรัพย์การพิมพ์ จำกัด. กรุงเทพฯ.
- ออนไลน์ โภคافية. 2549. Basic Real-time PCR. ใน: การประชุมเชิงปฏิบัติการเรื่อง Introduction to Real time-PCR and its applications. 16-17 พฤษภาคม 2549. คณะแพทยศาสตร์ มหาวิทยาลัยสงขลานครินทร์, สงขลา.
- Abouseadaa, H. H., Osman, G. H., Ramadan, A. M., Hassanein, S. E., Abdelsattar, M. T., Morsy, Y. B., Alameldin, H. F., El-Ghareeb, D. K., Nour-Eldin, H. A., Salem, R., Gad, A. A., Elkhodary,

- S. E., Shehata, M. M., Mahfouz, H. M., Eissa, H. F. & Bahieldin, A. (2015). Development of transgenic wheat (*Triticum aestivum* L.) expressing avidin gene conferring resistance to stored product insects. *BMC plant biology*, 15(1), 1-8.
- Alary, R., Serin, A., Maury, D. Jouira, H. B., Sirven J. P., Gautier, M. F., and Joudrier, P. 2003. Comparison of simplex and duplex real-time PCR for quantification of GMO in maize and soybean. *Food control* 13: 235-244.
- Anand, A., Zhou, T., Trick, H. N., Gill, B. S., Bockus, W. W. & Muthukrishnan, S. (2003). Greenhouse and field testing of transgenic wheat plants stably expressing genes for thaumatin-like protein, chitinase and glucanase against *Fusarium graminearum*. *Journal of Experimental Botany*, 54(384), 1101-1111.
- Anonymous (2011). ISO 16140 - Microbiology of Food and Animal Feeding Stuffs - Protocol for the Validation of Alternative Methods. Geneva: International Organization for Standardization.
- Anonymous. 2011. ISO 16140 - Microbiology of Food and Animal Feeding Stuffs - Protocol for the Validation of Alternative Methods. Geneva: International Organization for Standardization.
- Babekova, R., Funk, T., Pecoraro, S., Engel, K-H., Busch, U. 2008. Development of an event-specific Real-time PCR detection method for the transgenic Bt rice line KMD1. *Eur Food Res Technol* DOI 10.107/s00217-008-0981-0
- Bahrdt, C., A.B. Krech, A. Wurz, and D. Wulff. 2010. Validation of a newly developed hexaplex real-time PCR assay for screening for presence of GMOs in food, feed and seed. *Anal Bioanal Chem*. 396: 2103 – 2112.
- Bak, A., and J.B. Emerson. 2019. Multiplex quantitative PCR for single-reaction genetically modified (GM) plant detection and identification of false-positive GM plants linked to *Cauliflower mosaic virus (CaMV)* infection. *BMC Biotechnology*. 73: 1-12.
- Broeders, S., Huber, I., Grohamann, L., Berben, G., Taverniers, I., Mazzara, M., Roosens N., and Morisset, D. 2014. Guidelines for validation of qualitative real-time PCR methods. *Trends in Food Science & Technology* 37: 115-126.
- Bulcke M V D, Lievens A, Barbaupiednoir E, Mbongolombella G, Roosens N, Sneyers M, Casi A L. 2010. A theoretical introduction to “combinatory SYBR®Green qPCR screening”, a matrix-based approach for the detection of materials derived from genetically modified plants. *Analytical & Bioanalytical Chemistry*, 396, 2113–2123. doi: 10.1007/s00216-009-3286-7
- Bustin, SA., V. Benes, JA. Garson, J. Hellemans, J. Huggett, M. Kubista, R. Mueller, T. Nolan, MW. Pfaffl, GL. Shipley, J. Vandesompele, and CT. Wittwer. 2009. The MIQE guidelines: minimum

- information for publication of quantitative real-time PCR experiments. Clinical Chemistry. 55: 611–622.
- Cankar, K., Stebih, D., Dreö, T., Zel J., and Gruden. K. 2006. Critical points of DNA quantification by real-time PCR-effects of DNA extraction method and sample matrix on qntification of GMO. *BMC Biotechnol* 14: 6-37.
- Cardarelli, P., M.R. Branquinho, T.B.F. Renata, P.C. Fernanda, and L.G. Andre. 2005. Detection of GMO in food products in Brazil: the INCQS experience. Food Control. 16: 859-866.
- Charles Delobel, C., A. Bogni, G. Pinski, M. Mazzara, and G. Van den Eede. 2013. Event-specific method for the quantification of soybean line MON89788 using Real-time PCR v 1.01 - Validation report and validated method. EUR 26153 EN. Publications Office of the European Union, Luxembourg.
- Charles Delobel, C., Grazioli, E., Larcher, S., Mazzara, M., and Van Den Eede, G. 2008. Event Specific method for the quantification of maize line LY038 using real-time PCR-Validation report and protocol. EUR 23647 EN. Luxembourg: Publication office of the European Union. JRC48919 (ISBN 978-92-79-11047-4).
- Cottent, G., Blancpain, C., Sonnard, V., and Chuah, P. F. 2013. Development and validation of multiplex real-time PCR method to simultaneously detect 47 targets for the identification of genetically modified organisms. *Analytical and Bioanalytical Chemistry* 405: 6831-6844.
- Debode, F., I. Huber, R. Macarthur, PE. Rischitor, M. Mazzara, V. Herau, D. Sebah, D. Dobnik, S. Broeders, NH. Roosens, U. Busch, G. Berben, D. Morisset, and J. Zel. 2016. Inter-laboratory studies for the validation of two singleplex (*tE9* and pea *lectin*) and one duplex (*pat/bar*) real-time PCR methods for GMO detection. Food Control. 73: 452-461.
- Debode, F., Janssen, E., and Berben, G. 2013. Developement of 10 new screening PCR assays for GMo detection targeting promoters (pFMV, pNOS, pSSuAra, pTA29, pUbi, pRice actin) and terminator (t35S, tE9, tOCS, tg7). *European Food Research and Technology* 236: 659-669.
- Del Gaudio, S., Cirillo, A., Di Bernardo, G., Galderisi, U., and Cipollaro, M. 2012. Verification of Real-time PCR methods for qualitative and quantitative testing of genetically modified organism. *Journal of Food Quality* 35: 442-447.
- Eugster, A., P. Murmann, A. Kaenzig, and A. Breitenmoser. 2014. Development and validation of a P-35S, T-nos, T-35S and P-FMV Tetraplex Real-time PCR screening method to detect regulatory genes of genetically modified organisms in food. Food Analysis. 68: 701 – 704.
- EU-RL GMFF: MON71800 event-specific method verification report 2 JRC Publication JRC 84421
- European Network of GMO Laboratories (ENGL). 2015. Definition of minimum performance requirements for analytical methods of GMO testing. European Commission Joint Research Centre, Ispra (VA), Italy.

European Union Reference Laboratory for GM Food and Feed; Report on the Verification of the Performance of a Simplex Endpoint Event-specific Method for the Detection of Event MON71800 in Wheat Using Real-time PCR; JRC103356

- Fraga, D., T. Meulia, and S. Fenster. 2014. Real-Time PCR. Current protocols essential laboratory techniques. Available: <https://currentprotocols.onlinelibrary.wiley.com/doi/abs/10.1002/9780470089941.et1003s08>. Accessed Sep. 2, 2021.
- Fraiture, M.A., Herman, P., Taverniers, I., De Loose, M., Deforce, D., and Roosens, N.H. 2015. Current and new approaches in GMO detection: Challenges and solutions. *BioMed Research International* <https://doi.org/10.1155/2015/392872>.
- Grohmann, L., R. Reiting, D. Maede, S. Uhlig, K. Simon, K. Frost, G. Jit Randhawa, and K. Zur. 2015. Collaborative trial validation of *cry1Ab/Ac* and *Pubi-cry* TagMan-based real-time PCR assays for detection of DNA derived from genetically modified Bt plant products. *Accreditation and Quality Assurance*. 20: 85-96.
- Grohmann, Lutz., A. Belter, B. Speck, O. Goerlich, P. Guertler, A. Angers-Loustau, and A. Patak. 2017. Screening for six genetically modified soybean lines by an event-specific multiplex PCR method: Collaborative trial validation of a novel approach for GMO detection. *J Consum Prot Food Saf*. Available: <https://link.springer.com/article/10.1007/s00003-016-1056-y>. Accessed Aug. 6, 2021.
- Hougs, L., F. Gatto, O. Goerlich, L. Grohmann, K. Lieske, M. Mazzara, F. Narendja, J. Ovesná, N. Papazova, I. Scholtens, and J. Žel. 2017. Verification of analytical methods for GMO testing when implementing interlaboratory validated methods (Version 2). EUR 29015 EN. Publications Office of the European Union, Luxembourg.
- Hu, T., Metz, S., Chay, C., Zhou, H. P., Biest, N., Chen, G., Cheng, M., Feng, X., Radionenko, M., Lu, F. & Fry, J. (2003). Agrobacterium-mediated large-scale transformation of wheat (*Triticum aestivum* L.) using glyphosate selection. *Plant Cell Reports*, 21(10), 1010-1019.
- Huang, H.Y., and T.M. Pan. 2004. Detection of genetically modified Maize Mon810 and NK603 by Multiplex and Real-Time polymerase chain reaction methods. *J. Agric. Food Chem.* 52: 3264 – 3268.
- Huber, I., Block, A., Sebah, D., Debode, F., Morisset, D., Grohmann, L., Berben, G., Štebih, D., Milavec, M., Žel, J., and Busch, U. 2013. Development and validation of duplex, triplex and pentaplex real-time PCR screening assays for the detection of genetically modified organisms in food and feed. *Journal of Agricultural and Food Chemistry* 61: 10293-1301.
- In-house verification of a qualitative, event-specific, qPCR-based method for detection and identification of GM wheat MON71200", 2018. <http://gmo-crl.jrc.ec.europa.eu/emerg-unauth.html>
- ISAAA. 2022. ISAAA's GM Approval Database. <http://www.isaaa.org/gmapprovaldatabase/>.

- Johansson, M. K. 2006. Choosing reporter- quencher pairs for efficient quenching through formation of intramolecular dimers. In: Didenko V.V. (ed) Fluorescent Energy Transfer Nucleic Acid Probes. *Methods in Molecular Biology*™ 335: Humana Press
- JRC-EURL GMFF-ENGL. 2011. JRC- Compendium of reference methods for GMO analysis.Luxembourg Publication office of the European Union 259 p.
(http://publications.jrc.ec.europa.eu/repository/bitstream/111111111/22754/1/gmo-jrcreferencereport_2011_publ.pdf)
- Kim, J. H., Park, S. B., Roh, H. J., Park, S., Shin, M. K., Im Moon, G., ... & Kim, H. Y. (2015). A simplified and accurate detection of the genetically modified wheat MON71800 with one calibrator plasmid. *Food chemistry*, 176, 1-6.
- Koppel, R., F. Velsen, N. Felderer, and T. Bucher. 2012. Multiplex real-time PCR for the detection and quantification of DNA from four transgenic soy Mon89788, A5547-127, Roundup Ready, A2704-12 and lectin. *Eur Food Res Technol.* Available: <https://www.researchgate.net/publication/257372901>. Accessed Aug. 6, 2021.
- Kramkowska, M., Grzelak, T., and Czyzewska, K. 2013. Benefits and risks associated with genetically modified food products. *Annals of Agricultural and Environmental Medicine* 20(3): 413-419.
- Lab Life-Real-Time PCR. 2015. *Compare and contrast: multiplex vs. singleplex PCR*. Roche Life Science.Posted on September 19, 2015.https://www.lifescience.roche.com/en_th/blog/lab-life/real-time-pcr/compare-and-contrast-multiplex-vs-singleplex-pcr.html
- Leckband, G., & Lörz, H. (1998). Transformation and expression of a stilbene synthase gene of *Vitis vinifera* L. in barley and wheat for increased fungal resistance. *Theoretical and Applied Genetics*, 96(8), 1004-1012.
- Life technologies. 2012. Real-time PCR handbook. Available: <https://www.gene-quantification.de/real-time-pcr-handbook-life-technologies-update-flr.pdf>. Accessed Sep. 2, 2021.
- Lu, J., G.Z. Ji, G. Li, Y.F. Wu, J. Yang, S.L. Lin, D.L. Yang, J.N. Zhao, and W.M. Xiu. 2016. Development of a multiplex event-specific PCR assay for detection of genetically modified rice. *Cereal Res. Commun.* 44: 47 – 56.
- Lucena-Aguilar, G., M.S-L. Ana, B-A. Cristina, A.C. José', A.L-G. José' and A-Q. Rocio. 2016. DNA source selection for downstream applications based on DNA quality indicators analysis. *Biopreservation and Biobanking*. 14: 264-270.
- Made D., Degner C. and Grohmann L. 2006. Detection of genetically modified rice: a construct-specific real-time PCR method based on DNA sequences from transgenic Bt rice. *Eur Food Res Technol* 224: 271-278

- Mazzara M., Paoletti, C., Puumalaainen, J., Rasulo, D., and van Den Eede, G. 2005. Event-specific method for the quantitation of maize line NK603 using Real-time PCR-Validation Report and Protocol. EUR 21825 EN. Luxembourg: *Publication office of the European Union* JRC32103 (ISBNL 92-79-00106-x).
- Pauli, U., M. Liniger, and M. Schrott. 2001. Quantitative detection of genetically modified soybean and maize: method evaluation in a swiss ring trial. *Mitteilungen aus Lebensmitteluntersuchung und Hygiene*. 92: 145-158.
- Peng, C., Wang, P., Xu, X., Wang, X., Wei, W., Chen, X., and Xu, J. 2016. Development of qualitative real-time PCR method to detect 19 targets for identification of genetically modified organisms. *Springer Plus* 5: 889.
- Pitaksaringkarn, W., T. Assawamongkholsiri, P. Sornchai, and P. Thammakijjawat. 2021. Development of the In-House genetically modified wheat Mon71800 reference plasmid for qualitative detection by Tetraplex Real-Time PCR. pp. 512 - 519. In Proceedings of RSU International Research Conference 30 April 2021. Pathum Thani, Thailand.
- Randhawa, G., Singh, M., & Sood, P. (2016). DNA-based methods for detection of genetically modified events in food and supply chain. *Current science*, 1000-1009.
- Roger, S. O., and Bendich. A. J. 1985. Extraction of DNA from milligram amounts of fresh herbarium and mummified plant tissues. *Plant Molecular Biology* 5: 69-76.
- Royal Botanic Garden. 2012. Kew. Plant DNA c-values database. Available: <http://data.kew.org/cvalues/>. Accessed Aug. 11, 2020.
- Sajib A. A., Bhuiya M. A. I. and Huque R. 2017. A Simple, Efficient and Rapid Method for Good Quality DNA Extraction from Rice Grains. *Rice science* 24: 119-122
- Savini, C., M. Mazzara, C. Charles Delobel, G. Pinski, and G. Van den Eede. 2012. Event-specific method for the quantification of soybean MON87705 using Real-time PCR. Validation report and validated method. EUR 25499 EN. Publications Office of the European Union, Luxembourg.
- Shin, S., Mackintosh, C. A., Lewis, J., Heinen, S. J., Radmer, L., Dill-Macky, R., ... & Muehlbauer, G. J. (2008). Transgenic wheat expressing a barley class II chitinase gene has enhanced resistance against Fusarium graminearum. *Journal of experimental botany*, 59(9), 2371-2378.
- Shrestha H.K., Kae-Kang, H., and Men-Chi, C. 2010. Detection of genetically modified maize (*Zea mays* L.) in seed samples from Nepal. *African Journal of Biotechnology* 9(34): 5581-5589.
- Sigma-Aldrich. 2014. Primers and fluorescent probes for quantitative Real-time PCR and other applications. World Headquarters St. Louis, Missouri, US. Waiblinger, H.U., B. Ernst, A. Anderson, and K. Pietsch. 2008. Validation and collaborative study of a *P35S* and *T nos*

- duplex Real-time PCR screening method to detect genetically modified organism in food product. European Food Research and Technology. 226: 1221-1228.
- Sinha P., Saxena, R. K., Singh, V. K., Krishnamurthy, L., and Varshney, R. K. 2015. Selection and validation of housekeeping Genes as reference for gene expression studies in pigeonpea (*Cajanus cajan*) under heat and salt stress conditions. *Frontiers in Plant Science* 6:1071.
- Sornsomboon, N., Na Nakorn, P., and Theerachai, T. 2016. Detection of genetically modified maize and soybean using PCR. *Journal of Science and Technology* 5(3): 1-7.
- Turkec, A., Kazan, H., Karacanli, B., and Lucas, S. J. 2015. DNA extraction technique compared for accurate detection of genetically modified organism (GMOs) in maize food and feed products. *Journal of Food Science and Technology* 52(8): 5164-5171.
- Waiblinger, H. U., Ernst, B., Anderson, A., and Pietsch. K. 2008. Validation and collaborative study of a P35S and T nos duplex real-time PCR screening method to detect genetically modified organism in food product. *European Food Research and Technology* 226: 1221-1228.
- Wu, G., Wu, Y., Nie, S., Zhang, L. Xiao, L., Cao, Y. and Lu, C. 2010. Real-time PCR method for detection of the transgenic rice event TT51-1. *Food Chemistry* 199: 417-422.
- Xia, L., Ma, Y., He, Y., & Jones, H. D. (2012). GM wheat development in China: current status and challenges to commercialization. *Journal of experimental botany*, 63(5), 1785-1790.